



ผลของสัดส่วนระหว่างซิลิกอนไดออกไซด์และอะลูมิเนียมออกไซด์
ต่อการต้านทานการสึกกร่อนการต้านทานแรงดัดโครง ความแข็งแรงดึง
และความแข็งวิกเกอร์ของวัสดุชี้ฟันเทียมโพลิเมทิลเมทาคริเลต

The Effect of Aluminum oxide/silicon dioxide Ratios on Wear

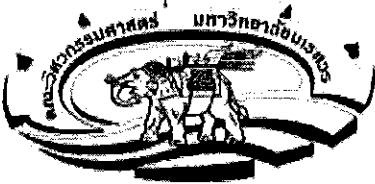
Resistance, Flexural Resistance Tensile Strength

and Vickers Hardness of PMMA Denture Teeth

นายอดิศักดิ์ มณีสิ รหัส 54363040
นางสาวธีรนาถ ทรงอยู่ รหัส 54360414

ผู้เข้ามาขออนุญาต มหาวิทยาลัยมหิดล
วันลงนาม: ๒๗.๗.๒๕๖๑
เลขที่บัญชี: ๑๗๒๓๗๖๑๓
เวลาเรียกหนังสือ: ปี
๐๑๒๔๗
๑๕๕๙

ปริญญานิพนธ์นี้เป็นส่วนหนึ่งของการศึกษาหลักสูตรปริญญาวิศวกรรมศาสตรบัณฑิต
สาขาวิชาชีววิศวกรรมเคมี ภาควิชาชีววิศวกรรมอุตสาหกรรม
คณะวิศวกรรมศาสตร์ มหาวิทยาลัยนเรศวร
ปีการศึกษา 2557



ใบรับรองปริญญาบัตร

ชื่อหัวข้อโครงการ

ผลของสัดส่วนระหว่างชีวิตร่องน้ำออกไซด์และอะซูมิเนียมออกไซด์ต่อการด้านท่านการสึกกร่อน การด้านทานแรงตัดโค้ง ความแข็งแรงดีง และ ความแข็งวิกเกอร์ของวัสดุซึ่งพื้นที่ยามพอลิเมทิลเมทาคริเลต

ผู้ดำเนินโครงการ

นายอดิศักดิ์ มณีสิ รหัส 54363040
นางสาวธีรนาถ ทรงอยู่ รหัส 54360414

ที่ปรึกษาโครงการ

ดร.นพวรรณ โน้มถอง

สาขาวิชา

วิศวกรรมเคมี

ภาควิชา

วิศวกรรมอุตสาหการ

ปีการศึกษา

2557

คณะวิศวกรรมศาสตร์ มหาวิทยาลัยนเรศวร อนุมัติให้ปริญญาบัตรบันนี้เป็นส่วนหนึ่งของการศึกษาตามหลักสูตรวิศวกรรมศาสตรบัณฑิต สาขาวิชาเคมี

ที่ปรึกษาโครงการ

(ดร.นพวรรณ โน้มถอง)

กรรมการ

(รศ.ดร.สมร หริรัญประดิษฐกุล)

กรรมการ

(ดร.อิศราวน พระเสริฐสังข์)

กรรมการ

(ดร.ภัณรัตน์ จันธรรม)

ชื่อหัวข้อโครงการ	ผลของสัดส่วนระหว่างซิลิกอนไดออกไซด์และอะลูมิเนียมออกไซด์ต่อการต้านทานการสึกกร่อนการต้านทานแรงดันโค้งความแข็งแรงดึง และความแข็งวิกเกอร์ของวัสดุชีฟันเทียมพอลิเมทิลเมทาคริเลต
ผู้ดำเนินโครงการ	นางสาวธีรนาถ ทรงอยู่ รหัส 54360414 นายอดิศักดิ์ มนัส รหัส 54363040
ที่ปรึกษาโครงการ	ดร.นพวรรณ ไม้ทอง
สาขาวิชา	วิศวกรรมเคมี
ภาควิชา	วิศวกรรมอุตสาหการ
ปีการศึกษา	2557

บทคัดย่อ

วัสดุชีฟันเทียมพอลิเมทิลเมทาคริเลท(Poly Methyl Methacrylate; PMMA) เป็นวัสดุชีฟันเทียมที่ใช้อย่างแพร่หลายในการประดิษฐ์ชีฟันเทียม เนื่องจากคุณสมบัติที่ดีที่สุดในบรรดาทั้งหมด คือ มีน้ำหนักเบา ถูกซึมน้ำน้อยเหมาะสมแก่การใช้งานในช่องปากและซ่อมแซมได้ง่าย อย่างไรก็ตามวัสดุชีฟันเทียมพอลิเมทิลเมทาคริเลทยังคงมีข้อด้อยเรื่องของความต้านทานแรงดันโค้ง ความแข็งแรงดึง และ ปัญหาการสึกกร่อน หรือ แม้กระทั่งความแข็งผิวของชีฟัน

การเลือกวัสดุเสริมแรงที่เหมาะสมรวมทั้งการปรับสภาพผิวด้วยสารคู่ควบ(Coupling agent) ชนิดไชเลนเพื่อช่วยการยึดติดระหว่างวัสดุเสริมแรงและพอลิเมอร์เมทิริกซ์ จะมีผลต่อความแข็งแรงในการใช้งานของวัสดุคอมโพสิตงานวิจัยนี้ได้พยายามที่จะพัฒนาและปรับปรุงสมบัติของวัสดุชีฟันเทียมพอลิเมทิลเมทาคริเลท คอมโพสิต โดยการเปรียบเทียบผลของการใช้วัสดุเสริมแรงคือ ซิลิกอนไดออกไซด์ที่ขนาด 15 ไมโครเมตร, 40 ไมโครเมตร และอะลูมิเนียมออกไซด์ขนาด 40 ไมโครเมตร โดยงานวิจัยนี้ได้ศึกษาการผสมระหว่างวัสดุเสริมแรงทั้งสองชนิดที่อัตราส่วนการผสมที่เหมาะสม วัสดุทั้งหมดจะถูกนำมาเปรียบเทียบด้วยการแข็ง度 สารคู่ควบ กลุ่มไชเลน และไม่แข็ง度 เลน

การศึกษาด้านการต้านทานแรงดันโค้งของวัสดุชีฟันเทียมพอลิเมทิลเมทาคริเลทที่ไม่ปรับปรุงผิวที่ปริมาณการเติมระหว่างอะลูมิเนียมออกไซด์กับซิลิกอนไดออกไซด์ที่อัตราส่วน 1:1 1:5 และ 5:1 ที่ปริมาณการเติมที่ 2% และ 5% wt/v เนื่องจากมีงานวิจัยที่ได้ศึกษามาก่อนได้ศึกษาปริมาณสารตัวเติมพบว่าการเติม

ซิลิกอนไดออกไซด์ขนาดนาโนจะช่วยเรื่องความต้านทานแรงดัดได้ดีที่สุดที่ 1%wt/v และอะลูมิเนียมออกไซด์ที่ 5%wt/v โดยการทดสอบพบว่าชิ้นเทียนพอลิเมทิลเมทาคริเลทมีค่าความแข็งผิวสูงที่สุดที่อัตราส่วนการเติมที่ 5:1 ปริมาณการเติมที่ 5% wt/v แบบได้รับการปรับปรุงผ้า และจะมีปริมาณความแข็งผิวสูงกว่าอัตราส่วนอื่นๆ แตกต่างอย่างเห็นได้อย่างชัดเจนเมื่อเทียบกับชิ้นเทียนบริสุทธิ์ที่ไม่มีการเติมสารตัวเติม ในส่วนของความต้านทานแรงดัดโค้งสูงสุดที่ 5:1 ที่ 5%wt/v ชนิดปรับปรุงผิวสารตัวเติม ซึ่งมีค่าสูงกว่าไม่ปรับปรุงผิวสารตัวเติมด้วยไชเลน และที่อัตราส่วนการเติมอื่นๆ เนื่องจากสารตัวเติมขนาดนาโนเมตรมีการกระจายตัวได้ดีในพอลิเมอร์เมทริกซ์อีกทั้งเมื่อปรับปรุงผิวด้วยไชเลนทำให้เกิดการจับตัวระหว่างสารตัวเติมและพอลิเมอร์เมทริกซ์ได้ เมื่อทำการทดสอบแรงดึงพบว่าที่อัตราส่วนการเติมที่ 1:5 ที่ 5% wt/v แบบที่ปรับปรุงผิวด้วยไชเลนมีค่าความแข็งแรงดึงมีค่าสูงกว่าอัตราส่วนอื่นๆ ทั้งที่ปรับปรุงผิวที่อัตราส่วนอื่นๆ และไม่ปรับปรุงผิวนอกจากนี้ยังได้ทำการทดสอบค่าความต้านทานการสึกกร่อน จากปริมาณน้ำหนักที่หายไปเปรียบเทียบกับก่อนการทดสอบ พบว่าที่อัตราส่วน 5:1 ที่ปริมาณการเติมที่ 5% wt/v พบว่ามีน้ำหนักหายไปน้อยที่สุดเมื่อเทียบกับอัตราส่วนและปริมาณการเติมอื่น และสุดท้ายได้ทำการทดสอบหาค่าความแข็งผิวิกเกอร์ชนิดที่ปรับปรุงผิวสุดตัวเติมพบว่าที่อัตราส่วน 5:1 ที่ปริมาณการเติมที่ 5% wt/v มีค่าความแข็งผิวสูงสุด 66.46 HV และผลการทดลองทั้งหมดนี้ยังถูกนำมาเปรียบเทียบกับความแปรปรวนทางสถิติซึ่งก็ได้ให้ผลที่สอดคล้องกัน

กิตติกรรมประกาศ

ปริญญาอินเดียบันนี่ สำเร็จลุล่วงไปได้ด้วยความช่วยเหลือของหลาย ๆ ฝ่ายโดยเฉพาะ
ดร.นพวรรณ ไม้ทอง อาจารย์ที่ปรึกษาโครงงาน ที่ได้ให้คำแนะนำ คำปรึกษา แนะนำวิธีการแก้ไขปัญหาร่วมถึง
ข้อคิดเห็นต่างๆ ตลอดจนความดูแลเอาใจใส่ ติดตามการดำเนินโครงงานมาโดยตลอด และขอขอบพระคุณ
คณะอาจารย์ประจำภาควิชาศึกษาอุตสาหการ มหาวิทยาลัยนเรศวรทุกท่าน ที่ได้ให้วิชาความรู้ เพื่อนำมา
ประยุกต์ใช้ ในการทำปริญญาอินเดียบันนี่

นอกจากนี้ ต้องขอขอบคุณคณะทันตแพทยศาสตร์ มหาวิทยาลัยนเรศวร และเจ้าหน้าที่ทุกท่าน
ที่ได้ให้ความอนุเคราะห์ในการเข้าไปใช้สถานที่และเครื่องมือ สำหรับการเตรียมขั้นงานในการทำปริญญาอินเดีย
ฉบับนี้ เป็นอย่างดีมาโดยตลอด

สุดท้ายนี้ผู้ดำเนินโครงงานคร่ำคร่อมขอขอบพระคุณ บิดา มารดาที่ได้ให้การดูแล อบรม สั่งสอนและ
ให้กำลังใจที่ดีเสมอมา ตลอดการดำเนินโครงงานจนสำเร็จการศึกษา



ผู้ดำเนินโครงงาน

นายอดิศักดิ์ มณีเส

นางสาวธีรนาถ ทรงอุย

กันยายน 2558

สารบัญ

หน้า

บทคัดย่อ.....ก

กิตติกรรมประกาศ.....ค

สารบัญ.....ก

สารบัญตาราง.....ก

สารบัญรูป.....ก

บทที่ 1 บทนำ.....ก

1.2 วัตถุประสงค์ของโครงการ.....ก

1.3 ขอบเขตในการดำเนินโครงการ.....ก

1.4 สถานที่ในการดำเนินโครงการ.....ก

1.5 ระยะเวลาในการดำเนินโครงการ.....ก

บทที่ 2 ทฤษฎีเบื้องต้นและงานวิจัยที่เกี่ยวข้อง.....ก

2.1 ทฤษฎีเบื้องต้น.....ก

2.2 งานวิจัยที่เกี่ยวข้อง.....ก

บทที่ 3 วิธีการดำเนินโครงการ.....ก

3.1 แผนผังการดำเนินโครงการ.....ก

สารบัญ(ต่อ)

หน้า

3.2 อุปกรณ์และเครื่องมือที่ใช้ในการทดลอง.....	33
3.3 การเตรียมชิ้นงานทดสอบ.....	34
3.4 การทดสอบสมบัติเชิงกลของชิ้นงาน.....	35

บทที่ 4 ผลการทดลองและการวิเคราะห์.....39

4.1 ผลการทดสอบสมบัติการต้านทานแรงดึง.....	40
4.2 ผลการทดสอบสมบัติการต้านทานแรงดึง.....	48
4.3 ผลการทดสอบสมบัติการต้านทานแรงสึกกร่อน.....	56
4.4 ผลการทดสอบสมบัติความแข็งวิกเกอร์.....	62
4.5 ผลการวิเคราะห์ทางสถิติ.....	64

บทที่ 5 สรุปผลและข้อเสนอแนะ.....72

5.1 สรุปผลการทดลอง.....	72
5.2 ข้อเสนอแนะ.....	73

เอกสารอ้างอิง.....74

ภาคผนวก.....77

สารบัญตาราง

ตารางที่	หน้า
1.1 ระยะเวลาในการดำเนินโครงการ.....	4
2.1 ตารางแสดงข้อกำหนดของชีพันเที่ยมอะคริลิกตามมาตรฐาน ISO 3360.....	21
2.2 การทดลองประเภทวิเคราะห์ปัจจัยเดียว (Experiments with Single Factor).....	22
2.3 One-Way ANOVA.....	23
2.4 แสดงการทดลองการวิเคราะห์ความแปรปรวนสองทาง.....	23
2.5 Two-Way ANOVA.....	25
4.5.1 ANOVA 2 WAY การทดสอบแรงดึงโค้ง ที่ 2%wt/v และ 5%wt/v แบบไม่ปรับผิวสัมผัติ้า เติม.....	64
4.5.2 ANOVA 2 WAY การทดสอบแรงดึงโค้ง ที่ 2%wt/v และ 5%wt/v แบบปรับผิวสัมผัติ้าเติม.....	65
4.5.3 ANOVA 2 WAY การทดสอบแรงดึงที่ 2%wt/v และ 5%wt/v แบบไม่ปรับผิวสัมผัติ้าเติม.....	66
4.5.4 ANOVA 2 WAY การทดสอบแรงดึง ที่ 2%wt/v และ 5%wt/v แบบปรับผิวสัมผัติ้าเติม.....	66
4.5.5 ANOVA 2 WAY การทดสอบการสึกกร่อน ที่ 2%wt/v ปรับผิวสัมผัติ้าเติมเทียบกับ PMMA บริสุทธิ์.....	67
4.5.6 ANOVA 2 WAY การทดสอบ การสึกกร่อน ที่ 5%wt/v ปรับผิวสัมผัติ้าเติมเทียบกับPMMA บริสุทธิ์.....	68
4.5.7 ANOVA 2 WAY การทดสอบการสึกกร่อนที่ 2%wt/v และ 5%wt/v แบบปรับผิวสัมผัติ้าเติม.....	68
4.5.8 ANOVA 2 WAY การทดสอบความแข็งที่ 2%wt/v และ 5%wt/vแบบปรับผิวสัมผัติ้า เติม.....	69

สารบัญรูป

รูปที่	หน้า
2.1 การสังเคราะห์พอลิเมทิลเมทาคริเลต.....	7
2.2 โครงสร้างของชิลิกอนไดออกไซด์.....	7
2.3 โครงสร้างของอะลูมิเนียมออกไซด์.....	8
2.4 โครงสร้างของ 3-MPS.....	12
2.5 การปรับสภาพพื้นผิวของชิลิกอนไดออกไซด์.....	13
2.6 การปรับสภาพพื้นผิวของอะลูมิเนียมออกไซด์.....	14
2.7 แสดงการแตกหักของขึ้นงาน.....	15
2.8 เส้นโค้งความเค้น-ความเครียด.....	15
2.9 เส้นโค้งความเค้น-ความเครียดแบบที่ไม่มีจุดคราก.....	16
2.10 เปรียบเทียบเส้นโค้งความเค้น-ความเครียดของวัสดุเปราะและวัสดุพลาสติก.....	17
2.11 แสดงแผนผังการทดสอบการต้านทานแรงดัดโค้ง.....	18
2.12 เครื่องทดสอบการสึกกร่อน.....	19
2.13 ลักษณะหัวกดความแข็งวิกเกอร์.....	20
2.14 เครื่องทดสอบความแข็งวิกเกอร์.....	21
3.1 รูปแสดงแผนผังการดำเนินโครงการงาน.....	32
3.2 การทดสอบการต้านทานแรงดึง.....	35
3.3 ขนาดขึ้นงานทดสอบแรงดึง.....	35

สารบัญรูป(ต่อ)

รูปที่	หน้า
3.4 การทดสอบความต้านทานแรงดึง.....	36
3.5 ขั้นงานทดสอบแรงดึง.....	36
3.6 ขนาดขั้นงานทดสอบตามมาตรฐานการสึกกร่อน ISO 1567-1999.....	37
3.7 เครื่องทดสอบความแข็งผิวและขั้นงานที่รับการทดสอบ.....	38
3.8 ขั้นงานที่นำไปทดสอบความแข็ง.....	38
4.1.1 แผนภูมิแสดงผลของปริมาณวัสดุเสริมแรงในวัสดุชีฟันเทียมอะคริลิกที่อัตราส่วนระหว่างอะลูมิเนียมออกไซด์ต่อซิลิกอนไดออกไซด์ที่มีผลต่อต่อสมบัติการต้านทานแรงดึงที่ร้อยละการเติมที่ 2% และ 5% ชนิดไม่ปรับปรุงผิววัสดุสารตัวเติม.....	40
4.1.2 แผนภูมิแสดงผลของปริมาณการเติมวัสดุเสริมแรงในวัสดุชีฟันเทียมอะคริลิกที่อัตราส่วนระหว่างอะลูมิเนียมออกไซด์ต่อซิลิกอนไดออกไซด์ที่มีผลต่อต่อสมบัติการต้านทานแรงดึงที่ร้อยละการเติมที่ 2% และ 5% ชนิดปรับปรุงผิววัสดุสารตัวเติม	42
4.1.3 แผนภูมิแสดงผลการทดลองเปรียบเทียบของอัตราส่วนระหว่างอะลูมิเนียมออกไซด์ต่อซิลิกอนไดออกไซด์ที่มีผลต่อต่อสมบัติการต้านทานแรงดึงระหว่างชนิดปรับปรุงผิววัสดุสารตัวเติมด้วยไคลเคนและไม่ปรับปรุงผิว ที่ร้อยละการเติมที่ 2%	44
4.1.4 แผนภูมิแสดงผลการทดลองเปรียบเทียบของอัตราส่วนระหว่างอะลูมิเนียมออกไซด์ต่อซิลิกอนไดออกไซด์ที่มีผลต่อต่อสมบัติการต้านทานแรงดึงระหว่างชนิดปรับปรุงผิววัสดุสารตัวเติมด้วยไคลเคนและไม่ปรับปรุงผิว ที่ร้อยละการเติมที่ 5%.....	46
4.2.1 แผนภูมิแสดงผลของปริมาณการเติมวัสดุเสริมแรงในวัสดุชีฟันเทียมอะคริลิกที่อัตราส่วนระหว่างอะลูมิเนียมออกไซด์ต่อซิลิกอนไดออกไซด์ที่มีผลต่อต่อต่อสมบัติการต้านทานแรงดึงที่ร้อยละการเติมที่ 2% และ 5% ชนิดไม่ปรับปรุงผิววัสดุสารตัวเติม.....	48

สารบัญรูป(ต่อ)

รูปที่

หน้า

4.2.2 แผนภูมิแสดงผลของปริมาณการเติมวัสดุเสริมแรงในวัสดุซีฟันเทียมอะคริลิกที่อัตราส่วนระหว่างอะลูมิเนียมออกไซด์ต่อชิลิกอนไดออกไซด์ที่มีผลต่อต่อต่อสมบัติการต้านทานแรงดึงที่ร้อยละการเติมที่ 2% และ 5% ชนิดปรับปรุงผิววัสดุสารตัวเติม.....	50
4.2.3 แผนภูมิแสดงผลการทดลองเปรียบเทียบของอัตราส่วนระหว่างอะลูมิเนียมออกไซด์ต่อชิลิกอนไดออกไซด์ที่มีผลต่อต่อสมบัติการต้านทานแรงดึงระหว่างชนิดปรับปรุงผิววัสดุสารตัวเติมด้วยไชเลนและไม่ปรับปรุงผิว ที่ร้อยละการเติมที่ 2%	52
4.2.4 แผนภูมิแสดงผลการทดลองเปรียบเทียบของอัตราส่วนระหว่างอะลูมิเนียมออกไซด์ต่อชิลิกอนไดออกไซด์ที่มีผลต่อต่อสมบัติการต้านทานแรงดึงระหว่างชนิดปรับปรุงผิววัสดุสารตัวเติมด้วยไชเลนและไม่ปรับปรุงผิว ที่ร้อยละการเติมที่ 5%.....	54
4.3.1 แผนภูมิแสดงผลของปริมาณการเติมวัสดุเสริมแรงในวัสดุซีฟันเทียมอะคริลิกที่อัตราส่วนระหว่างอะลูมิเนียมออกไซด์ต่อชิลิกอนไดออกไซด์ที่มีผลต่อต่อต่อสมบัติการต้านทานการสึกกร่อนที่ร้อยละการเติมที่ 2% และ 5% ชนิดปรับปรุงผิววัสดุสารตัวเติม.....	57
4.3.2 รูปแสดงพื้นผิวของชิ้นงานที่ผสมวัสดุเสริมแรงอะลูมิเนียมออกไซด์และชิลิกอนไดออกไซด์ชนิดปรับผิววัสดุเสริมแรงที่อัตราส่วน 1:5 2%wt/v และ 5:1 5%wt/v รูป A ,C ก่อนการทดสอบ รูป B,D หลังทำการทดสอบ	59
4.3.3 รูปแสดงพื้นผิวของชิ้นงานที่ผสมวัสดุเสริมแรงอะลูมิเนียมออกไซด์และชิลิกอนไดออกไซด์ชนิดปรับผิววัสดุเสริมแรงที่อัตราส่วน 5:1 5%wt/v โดย รูป A รูปแสดงชิ้นงานก่อนการทำการทดสอบความสึกกร่อน และ รูป B รูปแสดงชิ้นงานหลังทำการทดสอบความสึกกร่อน.....	61
4.4.1 แผนภูมิแสดงผลของปริมาณการเติมวัสดุเสริมแรงในวัสดุซีฟันเทียมอะคริลิกที่อัตราส่วนระหว่างอะลูมิเนียมออกไซด์ต่อชิลิกอนไดออกไซด์ที่มีผลต่อต่อต่อสมบัติของความแข็งวิก-เกอร์ที่ร้อยละการเติมที่ 2% และ 5% ชนิดปรับปรุงผิววัสดุสารตัวเติม.....	62

บทที่ 1

บทนำ

1.1 ความเป็นมาและความสำคัญของโครงงาน

ในปัจจุบันทั่วโลกนั้นมีผู้ป่วยจำนวนมากที่มีปัญหาในสภาวะช่องปากเนื่องมาจากสาเหตุต่างๆ เช่น พันธุ์พันบ่นหรือแทกหัก และอื่นๆ ในปัจจุบันก็ได้มีการผลิตฟันเทียม (Denture teeth) หลายชนิดเพื่อช่วยตอบสนองความต้องการดังกล่าว ซึ่งฟันเทียมส่วนใหญ่มีวิวัฒนาการอยู่ตามท้องตลาด ซึ่งฟันเทียมที่มีวิวัฒนาการอยู่ในท้องตลาดนั้น มีทั้งที่ทำมาจาก พลาสติก และพอร์ซเลน (Porcelain) หรืออาจจะเป็นวัสดุ หั้ง 2 ชนิดผสมกัน ส่วนซึ่งพันที่ทำขึ้นในห้องปฏิบัติการสามารถทำได้ทั้งจากโลหะหล่อให้เป็นชิ้นเดียวกับชิ้นฟันเทียม หรืออาจหล่อส่วนที่เป็นแท่งขึ้นมาไว้สำหรับยึดส่วนของพอลิเมทิลเมทาคริเลต (Poly Methyl Methacrylate, PMMA) หรือพอร์ซเลน ซึ่งจะยึดติดกันด้วยซีเมนต์ (Cement) การนำ PMMA เป็นวัสดุทางพอลิเมอร์มาใช้ใน งานทางด้านทันตกรรมนิยมนิยมนำมาเป็นหนึ่งในวัสดุการทำฟันเทียมกันอย่างแพร่หลายในทางอุตสาหกรรม เนื่องจากมีกระบวนการผลิตที่ง่ายไม่ซับซ้อนและต้นทุนในการผลิตต่ำ ถึงแม้ว่า PMMA จะเป็นที่ได้รับความนิยมสูงและประโยชน์จากการใช้งานที่ดี แต่เรายังสามารถนำมาพัฒนาได้ ซึ่ง PMMA นั้นเป็นวัสดุที่มีความแข็งผิวที่ต่ำ ทั้งยังมีการต้านแรงดัดໂคิงท์น้อย ที่สำคัญมีความทนทานต่อการสึกกร่อน หรือแรงสบพันไม่ดีนัก การนำวัสดุเสริมแรงมาใช้เพื่อเป็นการเพิ่มคุณสมบัติทางกลของซึ่งฟันเทียม PMMA ซึ่งเป็นอีกทางเลือกหนึ่งในการปรับปรุงคุณสมบัติ PMMA ให้มีคุณสมบัติทางกลที่ดีขึ้น [1]

Hirano (1998) [2] ทดสอบการสึกของซึ่งฟันเทียม PMMA 4 ยีห้อ เป็น PMMA ชนิดปรับปรุง 2 ยีห้อ ไดแก耶ห้อ เมเจอร์ เด็นท์ (Major-Dent) และ ดีบี พลัส (DB Plus) เปรียบเทียบกับยีห้อ เคสัน (Keson) และยีห้อ คลาสสิก (Classic) ซึ่งเป็นฟันเทียม PMMA ชนิดไม่ปรับปรุง โดยการทดสอบการสึกกร่อนซึ่งพบว่าซึ่งฟันเทียม PMMA ชนิด ปรับปรุงมีความต้านทานต่อการสึกมากกว่าซึ่งฟันเทียมที่ไม่ปรับปรุง 2 เท่าซึ่งในงานวิจัยนี้กลุ่มผู้จัดทำได้ทำการทดสอบความสึกกร่อนเฉพาะ PMMA ที่ปรับปรุงผิวแล้วเท่านั้น เพราะเนื่องจากงานวิจัยของ Hirano (1998) [2] แสดงให้เห็นถึงความต้านทานการสึกกร่อนที่ดีเมื่อมีการปรับปรุงผิว PMMA “ไดทำการศึกษาผลของวัสดุอัดแทรก 4 ชนิด ไดแก่ ดินขาว ผงแก้ว ซิลิกอนไดออกไซด์ และ เซอร์โคเนียมไดออกไซด์ ต่อ

คุณสมบัติของ PMMA ที่เสริมความแข็งแรงด้วยเส้นใย พบว่าเมื่อบริมาณวัสดุอัดแทรกเพิ่มขึ้น กำลังแรงกระแทก และ กำลังแรงโค้งจะลดลง ขณะที่ความแข็งผิวจะเพิ่มขึ้น และ ชิลิกอนไดออกไซด์ 40 เปอร์เซ็นต์จะเพิ่มความแข็งผิวได้มากที่สุด

สำหรับวัสดุเสริมแรงที่ใช้ในการทำโครงงานนี้ผู้จัดทำได้เลือกใช้หั้งหมวด 2 ชนิด กีอชิลิกอนไดออกไซด์ ขนาด $40 \mu\text{m}$, 15 nm และ อลูมิเนียมออกไซด์ขนาด $40 \mu\text{m}$ จากผลงาน การวิจัยผลของการเติมวัสดุเสริมแรงต่อการต้านทานแรงดัดโค้ง ความแข็งผิว และแรงยืดเฉือน ของ วัสดุซี่ฟันเทียมอะคริลิก [3] พบว่าวัสดุหั้ง 2 ชนิดนี้มีคุณสมบัติที่ดีในการเสริมแรง ดังนั้น ผู้จัดทำเห็นถึงความสำคัญของสัดส่วนการผสมและนำมาพัฒนาจากคุณสมบัติของสารที่ดีและมี ความคงทนสูง เพื่อให้ได้ตัวอย่างฟันเทียมที่มีความคงทนมากขึ้นและเนื่องจากคุณสมบัติที่ดีของ ชิลิกอนไดออกไซด์ และอลูมิเนียมออกไซด์ในด้านของสมบัติเชิงกลที่ดีนั้น ผู้จัดทำได้ทำการศึกษา ในสัดส่วนของ อะลูมิเนียมออกไซด์และชิลิกอนไดออกไซด์ ที่สัดส่วน $1:1$, $1:5$, $5:1$ ที่ร้อยละการ เติมที่ $2\% \text{wt/v}$ และ $5\% \text{wt/v}$ เพื่อเพิ่มคุณสมบัติทางกลและการสึกกร่อนของซี่ฟันเทียมให้ดีขึ้น อย่างไรก็ตามเพื่อให้ ชิลิกอนไดออกไซด์และอลูมิเนียมออกไซด์กระจายตัวได้ดีในพอลิเมอร์ จำเป็นต้องปรับแต่งพื้นผิวของวัสดุเสริมแรงด้วยไชเลน ในที่นี้ ไชเลนที่เลือกใช้เป็นสารคู่ควบคุมนิด 3-เมทาคริลอกซีโพรพิล ไตรเมทอกซีซีเลน ผู้จัดทำได้เลือกการทดสอบ 4 ชนิด นั้นคือ การ ทดสอบสมบัติเชิงกลของ การทดสอบการต้านทานแรงดัดโค้ง (Flexural Strength) การทดสอบ การสึกกร่อน (Wear resistant) การทดสอบการต้านทานแรงดึง (Bond Strength) และการ ทดสอบความแข็งวิกเกอร์ (Vickers Hardness Test-VHN) การศึกษาเบรียบเทียบ หั้งหมวดเพื่อ เป็นแนวทางในการพัฒนาซี่ฟันเทียมต่อไป

1.2 วัตถุประสงค์ของโครงการ

1.2.1 เพื่อศึกษาผลของสัดส่วนวัสดุเสริมแรง 2 ชนิด ได้แก่ อะลูมิเนียมออกไซด์และชิลิกอนไดออกไซด์ ที่สัดส่วน 1:1, 1:5, 5:1 ที่ร้อยละการเติมที่ 2%wt/v และ 5%wt/v ที่มีผลต่อการรับแรงทางกล คือ การต้านทานแรงดัดโค้ง การสึกกร่อน ความแข็งผิว และการต้านทานแรงดึง

1.2.2 ศึกษาผลของวัสดุเสริมแรงทั้ง 2 ชนิด ที่มีผลต่อสมบัติการรับแรงทางกลโดยใช้การวิเคราะห์ทางสถิติ

1.3 ขอบเขตในการดำเนินโครงการ

1.3.1 ตัวแปรต้น

- สัดส่วนของวัสดุเสริมแรง 2 ชนิด ได้แก่ ชิลิกอนไดออกไซด์ และอะลูมิเนียมออกไซด์

1.3.2 ตัวแปรตาม

- ค่าการต้านทานการดัดโค้ง
- ค่าความต้านทานการสึกกร่อน
- ค่าแรงดึง
- ความแข็งผิว

1.3.3 ตัวแปรควบคุม

- PMMA ชนิดป่มตัวด้วยความร้อน
- สารคุกคูบไชเลน ชนิด 3-เมทาคริลอกซ์โพรพิลไตรเมทอกซ์ชิเลน
- ขนาดของอนุภาคชิลิกอนไดออกไซด์ 40 ไมโครเมตร และ 15 นาโนเมตร และอะลูมิเนียมออกไซด์ขนาดอนุภาค 40 ไมโครเมตร และสัดส่วนของวัสดุเสริมแรง 2 ชนิด ได้แก่ ชิลิกอนไดออกไซด์ และอะลูมิเนียมออกไซด์ 40 ไมโครเมตร

1.4 สถานที่ในการดำเนินโครงการ

1.4.1 ภาควิชาวิศวกรรมอุตสาหการ คณะวิศวกรรมศาสตร์ มหาวิทยาลัยนเรศวร

1.4.2 คณะทันตแพทยศาสตร์ มหาวิทยาลัยนเรศวร

1.4.3 คณะวิศวกรรมศาสตร์ มหาวิทยาลัยพระจอมเกล้าเจ้าคุณทหารลาดกระบัง

1.5 ระยะเวลาในการดำเนินโครงการ

ตารางที่ 1.1 ระยะเวลาในการดำเนินโครงการ ตั้งแต่เดือน สิงหาคม พ.ศ. 2557 ถึง เมษายน พ.ศ.

2558

บทที่ 2

ทฤษฎีเบื้องต้นและงานวิจัยที่เกี่ยวข้อง

2.1 ทฤษฎีเบื้องต้น

2.1.1 ประเภทของฟัน [3]

ประเภทของฟันภายนอก แบ่งเป็น 2 ส่วนคือ

2.1.1.1 ตัวฟัน คือส่วนของฟันที่ขึ้นมาพ้นกระดูกขากรรไกรและเหงือก เป็นส่วนที่มองเห็น

ได้ภายในช่องปาก

2.1.1.2 รากฟัน คือส่วนของฟันที่ฝังอยู่ในกระดูกขากรรไกรมีเยื่อประทับยึดติดอยู่กับ

กระดูก

ประเภทของฟันภายใน ฟันประกอบด้วยชั้นต่างๆเรียงลำดับจากส่วนนอกเข้าไปดังนี้

1 เคลือบฟัน เป็นส่วนที่แข็งที่สุด

2 เนื้อฟัน มีความแข็งโกลเดินกับกระดูก

3 โพรงประสาทฟัน อยู่ใจกลางของตัวฟัน

2.1.2 ประเภทของฟันเทียม

ฟันเทียมคือวัสดุสังเคราะห์ที่สร้างเลียนแบบฟันธรรมชาติ เพื่อนำมาสวมทดแทนฟันธรรมชาติที่เสียไป แบ่งออกเป็น 2 ประเภทใหญ่ ๆ คือ

1 ฟันเทียมติดแน่น (Fixed Denture) เป็นฟันเทียมที่ทำจากวัสดุที่ทนทาน นำมาติดลงฐานหรือคอฟันธรรมชาติ ใช้ในกรณีที่ผู้ป่วยสูญเสียฟันไป 1-2 ชิ้น และมีฟันหลังบริเวณที่สูญเสียไปเพื่อใช้เป็นฟันหลัก ฟันเทียมชนิดนี้มีข้อดีคือ ผู้ป่วยจะไม่รู้สึกชำรุด มีความสวยงามเป็นธรรมชาติ แต่มีข้อเสียคือ ต้องกรอฟันธรรมชาติที่เป็นหลักออกไป ถ้าผู้ป่วยดูแลรักษาไม่ดีจะเกิดการผุตื้น สะพานฟัน ทำให้สูญเสียฟันได้ และมีราคาสูง

2 ฟันเทียมถอนได้ (Removable Denture) ทำในกรณีผู้ป่วยมีการสูญเสียฟันตั้งแต่ 1 ชิ้นไป หรือไม่มีฟันในช่องปากเลย ฟันเทียมชนิดนี้มีข้อดีคือ ราคาย่อมเยา แบบติดแน่น ไม่ทำลายฟันธรรมชาติที่เหลืออยู่ แต่มีข้อเสียคือผู้ป่วยต้องปรับตัวในการใส่ฟันเทียม และต้องถอนออกมาก่อนการทำความสะอาด

2.1 พื้นเที่ยมแบบถอดได้แบบโครงอะคริลิกฐานหรือพอลิเมอร์ ซึ่งเป็นพื้นเที่ยมที่พบเจอมากที่สุด โดยตัวฐานของพื้นเที่ยมชนิดนี้จะทำมาจากพอลิเมอร์ที่มีสีคล้ายกับเหงือก สามารถถอดเข้าออกเพื่อทำความสะอาดได้ มีราคาถูกมากที่สุดในพื้นเที่ยมทุกประเภท จึงทำให้พื้นเที่ยมชนิดนี้เป็นที่นิยมในการเลือกทำฟันเที่ยมมากสำหรับคนในปัจจุบัน

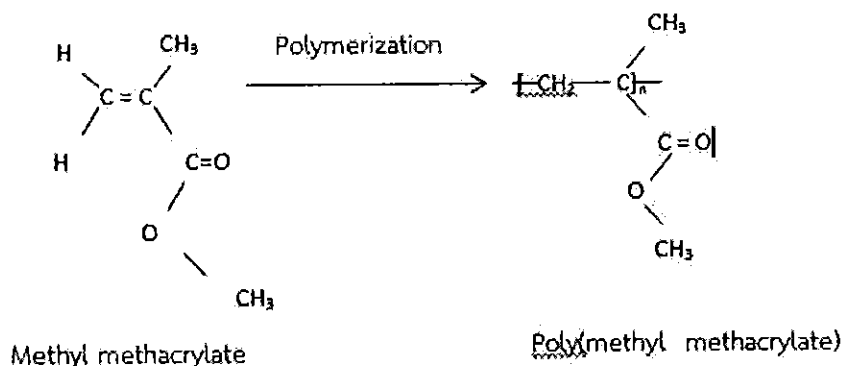
2.2 พื้นเที่ยมถอดได้แบบฐานโลหะ ซึ่งพื้นเที่ยมชนิดนี้จะมีลักษณะตัวฐานเป็นโลหะ จึงทำให้มีความแข็งแรงมากขึ้นและราคาที่มากกว่าแบบฐานพอลิเมอร์ ซึ่งพื้นเที่ยมแบบถอดได้นี้ก็มีข้อเสียคือ ทำให้เกิดความระคายเคืองได้ง่ายและไม่ควรสวมใส่เป็นเวลานานๆ เพราะพื้นเที่ยมชนิดนี้ทำขึ้นมาเพื่อใช้ในการชั่วคราวเพื่อรอพื้นเที่ยมแบบติดแน่นมากกว่า

ในการสังเคราะห์พอลิเมอร์เพื่อนำมาใช้ประโยชน์ทางทันตกรรมจะต้องได้รับการยอมรับถึงคุณสมบัติต่างๆ ไม่ว่าจะเป็นความเสถียรทางเคมีหรือมิติคุณสมบัติที่จ่ายต่อการสังเคราะห์และต้องมีความแข็งแรงไม่ประสำหรับการเลือกชนิดของพอลิเมอร์ที่จะนำมาทำซึ่งพื้นเที่ยมอะคริลิก PMMA นอกจากคุณสมบัติตั้งกล่าวแล้วความสวยงามก็เป็นอีกคุณสมบัตินึงที่ต้องนำมาพิจารณาอย่างมากในการเลือกชนิดของพอลิเมอร์ซึ่งจะต้องมีความสามารถย้อมสีได้อีกทั้งยังต้องสามารถให้การยืดแน่นทางเคมีอย่างดีกับวัสดุฐานพื้นเที่ยมอีกด้วย

ดังนั้นการศึกษาถึงทฤษฎีของพอลิเมอร์ไม่ว่าจะเป็นในแนวประวัติความเป็นมาส่วนประกอบและคุณสมบัติต่างๆ ที่เกี่ยวของกับพอลิเมอร์จะนำไปสู่ข้อสรุปผลการวิจัยถึงกระแสการใช้พอลิเมอร์ในการทำซึ่งพื้นเที่ยม PMMA เพื่อใช้ในการประดิษฐ์พื้นเที่ยมที่มีประสิทธิภาพสูงสุดและอาจเป็นแนวทางในการประดิษฐ์ซึ่งพื้นเที่ยมPMMAขึ้นใช้่องภายในประเทศไทยในอนาคต

2.1.3 พอลิเมทธิลเมทาคริเลต (Poly Methyl methacrylate: PMMA) [2]

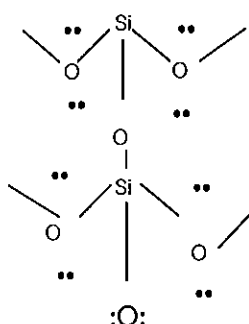
พอลิเมทธิลเมทาคริเลต (PMMA) เป็นพอลิเมอร์โปร่งใสและมันวาว มีอุณหภูมิคล้ายแก้วสูง ทนต่อแรงอัดและสภาวะแวดล้อมได้ดี อีกทั้งยังไม่เป็นอันตรายต่อมนุษย์จึงมีความสำคัญและมีประโยชน์มากต่อการนำไปประยุกต์ใช้งานเป็นผลิตภัณฑ์ต่างๆ ในอุตสาหกรรมเริ่มผลิตพอลิเมอร์นี้ในเชิงการค้าตั้งแต่ปี ค.ศ. 1934 โดย PMMA มีการเกิดปฏิกิริยาแบบพอลิเมอร์รีซเซชั่นแบบลูกโซ่ หรือแบบรวมตัว ปฏิกิริยาดังกล่าวเป็นปฏิกิริยาการเตรียมพอลิเมอร์จากมอนомер (Methyl methacrylate :MMA) ดังสมการ



รูปที่ 2.1 การสังเคราะห์พอลิเมทิลเมทาครีเลต [3]

PMMA สามารถเตรียมได้ด้วยกระบวนการพอลิเมอไรเซชันแบบบัลค์ แบบสารละลายแบบแขวนลอย และแบบอิมลชัน แต่วิธีที่นิยมใช้กันมากที่สุดในทางอุตสาหกรรมคือ แบบบัลค์ (Bulk) เนื่องจากผลิตภัณฑ์ที่ได้จากการเตรียมด้วยกระบวนการพอลิเมอไรเซชันแบบบัลค์จะมีสีเจือปนน้อย PMMA ที่เตรียมด้วยกลไกฟรีเอดิคัลท์ไว้มีสูตรโครงสร้างเป็นเส้นตรง และอสัณฐาน มีอุณหภูมิคล้ายแก้ว (T_g) 105 องศาเซลเซียส และจุดหลอมตัวสูงกว่า 200 องศาเซลเซียสสมบัติพิเศษประการหนึ่งของพอลิเมอร์นี้คือไม่มีสีและใสเหมือนแก้ว นอกจากนี้ยังแข็งแกร่งกว่าและทนทานต่อสภาวะแวดล้อมได้ดีกว่าพอลิเมอร์บางชนิดที่มีคุณสมบัติคล้ายกัน เช่น พอลิสโตรีนแต่สามารถทนการสึกหรอได้น้อยกว่า PMMA สามารถทนต่อน้ำและสารละลายอินทรีย์ทั่วไปได้เป็นอย่างดี รวมทั้งกรดอ่อน เบสอ่อน และปฏิกิริยาซัลโคนิฟิเคชันจากสมบัติความโปร่งแสง และการนำไปย้อมสีได้ง่ายของ PMMA จึงมีการนำไปใช้งานเป็นส่วนประกอบของอุปกรณ์เครื่องใช้ต่างๆ

2.1.4 ซิลิกอนడิออกไซด์



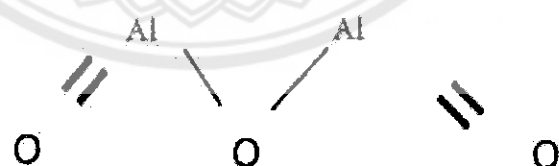
รูปที่ 2.2 โครงสร้างของซิลิกอนడิออกไซด์ [3]

ซิลิกอนไดออกไซด์ (Silicon dioxide) คือ สารประกอบระหว่างออกไซด์และซิลิกอน รวมตัวกันเป็นสูตรทางเคมี คือ SiO_2 และเป็นวัสดุที่มีความแข็งแกร่ง ซิลิกอนไดออกไซด์มักพบได้ ทั่วไปในธรรมชาติอาจในรูปของทรายหรือควอตซ์และในผนังเซลล์ของไถותอม ซิลิกอนไดออกไซด์เป็นสารประกอบที่มีจำนวนมากโดยทั่วไปบนเปลือกโลก

ซิลิกอนไดออกไซด์ได้นำมาใช้เป็นวัสดุในการผลิตที่หลากหลายอาทิ เช่น คริสตัล กระจก แก้วน้ำ และขวดแก้ว สายใยแก้วที่ใช้ในการโทรศัมนาคมก็เป็นผลิตผลจากซิลิกอนไดออกไซด์ เช่นเดียวกันและยังใช้เป็นวัตถุดับแรกรเเรมในผลิตภัณฑ์จำพวกเซรามิก เช่น เครื่องปั้นดินเผา เครื่องหิน เครื่องลายคราม และการผลิตพอร์ตแลนด์ซีเมนต์ (Portland Cement) พื้นที่พิวของซิลิกอนไดออกไซด์เป็นปัจจัยที่สำคัญในการบ่มอกถึงประสิทธิภาพความแข็งแกร่งเมื่อนำมาใช้เป็นวัสดุเสริมแรงซึ่งหากใช้ซิลิกอนไดออกไซด์เป็นตัวปรับชีวนะจะส่งผลให้ชีวนะมีความแข็งแรงมากขึ้นในงานที่ใช้เป็นวัสดุเสริมแรง

ในอุตสาหกรรมต่างๆ ซิลิกอนไดออกไซด์ที่มีขนาดอนุภาคเล็กจะมีพื้นที่ผิวสูงและให้ความแข็งแรงในการเสริมแรงซิลิกอนไดออกไซด์และถูกใช้ในปริมาณมาก ซึ่งเป็นส่วนของวัสดุก่อสร้าง ส่วนซิลิกอนไดออกไซด์อสัณฐานนั้น (Amorphous silica) ถูกใช้เป็นสารดูดความชื้น สารดูดซับสารเพิ่มความแข็งแรง สารเติมแต่ง และองค์ประกอบของตัวเร่งปฏิกิริยา เนื่องจากซิลิกาอสัณฐาน มีช่วงอุณหภูมิที่ค่อนข้างกว้างจึงจะอยู่อ่อนตัวและยังมีความสามารถในการดูดกลืนแสงได้ดี จึงสามารถใช้การบ่มตัวด้วยแสงได้ [4,9]

2.1.5 อะลูมิเนียมออกไซด์



รูปที่ 2.3 โครงสร้างของอะลูมิเนียมออกไซด์ [3]

อะลูมิเนียมออกไซด์ (Aluminum oxide: Al₂O₃) ปัจจุบันถูกพัฒนามาใช้งานมากขึ้น จัดว่าเป็นวัสดุที่มีมูลค่าสูงเนื่องจากมีสมบัติที่โดดเด่นหลายด้าน เช่น มีจุดหลอมเหลวที่สูง มีความแข็งแกร่ง และมีเสถียรรูปทรงเคมีที่สูง อะลูมิเนียมออกไซด์ที่มีความเสถียรมากที่สุดอยู่ในรูปอัลฟะ อะลูมิเนียมออกไซด์ (α - Al₂O₃) ซึ่งมีโครงสร้างเป็นhexagonal (Hexagonal) หรือผลึกหกเหลี่ยม โดยมีออกซิเจนเรียงตัวกันแบบhexagonal และมีอะลูมิเนียมที่มีขนาดเล็กกว่าแทrogly ในช่องของหกเหลี่ยม 2 ใน 3 ส่วนของช่องทั้งหมดโดยผงอะลูมิเนียมออกไซด์จะเป็นที่นิยมใช้มาก ที่สุด เพราะเป็นวัสดุเริ่มต้นในการขึ้นรูปแบบต่างๆ ได้ดีทั้งนี้อะลูมิเนียมออกไซด์ที่นำมาใช้จะต้องมีความบริสุทธิ์สูง และมีความละเอียดมาก เพราะสมบัติทางฟิสิกส์และเชิงกลของอะลูมิเนียมออกไซด์ สามารถเพิ่มขึ้นได้โดยการกำจัดสิ่งเจือปนต่างๆ ออกไป เช่น

- 1 การปรับปรุงสมบัติเชิงกลโดยการปรับปรุงองค์ประกอบและโครงสร้างจุลภาค
- 2 การใช้ผงอะลูมิเนียมออกไซด์ที่มีความละเอียดระดับเล็กกว่าไมโครเมตรเพื่อที่จะให้ได้ผลิตภัณฑ์ที่มีเนื้อละเอียดมากๆ
- 3 การพัฒนาอะลูมิเนียมออกไซด์เซรามิกที่มีรูพรุน เนื่องจากสมบัติของอะลูมิเนียมออกไซด์ที่มีความแข็งสูง มีความหนาแน่นสูง

ต้านทานต่อการขัดสีและสีกร่อนสูงทันต่อสารเคมี เป็นฉนวนไฟฟ้าที่อุณหภูมิสูงได้ดี และมีความทนไฟสูง จึงสามารถนำมาใช้ในอุตสาหกรรมได้หลายประเภท เช่น อุตสาหกรรมเครื่องขัดถู (Abrasive) อุตสาหกรรมวัสดุทุนไฟอุตสาหกรรมเซรามิก และอื่นๆ ซึ่งแนวโน้มในการนำอะลูมิเนียมออกไซด์ไปใช้งานก็ได้ มีการพัฒนาเพิ่มขึ้นเรื่อยๆ สามารถนำอะลูมิเนียมออกไซด์ที่ได้จากการสังเคราะห์มาผลิตเป็นผลิตภัณฑ์ได้หลายประเภท เช่น อุปกรณ์ประกอบชิ้นส่วนอิเล็กทรอนิกส์ ชิ้นส่วนรถยนต์ อุปกรณ์ฉนวนไฟฟ้าเครื่องปั๊มน้ำ ตู้ตู้เย็น ฯลฯ ที่มีวิทยาศาสตร์เป็นต้น โดยอะลูมิเนียมออกไซด์ที่นำมาใช้ในนั้นจะมีชนิดที่เป็นผงเป็นผลึกเดียวๆ เป็นแผ่นฟิล์มบางๆ เป็นเตี้ยๆ และที่เป็นรูพรุน

2.1.6 สมบัติอนุภาคนาโนเมตร

อนุภาคนาโนเมตร เมื่อเทียบกับอนุภาคนาโนเมตรแสดงความแตกต่างได้ดังนี้

2.1.6.1 อนุภาคนาโนจะมีความกว้างไวในการเกิดปฏิกิริยาเคมีที่สูง วัสดุที่มีขนาดในระดับนาโนเมตรจะมีอัตราส่วนระหว่างพื้นที่ผิวด้วยปริมาตรสูงมาก เมื่อเปรียบเทียบกับวัสดุชนิดเดียวกันที่มีขนาดใหญ่

2.1.6.2 อนุภาคนาโนจะมีความแข็งแรงที่ดีขึ้นกว่าเดิมวัสดุประเภทโลหะและเซรามิกที่มีขนาดเกรน (Grain size) ในระดับนาโนเมตร จะมีความแข็งแรงและความทนทานต่อการแตกหักสูงมากกว่าวัสดุชนิดเดียวกัน ที่มีขนาดเกรนในระดับไมโครเมตรหรือในระดับที่ใหญ่กว่า

2.1.6.3 อนุภาคนาโนจะมีสมบัติทางไฟฟ้าที่แตกต่างออกไปจากเดิมเมื่อโครงสร้างวัตถุกทำให้เล็กจนอยู่ในระดับนาโน จะส่งผลให้คุณสมบัติพื้นฐานทางไฟฟ้าของวัสดุนั้นแตกต่างออกไปจากที่เคยเป็นอยู่เดิม ตัวอย่างเช่น เมื่อวัตถุมีโครงสร้างอยู่ในระดับนาโนแล้ว วงจรไฟฟ้าที่เกิดขึ้นในโครงสร้างนั้นไม่จำเป็นต้องเป็นไปตามกฎของโอม์ (Ohm's law) ซึ่งกฎของโอม์เกี่ยวข้องกับกระแสไฟฟ้า (I) และค่าอิสระของต้นนำไฟฟ้า (V) และความต้านทานไฟฟ้า (R) แต่หัวใจสำคัญของกฎของโอม์มีพื้นฐานมาจากแนวคิดที่ว่า อิเล็กตรอนในลัพธ์ต่างๆ ไปตามสายไฟฟ้าในลักษณะที่เป็นกระแส แต่ในโครงสร้างระดับนาโนนั้นอิเล็กตรอนไม่ได้เคลื่อนที่โดยในลัพธ์เป็นกระแส เช่นเดิม เพราะถ้าหากสายไฟฟ้ามีขนาดความกว้างอยู่ในระดับนาโนเมตรแล้วนั้น อิเล็กตรอนจะต้องในลัพธ์ไปตามสายไฟฟ้าจากอุปกรณ์หนึ่งไปอีกอุปกรณ์หนึ่งในปริมาตรที่ถูกจำกัด ซึ่งจะต้องทำให้เกิดสมบัติทางไฟฟ้าที่แตกต่างออกไปจากเดิมอย่างแน่นอน มีความเป็นพลาสติก

2.1.6.4 อนุภาคนาโนจะมีความเป็นพลาสติก สภาพพลาสติกพิเศษ (Super plastics) จะเกิดขึ้นกับวัตถุที่มีขนาดเกรนในระดับนาโนเมตร โดยพบว่าอนุภาคระดับนาโนของวัตถุจะมีสภาพของการถูกยืด หรือทำให้ผิดรูปได้มากขึ้นกว่าเดิมอย่างมาก (ประมาณได้ว่าจาก 100 % ขยายไปจนถึง 1000 %) โดยวัตถุจะมีอุณหภูมิบริเวณพื้นผิวที่ลดลงมาก แต่จะมีอัตราความเครียดของวัตถุที่เพิ่มมากขึ้น จากการศึกษาพบว่าโครงสร้างของผลึกระดับนาโนสามารถมีสภาพเป็นพลาสติกพิเศษได้ เมื่ออยู่ในช่วงอุณหภูมิสูงประมาณ 400 – 500 องศาเซลเซียส ตัวอย่างเช่น ผลึกนาโนของนิกเกิล ผลึกนาโนของอะลูมิเนียมอัลลอยด์ เป็นต้น

2.1.7 สารคู่ควบ (Coupling Agents)

สารคู่ควบคือสารที่ช่วยปรับปรุงยึดเหนี่ยวระหว่างพอลิเมอร์และพิลเลอร์ทำหน้าที่ เมื่อมีอนเป็นสะพานเชื่อมทั้งสองโมเลกุลไว้โดยส่วนหนึ่งของโมเลกุลเป็นส่วนที่จะเกิดปฏิกิริยากับพิลเลอร์และอีกส่วนหนึ่งของโมเลกุลเป็นส่วนที่จะเกิดการรวมตัวหรือทำปฏิกิริยากับพอลิเมอร์ได้เป็นอย่างดีเมื่อพื้นผิวพิลเลอร์ได้รับการปรับปรุงด้วยสารคู่ควบจะช่วยลดแรงตึงผิวของพิลเลอร์หรือเปลี่ยนลักษณะพื้นผิวของพิลเลอร์ที่มีสมบัติเป็นไฮดรophilic (Hydrophilic) เป็นไฮดรɔphilic

บิก (Hydrophobic) ทำให้สามารถเข้ากันได้กับพอลิเมอร์ซึ่งไม่เพียงช่วยให้การผสานเกิดได้ดีขึ้น แต่ยังช่วยปรับปรุงสมบัติโดยรวมของคอมโพสิตอีกด้วย

กลไกการปรับปรุงการยึดรหัสว่างฟิลเลอร์กับพอลิเมอร์โดยการใช้สารคุณภาพ

สารคุณภาพมีสูตรทั่วไปคือ $(R'O)x-M-(R-X)y$

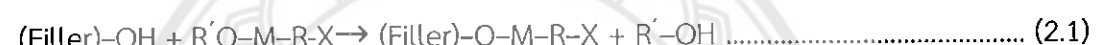
โดย M คือโลหะได้แก่เชิลิกอนไททาเนียมหรือเซอร์โคเนียม เป็นต้น

X เป็นหมู่ฟังก์ชันที่เข้าหากปฏิกิริยาเกิดพันธะกับพอลิเมอร์ เช่นหมู่ไวนิลที่อยู่ในเป็นต้น

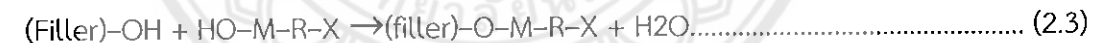
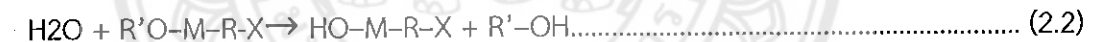
R เป็นหมู่อินทรีย์ที่เชื่อมอยู่ระหว่างหมู่ X กับโลหะ M

O เป็นหมู่ที่เข้าทำปฏิกิริยาเกิดพันธะกับฟิลเลอร์หรือเส้นใยเสริมแรง

การยึดรหัสว่างสารประสานและฟิลเลอร์อาจเกิดจากปฏิกิริยาโดยตรงระหว่างหมู่ OR' ของสารคุณภาพกับหมู่ OH ที่พื้นผิวฟิลเลอร์ดังนี้



หรืออาจเกิดจากการที่หมู่ OR' ถูกไฮโดรไลซ์ด้วยความชื้นที่พื้นผิวฟิลเลอร์ได้เป็นหมู่ OH ซึ่งจะเข้าทำปฏิกิริยาต่อไปกับฟิลเลอร์ดังนี้



สำหรับการยึดเกาะระหว่างสารคุณภาพและพอลิเมอร์เกิดจากหมู่ X ของสารคุณภาพเข้าทำปฏิกิริยากับหมู่ฟังก์ชันของพอลิเมอร์โดยหมู่ X มีแตกต่างกันหลายชนิดเพื่อให้เหมาะสมในการใช้งานกับพอลิเมอร์ชนิดต่างๆ

การใช้สารคุณภาพมี 2 วิธี

1 นำไปเคลือบหรือปรับแต่งที่พื้นผิวของฟิลเลอร์แล้วจึงนำไปผสมกับพอลิเมอร์

2 ผสมกับพอลิเมอร์โดยตรงระหว่างกระบวนการคอมพาวด์ดิง (Compounding)

ซึ่งในการนี้ของงานวิจัยนี้ได้ทำการเลือกใช้สารคุณภาพแบบที่ 1 นำไปเคลือบหรือปรับแต่งที่พื้นผิวของฟิลเลอร์แล้วจึงนำไปผสมกับพอลิเมอร์

สำหรับสารคุ่มวบที่ใช้กันทั่วไปมีดังนี้คือ

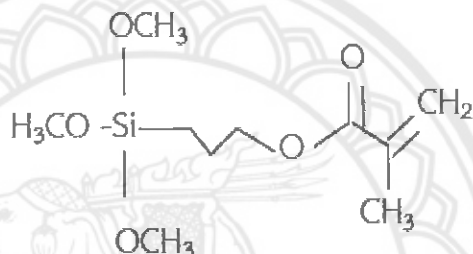
- สารโคเมียมเชิงซ้อน (Chromium complexes)

- ไซเลน (Silanes)

- ไททาเนต (Titanates)

- เซอร์โคเนียมอะลูมิเนต (Zirconium Aluminates)

สำหรับงานวิจัยนี้เลือกใช้สารคุ่มวบประเภทไซเลนคือ 3-เมทาคริลอกซิโลฟิลไตรเมಥอกซิไซเลน(3-Methacryloxypropyltrimethoxysilane; 3-MPS) โดยจะแสดงลักษณะการจัดเรียงโครงสร้างทางเคมีของ 3-MPS ดังรูป



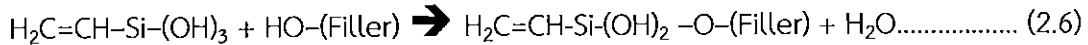
รูปที่ 2.4 โครงสร้างของ 3-MPS [3]

2.1.8 ไซเลน (Silanes)

ไซเลนเป็นสารคุ่มวบที่นิยมใช้มากที่สุดกับผลิตภัณฑ์พลาสติกเสริมแรงด้วยฟิลเลอร์มีสูตรทั่วไปคือ Y-Si(OR)_3 โดยหมู่ OR (เช่น $-\text{OCH}_3$, $-\text{OC}_2\text{H}_5$) จะเข้าทำปฏิกิริยาเกิดพันธะกับฟิลเลอร์ในขณะที่หมู่ Y (เช่น หมูไวนิลหมู่อะมิโนหมูอีพอกซี่และหมู่ Mercator) จะทำปฏิกิริยากับพอลิเมอร์ซึ่งมีผลทำให้ฟิลเลอร์ยึดเกาะกับพอลิเมอร์ได้ดีตัวอย่างเช่นการใช้ 3-เมทาคริลอกซิโลฟิลไตรเมಥอกซิไซเลน (3-MPS) จะช่วยให้ฟิลเลอร์ยึดเกาะกับพอลิเมอร์ได้ดีขึ้นนี้คือขั้นที่ 1 หมูเอทอกซิคลูกไทร่าเลซไดเป็นหมูซิลลานอล (Si-OH)

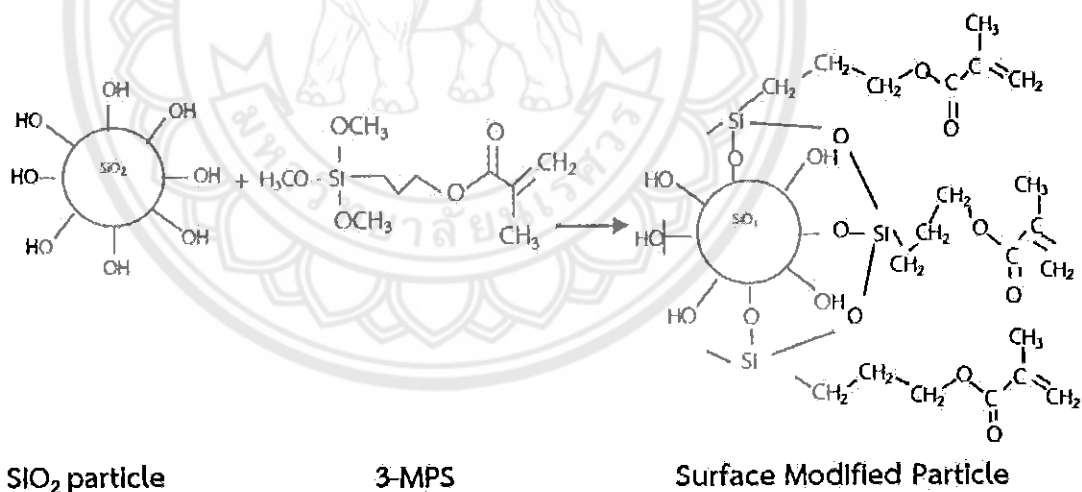


ขั้นที่ 2 ซิลลานอลเข้าทำปฏิกิริยากับหมู่ OH ที่พื้นผิวของฟิลเลอร์เกิดเป็นพันธะ Si-O-Si ระหว่างสารคุ่มวบกับฟิลเลอร์

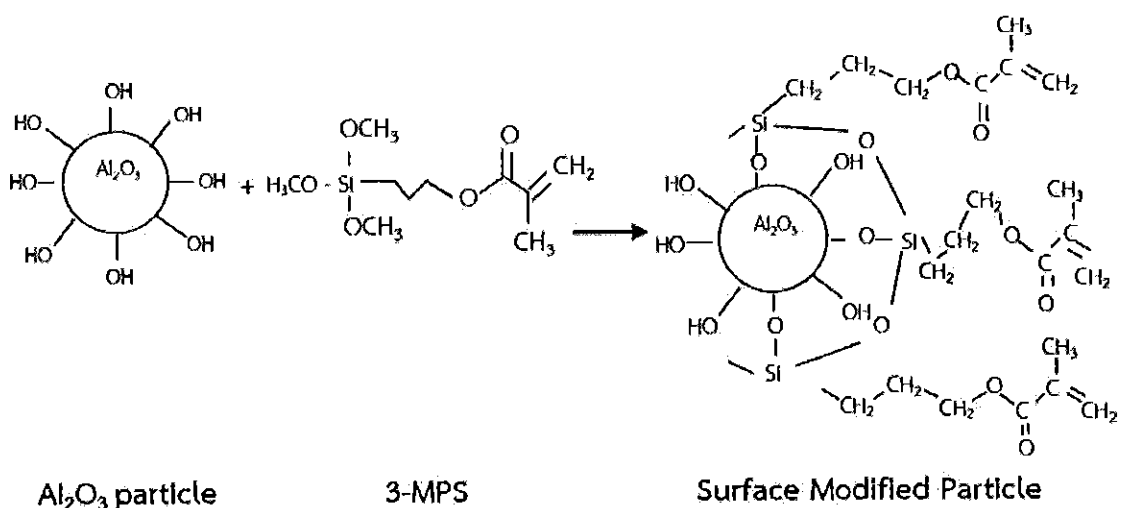


ในขณะเดียวกันหมู่อัลกิลจะเข้าทำปฏิกิริยากับพอลิเมอร์เกิดเป็นพันธะโคลเวเลนท์ระหว่างสารคุ่คwarm กับพอลิเมอร์ โดยวิธีการนี้ จึงทำให้ฟิลเลอร์มีแรงยึดติดกับพอลิเมอร์มากขึ้นได้ การใช้สารคุ่คwarm ไชเเลนจะมีประสิทธิภาพสูงเมื่อนำไปใช้เป็นสารคุ่คwarm สำหรับฟิลเลอร์ ต่อไปนี้ คือ ชิลิกอนไดออกไซด์ แก้ว อะลูมิเนียมออกไซด์ และอะลูมิโนชิลิกเกต ในทางตรงกันข้าม เมื่อนำไปใช้กับแคลเซียมคาร์บอเนต ไชเเลนจะไม่มีประสิทธิภาพ เนื่องจากแคลเซียมคาร์บอเนตไม่มีหมู่ฟังก์ชันที่เหมือนกับสารจึงเข้าทำปฏิกิริยามิได้ [3]

ในการปรับปรุงสมบัติเชิงกลของพอลิเมอร์โดยการใส่ฟิลเลอร์นั้น คอมโพสิตที่ได้จะมีสมบัติดี ถ้าทำให้ฟิลเลอร์กระจายตัวหรือยึดเกาะกับพอลิเมอร์ได้ดี ซึ่งวิธีการหนึ่งที่นิยมใช้กันมานานแล้ว คือ การเคลือบหรือปรับสภาพพื้นผิวของฟิลเลอร์ด้วยสารที่สามารถเข้ากันได้กับทั้งเนื้อพอลิเมอร์และฟิลเลอร์ โดยงานวิจัยนี้เลือกฟิลเลอร์หัววัสดุเสริมแรง 2 ชนิด คือ ชิลิกอนไดออกไซด์ และอะลูมิเนียมออกไซด์ โดยจะแสดงลักษณะการปรับสภาพพื้นผิวของหัววัสดุเสริมแรงโดยใช้ 3-MPS เป็นตัวปรับสภาพพื้นผิว ดังรูป



รูปที่ 2.5 การปรับสภาพพื้นผิวของชิลิกอนไดออกไซด์ [3]



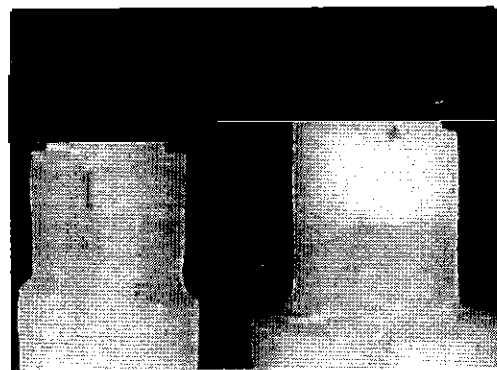
รูปที่ 2.6 การปรับสภาพพื้นผิวของอลูมิเนียมออกไซด์ [3]

2.1.9 ทฤษฎีการทดสอบสมบัติเชิงกล

ขั้นงานทุกขั้นที่ได้จากการจัดเตรียมขึ้นจะถูกนำไปทดสอบทางกล คุณสมบัติเชิงกล (Mechanical Properties) คือ พฤติกรรมอย่างหนึ่งของวัสดุ ที่สามารถแสดงออกมาเมื่อมีแรงจากภายนอกมากระทำซึ่งในงานวิจัยนี้จะมีการทดสอบคุณสมบัติทางกลอยู่สามชนิดคือ การต้านทานแรงดึง (Tensile strength) , การต้านทานแรงดัดโค้ง (Flexural strength) และการต้านทานแรงสึกกร่อน (Wear resistant)

2.1.9.1 การต้านทานแรงดึง (Tensile strength)

วิธีการทดสอบนั้นจะนำตัวอย่างที่จะทดสอบมาดึง แล้วบันทึกค่าของความเค้นและความเครียดที่เกิดขึ้นไว้แล้วมาพล็อตเป็นเส้นโค้งดังรูปขนาดและรูปร่างของชิ้นทดสอบมีความต่างกันขึ้นอยู่กับชนิดของวัสดุมาตรฐานต่างๆ ของการทดสอบ เช่น มาตรฐานของ ASTM (American Society of Testing and Materials), BS (British Standards), JIS (Japanese Industrial Standards) หรือแม้แต่ นอกร. (มาตรฐานผลิตภัณฑ์อุตสาหกรรมไทย) ได้กำหนดขนาดและรูปร่างของชิ้นทดสอบไว้ทั้งนี้เพื่อให้ผลของการทดสอบเชื่อถือได้ พร้อมกับกำหนดความเร็วในการเพิ่มแรงกระทำ



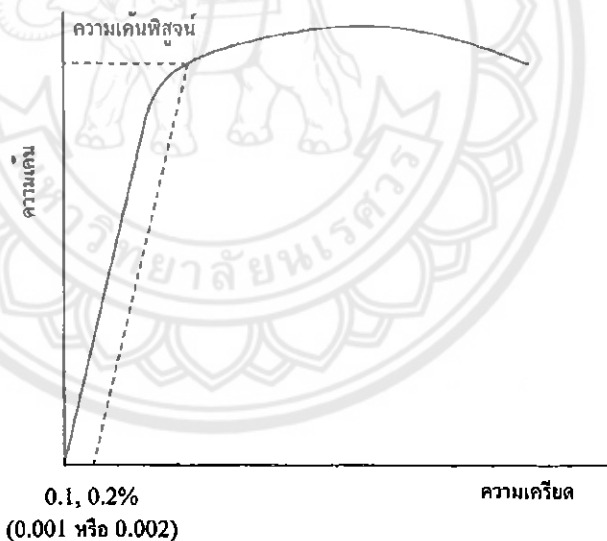
รูปที่ 2.7 แสดงการแตกหักของชิ้นงาน [www.tonanasia.com]



รูปที่ 2.8 เส้นโค้งความคืน-ความเครียด [www.tonanasia.com]

จากการศึกษาเส้นโค้งความคืน-ความเครียดเราพบว่าเมื่อเรามีจุดทดสอบจะค่อยๆ ดึงออกจนถึงจุดหนึ่งซึ่งในช่วงนี้ความสัมพันธ์ระหว่างความคืน-ความเครียดจะเป็นสัดส่วนคงที่ทำให้เราได้กราฟที่เป็นเส้นตรงตามกฎของยก (Hooke's law) ซึ่งกล่าวว่าความคืนเป็นสัดส่วนโดยตรงกับความเครียด จุด A นี้ เรียกว่าพิกัดสัดส่วน (Proportional limit) และภายใต้พิกัดสัดส่วนนี้ วัสดุจะแสดงพฤติกรรมการคืนรูปแบบอิเลสติก (Elastic behavior) นั่นคือเมื่อปล่อยแรงกระทำ จุดทดสอบจะกลับไปมีขนาดเท่าเดิม เมื่อเราเพิ่มแรงกระทำต่อไปจนเกินพิกัดสัดส่วนเส้นกราฟจะค่อยๆ โค้งออกจากเส้นตรงวัสดุหลายชนิดจะยังคงแสดงพฤติกรรมการคืนรูปได้อีกเล็กน้อยจนถึงจุดหนึ่ง (จุด B) เรียกว่าพิกัดยืดหยุ่น (Elastic limit) ซึ่งจุดนี้จะเป็นจุดกำหนดว่าความคืนสูงสุดที่จะไม่ทำให้เกิดการแปรรูปถาวร (Permanent deformation or offset) กับ

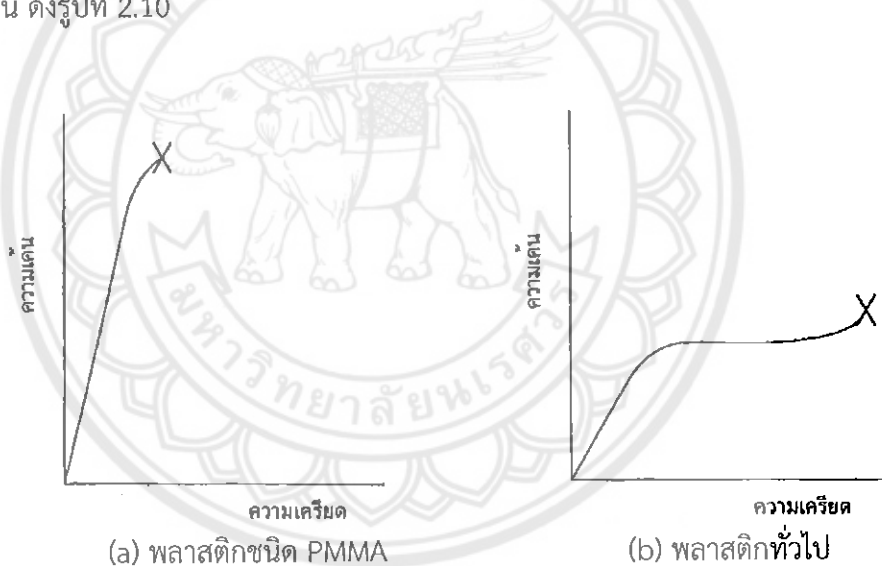
วัสดุนี้เมื่อผ่านจุดนี้ไปแล้ววัสดุจะมีการเปลี่ยนรูปอย่างถาวร (Plastic deformation) ลักษณะการเริ่มต้นของความเครียดแบบพลาสติกนี้เปลี่ยนแปลงไปตามชนิดของวัสดุในโลหะหลายชนิด เช่น พากเหล็กกล้าคาร์บอนต่ำ (Low carbon steel) จะเกิดการเปลี่ยนรูปอย่างรวดเร็ว โดยไม่มีการเพิ่มความเค้น (บางครั้งอาจจะลดลงก็มี) ที่จุด C ซึ่งเป็นจุดที่เกิดการเปลี่ยนรูปแบบพลาสติก จุด C นี้เรียกว่าจุดคราก (Yield point) และค่าของความเค้นที่จุดนี้เรียกว่า ความเค้นจุดคราก (Yield stress) หรือ Yield strength ค่า Yield strength นี้มีประโยชน์กับวิศวกรรมมาก เพราะเป็นจุดแบ่งระหว่างพฤติกรรมการคืนรูปกับพฤติกรรมการคงรูปและในกรณีของโลหะจะเป็นค่าความแข็งแรงสูงสุดที่เราคงใช้ประโยชน์ได้โดยไม่เกิดการเสียหาย วัสดุหลายชนิดเช่น อะลูมิเนียม ทองแดง จะไม่แสดงจุดครากอย่างชัดเจน แต่เราจะมีวิธีที่จะหาได้โดยกำหนดความเครียดที่ 0.10 - 0.20% ของความยาวกำหนดเดิมแล้วลากเส้นบนนากับกราฟช่วงแรกไปจนตัดเส้นกราฟที่โครงไปทางด้านขวา ดังรูปที่ 9 ค่าความเค้นที่จุดตัดนี้จะนำมาใช้แทนค่าความเค้นจุดครากได้ ความเค้นที่จุดนี้บางครั้งเรียกว่า ความเค้นพิสูจน์ (Proof stress) หรือความเค้น 0.1 หรือ 0.2% offset ดังแสดงในรูปที่ 2.9



รูปที่ 2.9 เส้นโค้งความเค้น-ความเครียดแบบที่ไม่มีจุดคราก [www.tonanasia.com]

หลังจากจุดครากแล้ววัสดุจะเปลี่ยนรูปแบบพลาสติกโดยความเค้นจะค่อยๆเพิ่มอย่างช้าๆ หรืออาจจะคงที่จนถึงจุดสูงสุด (จุด D) ค่าความเค้นที่จุดนี้เรียกว่า Ultimate strength หรือความเค้นแรงดึง (Tensile strength) ซึ่งเป็นค่าความเค้นสูงสุดที่วัสดุจะทนได้ก่อนที่จะขาดหรือแตกออกจากกัน (Fracture) เนื่องจากวัสดุหลายชนิดสามารถเปลี่ยนรูปอย่างพลาสติกได้มากๆค่า

ความเค้นสูงสุดนี้สามารถนำมาคำนวณใช้งานได้ นอกจากนี้ ค่าที่ยังใช้เป็นตัวบ่งชี้ของวัสดุ เช่น ความแข็งแรง (Strength) ของวัสดุ หรือ กำลังวัสดุนั้น โดยทั่วไป จะหมายถึงค่าความเค้นสูงสุดที่วัสดุทนได้นี้เอง ที่จุดสุดท้าย (จุด E) ของกราฟ เป็นจุดที่วัสดุเกิดการแตกหรือขาดออกจากกัน (Fracture) สำหรับโลหะบางชนิด เช่น เหล็กกล้าคาร์บอน ตัวหรือโลหะเนื้ียว ค่าความเค้นประดับ (Rupture Strength) นี้จะต่ำกว่าความเค้นสูงสุด เพราะเมื่อเลี้ยงจุด D ไป ผู้ที่ภาคตัดขวางของตัวอย่างทดสอบลดลงทำให้พื้นที่จะต้านทานแรงดึงลดลง ด้วยในขณะที่เรายังคงคำนวณค่าของความเค้นจึงลดลงส่วนโลหะอื่นๆ เช่น โลหะที่ผ่านการขึ้นรูปเย็น (Cold work) มาแล้วมันจะแตกหักที่จุดความเค้นสูงสุดโดยไม่มีการลดขนาดพื้นที่ภาคตัดขวางดังรูปทำองเดียวกับพวkvัสดุประจำ (Brittle materials) เช่น เซรามิก ที่มีการเปลี่ยนรูปอย่างพลาสติกน้อยมากหรือไม่มีเลย ส่วนกรณีของวัสดุที่เป็นพลาสติกจะเกิดแตกหักโดยที่ต้องการความเค้นสูงขึ้น ดังรูปที่ 2.10



รูปที่ 2.10 เปรียบเทียบเส้นโค้งความเค้น-ความเครียดของวัสดุประจำและวัสดุพลาสติก

[www.tonasia.com]

2.1.9.2 การต้านทานแรงดัดโค้ง (Flexural Strength) [3]

เป็นค่าความเด่นที่ได้จากการทดสอบ ให้เกิดการงอตัวโดยใช้หัวกด (Indenter) ซึ่งกดลงตั้งฉากกับชิ้นทดสอบที่อยู่ในลักษณะแนวอน โดยมีตัวรองรับ (Supporting jig) เป็นตัวกำหนดช่วง ของตัวรองรับ (Span) การทดสอบลักษณะนี้ชิ้นทดสอบจะได้รับทั้งแรงคีบและแรงกด แรงกดจะเกิดบนชิ้นงานทดสอบ ส่วนแรงคีบจะเกิดใต้ชิ้นงานทดสอบค่า Flexural Strength คำนวณได้จากสูตร

$$\text{Flexural Strength} = \frac{3FL}{2WH^2} \quad \dots \dots \dots \quad (2.7)$$

F= น้ำหนักที่ทำให้เกิดการแตกของพอลิเมอร์ (KN)

L= ระยะห่างระหว่างตำแหน่งของวัสดุที่รองรับ (mm)

W= ความกว้างของตัวอย่าง (mm)

H= ความสูงของตัวอย่าง (mm)



รูปที่ 2.11 แสดงแผนผังการทดสอบการต้านทานแรงดัดโค้ง [2]

มอดูลัสยืดหยุ่นแสดงได้จากสมการ

$$\text{Flexural Modulus} = \frac{FL^3}{4WH^3d} \quad \dots \dots \dots \quad (2.8)$$

d = ระยะที่ถูกตัด ณ จุดศูนย์กลางชิ้นทดสอบ (mm)

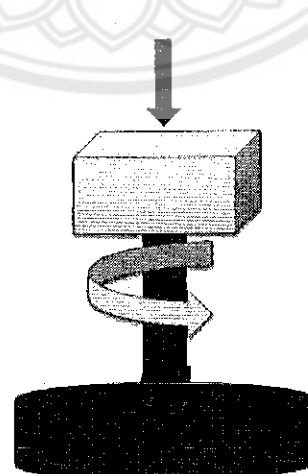
2.1.9.3 การต้านทานแรงสึกกร่อน (Wear resistant) [3]

วิธีและเครื่องมือที่ใช้ในการทดสอบการสึกกร่อนมีอยู่ในมาตรฐาน ASTM G-65 (American Society of Testing and Materials G-65) และรูปแบบการทดสอบ สามารถจัดตามกลุ่มรูปแบบการ สึกกร่อน ลักษณะการสัมผัสกันของชิ้นงานทดสอบได้เป็น 4 กลุ่ม คือการทดสอบแบบลื่นไถล (Sliding test) การทดสอบแบบขัดถู (Abrasion test) การทดสอบความล้าแบบหมุน (Rolling-contact Fatigue test) และการทดสอบการกัดเซาะจากอนุภาคของแข็ง (Solid-particle Erosion test) ซึ่งในงานวิจัยนี้กลุ่มผู้จัดทำได้เลือกการทดสอบการสึกกร่อนชนิด การทดสอบแบบขัดถู (Abrasion test)

การทดสอบการสึกในงานวิจัยนี้ใช้การทดสอบแบบการทดสอบแบบขัดถู เป็นการทดสอบแบบการให้ชิ้นงานอยู่นิ่งและมีหัวโหลดแรงกดลงมาแล้วหมุนถูที่ตัวของชิ้นงานทำให้ชิ้นงานเกิดการสึกกร่อนโดยสามารถคำนวณหาอัตราการสึกกร่อนได้จากสมการการสึกกร่อนดังสมการที่ 2.9

การคำนวณหาการสึกกร่อน (Wear resistant) มาตรฐาน ASTM (American Society of Testing and Materials) G-65 ซึ่งสามารถคำนวณได้ตามสมการ

$$\text{การสึกกร่อน} = \frac{\text{น้ำหนักของวัสดุก่อนการทดสอบ} - \text{น้ำหนักของวัสดุหลังการทดสอบ}}{\text{ให้โหลด}} \quad (2.9)$$

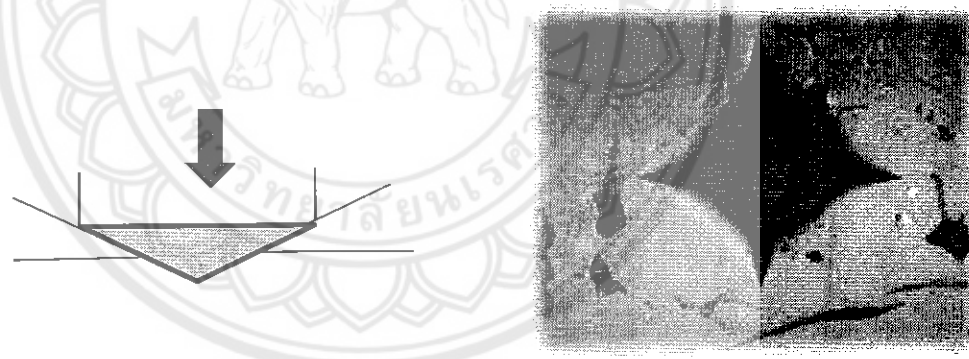


รูปที่ 2.12 เครื่องทดสอบการสึกกร่อน ARKON รุ่น QC-615A

ความต้านทานต่อการสึกกร่อน ของชิ้นฟันเทียม PMMA เป็นคุณสมบัติหนึ่งที่สำคัญที่จะทำให้ผู้ป่วย ที่สูญเสียฟันไปสามารถใช้ฟันเทียมได้นานชิ้นฟันเทียม PMMA ที่มีความต้านทานต่อการสึกสูงจะทำให้ผู้ป่วยที่ใส่ฟันเทียมคงการสนับฟันที่ดีไปได้นานโดยการทดสอบความสึกกร่อนนี้ก็ถูกผู้วิจัยได้ใช้การทดสอบแบบการให้ชิ้นงานอยู่นิ่งและมีหัวโหลดแรงกดลงมาแล้วหมุนถูกที่ตัวของชิ้นงานทำให้ชิ้นงานเกิดการสึกกร่อนโดยหมุนด้วยแรงกดขนาดโหลดที่ 10 กิโลนิวตัน ด้วยความถี่ 3000 รอบต่อนาที จากนั้นนำชิ้นงานไปซึ่งน้ำหนักเพื่อหาน้ำหนักที่หายไป

2.1.9.4 การวัดความแข็งวิกเกอร์ (Vickers Hardness Test-VHN)

วิธีนี้ใช้หัวกดพิระมิดฐานสี่เหลี่ยมที่ทำมาจากเพชรเมมุน 136 องศา แรงกด 10 กิโลนิวตัน เหมาะสำหรับวัดความแข็งของวัสดุที่มีความเปราะ จึงเหมาะสมในการวัดความแข็งผิวของฟันธรรมชาติ และฟันปลอม โดยมีหลักการคล้ายคลึงกับการทดสอบความแข็งนูปและบรินเดล์ แต่มีความแตกต่างกันตรงที่วิธีนี้ใช้หัวกดรูปพิระมิด แรงกดทำให้รอยกดคล้ายรูปสี่เหลี่ยมจัตุรัสบนผิววัสดุ ดังแสดงในรูปที่ 2.13 ค่าความแข็งของวัสดุจะถูกวัดจากเส้นผ่านศูนย์กลางของชิ้นงานนำมาหารค่าความแข็งเฉลี่ยแล้วคำนวนมาเป็นค่าความแข็งวิกเกอร์



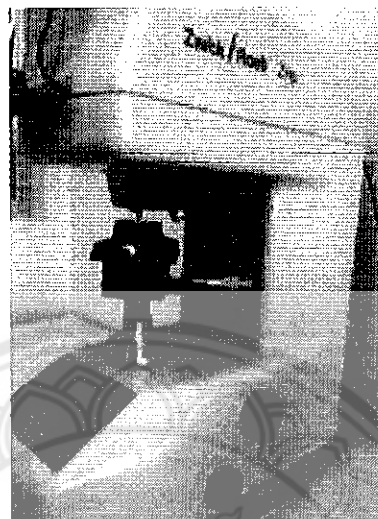
รูปที่ 2.13 ลักษณะหัวกดและรอยกดของการวัดความแข็งวิกเกอร์

$$\text{การคำนวนค่าความแข็ง} \quad HV = \frac{2F \sin(136/2)}{d^2} \quad \dots \dots \dots \quad (2.10)$$

HV = ความแข็งวิกเกอร์ (HV)

F = น้ำหนักที่ใช้กด (N)

d = ความยาวเส้นผ่านศูนย์กลาง (cm)



รูปที่ 2.14 เครื่องทดสอบความแข็งวิคเกอร์ (คณะทันตแพทยศาสตร์มหาวิทยาลัยนเรศวร)

ตารางที่ 2.1 ตารางแสดงข้อมูลของชิ้นพื้นเทียมอะคริลิกตามมาตรฐาน ISO 3360 [5]

ความหนาแน่น (g/cm^3)	1.2
มอตุลล์สของ การยึดหยุ่น (GPa)	2.5
ความแข็งผิว (VHN)	20

2.1.10 การวิเคราะห์ความแปรปรวน (The Analysis of Variance; ANOVA)

การวิเคราะห์ความแปรปรวนทางสถิติ (Analysis of Variance; ANOVA) เป็นวิธีการใช้คำนวณทางสถิติที่ใช้สำหรับการวิเคราะห์ข้อมูลที่ได้จากการทดลอง ผู้ที่พัฒนา คือ R.A. Fisher และได้มีการนำไปใช้วิเคราะห์ข้อมูลในสาขาวิชาต่างๆ มากมาย โดยใช้หลักการแยกความผันแปร หรือ ความแปรปรวนทั้งหมดของข้อมูลที่เกิดขึ้นจากการทดลองออกเป็นส่วนๆ ตามแหล่งที่ทำให้เกิดความผันแปร (Sources of Variation)

2.1.10.1 การวิเคราะห์ความแปรปรวนทางเดียว (One-way ANOVA)

การวิเคราะห์ความแปรปรวนทางเดียวเป็นการทดสอบโดยพิจารณาเลือกปัจจัยเพียงปัจจัยเดียวจากหลายๆ ปัจจัยที่มีผลต่อการทดลองมากที่สุด แล้วนำมาทำการทดสอบที่วิธีการทดสอบ (Treatment) ที่ต่างกัน แล้วพิจารณาว่าปัจจัยที่นำมาพิจารณาขึ้นมีผลกระทบต่อการทดลองหรือไม่

ตารางที่ 2.2 การทดลองประเภทวิเคราะห์ปัจจัยเดียว (Experiments with Single Factor)

Treatment	Observations				Total	Average
1	y_{11}	y_{12}	y_{1n}	y_1	y_1
2	y_{21}	y_{22}	y_{2n}	y_2	y_2
:	:	:	:	:	:	:
K	y_{k1}	y_{k2}	y_{kn}	y_k	y_k
					$y..$	$y..$

จากตารางเป็นข้อมูลการทดลองที่มี 1 ปัจจัย ประกอบด้วย k Treatment และ Treatment ประกอบด้วย n Observations

y_{ij} = ค่าสังเกต (Observations) จากวิธีปฏิบัติที่ เต็ออย่างที่ j

y_i = ผลรวมของค่าสังเกต (Observations) ทุกค่าในวิธีปฏิบัติที่ i

y_i = ค่าเฉลี่ยของค่าสังเกต (Observations) ในวิธีปฏิบัติที่ i

$y..$ = ผลรวมของค่าสังเกต (Observations) ทั้งหมดในการทดลอง
การวิเคราะห์ความแปรปรวนสำหรับหนึ่งปัจจัย

1. ตั้งสมมติฐาน

$$H_0: \mu_1 = \mu_2 = \mu_3 = \dots = \mu_k$$

$$H_1: \mu_i \neq \mu_j \text{ อย่างน้อย } 1 \text{ คู่}$$

จากตาราง แสดงข้อมูลการทดลองที่มีปัจจัยสองปัจจัย คือ ปัจจัย A ซึ่งประกอบด้วย k Treatment; ปัจจัย B ซึ่งประกอบด้วย l Treatment แต่ละ Treatment มี n Observations และมีจำนวนข้อมูลทั้งหมด N = kn

y_{ijn} = ค่าสังเกตที่ n จากวิธีปฏิบัติที่ เปปจัย A จากวิธีปฏิบัติที่ j เปปจัย B

$y_{i..}$ = ผลรวมของค่าสังเกต $\bar{y}_{i..}$ ค่าในวิธีปฏิบัติที่ i ปัจจัย A

$y_{j..}$ = ผลรวมของค่าสังเกต $\bar{y}_{j..}$ ค่าในวิธีปฏิบัติที่ j ปัจจัย B

$y_{...}$ = ผลรวมของค่าสังเกตทุกค่า ($N=kln$) ในการทดลอง

การวิเคราะห์ความแปรปรวน 2 ทาง

1. ตั้งสมมติฐาน

$$H_0: (l\beta)_{ij} = 0_k$$

$$H_1: (l\beta)_{ij} \neq 0_k \text{ อย่างน้อย 1 ค่า}$$

2. ความแปรปรวน (Total Sum of Squares: SST)

$$SST = SSA + SSB + SSAB + SSE \quad (2.12)$$

$$SS_T = \sum_{n=1}^N \sum_{j=1}^l \sum_{i=1}^k y_{ijn}^2 - \frac{\bar{y}^2}{N} \quad (2.13)$$

$$SS_A = \sum_{i=1}^k \frac{\bar{y}_{i..}^2}{ln} - \frac{\bar{y}^2}{N} \quad (2.14)$$

โดย

$$SS_B = \sum_{j=1}^l \frac{\bar{y}_{j..}^2}{kn} - \frac{\bar{y}^2}{N} \quad (2.15)$$

$$SS_{\text{subtotal}} = \sum_{j=1}^l \sum_{i=1}^k \frac{y_{ij}^2}{n} - \frac{\bar{y}^2}{N} \quad (2.16)$$

$$SS_{AB} = SS_{\text{subtotal}} - SS_A - SS_B \quad (2.17)$$

$$SS_E = SS_T - SS_A - SS_B - SS_{AB} \quad (2.18)$$

19239613



ตารางที่ 2.5 Two-Way ANOVA

Source	SS	df	MS	Fc ค่าน้ำหนักค่า
A	SS _A	k-1	SS _A /(k-1)	MS _A /MS _E *
B	SS _B	l-1	SS _B /(l-1)	MS _B /MS _E **
Interaction AB	SS _{AB}	(k-1)(l-1)	SS _{AB} /(k-1)(l-1)	MS _{AB} /MS _E ***
Error	SS _E	(kl)(n-1)	SS _E /(kl)(n-1)	
Total	SS _T	N-1		

ถ้า $F^*c > F_{\alpha, k-1, (kl)(n-1)}$ ให้ปฏิเสธ H_0 ยอมรับ H_1

ถ้า $F^{**}c > F_{\alpha, k-1, (kl)(n-1)}$ ให้ปฏิเสธ H_0 ยอมรับ H_1

ถ้า $F^{***}c > F_{\alpha, k-1, (kl)(n-1)}$ ให้ปฏิเสธ H_0 ยอมรับ H_1

ทำการทดสอบที่ระดับนัยสำคัญ 0.05 หรือ ที่ระดับความเชื่อมั่น 95%

2.2 งานวิจัยที่เกี่ยวข้อง

เจน รัตนไพศาล (2007) [1] ได้ศึกษาความต้านทานต่อการสึกกร่อนของชีฟันเทียม PMMA ชนิดต่างๆ การศึกษานี้เปรียบเทียบ ความต้านทานต่อการสึกกร่อน ของชีฟันเทียม PMMA 4 ปีห้อ ที่มีองค์ประกอบต่างกัน ทดสอบความต้านทานการสึก โดยใช้ชีฟันเทียมยี่ห้อเดียวกันเป็นคู่ ทดสอบกับชีฟัน PMMA ที่ถูกเลือกมาใช้ในการทดสอบได้แก่ชีฟันเทียม แบบ PMMA ชนิดเส้น ปีห้อ Major- Dent ปีห้อฟันเทียมแบบโครงสร้างตาข่าย ปีห้อ Turbyte bioform IPN และปีห้อ Excellence IPN ชิ้นตัวอย่างชีฟันเทียมและชิ้นตัวอย่างฟันเทียมคู่สูบจะถูกยึด อยู่ในเครื่องทดสอบการสึก ซึ่งจำลองการสึกออกเป็น 2 องค์ประกอบ ด้วยแรงกดขนาด 2 กิโลกรัม ถูกถูเป็นระยะเวลา 8 มิลลิเมตร ด้วยความถี่ 60 รอบต่อนาที จำนวน 5000 รอบ โดยการทดสอบชิ้นตัวอย่างทั้งสองจะถูกแข็งยูไนฟ์ซึ่งมีการหมุนเวียนด้วยปืนน้ำตลอดการทดสอบ วัดผลการทดสอบ ด้วยการวัดความแข็งของผิวชิ้นตัวอย่าง ชีฟันเทียม PMMA พบว่าปีห้อ Major-Dent สูญเสียปริมาตรหลังการทดสอบการสึกไปมากที่สุด จึงมีความต้านทานต่ำที่สุด ชีฟันเทียม PMMA ปีห้อ Excellence IPN สูญเสียปริมาตรหลังการทดสอบการสึกไปน้อยที่สุด จึงมีค่าความต้านทานสูงสุด เมื่อพิจารณาจากความแข็งผิว

กนกพร ศรีวิชาและ วุฒิชัย มน้อย (2013) [3] ได้ศึกษาวัสดุเสริมแรง 3 ชนิด ได้แก่ อะลูมิเนียมออกไซด์, ซิลิกอนไดออกไซด์และ ไทเทเนียมไดออกไซด์ ต่อความแข็งผิว, ความต้านทานแรงตัดโค้ง และแรงยืดติดเนื่องของ PMMA นอกจากนี้ยังศึกษาการปรับสภาพของผิวด้วยไฮเลนที่จะส่งผลต่อแรงทางกลทั้งสามชนิด โดยการทดลองใช้วิธีแบบบ่มด้วยความร้อน พบว่า อะลูมิเนียมออกไซด์ ที่ 1% มีผลต่อความแข็งของผิวถึง 19.43 HV ที่ 5% ไม่มีผลต่อความแข็งผิว ส่วนซิลิกอนไดออกไซด์ 1% มีผลเรื่องความต้านทานแรงตัดโค้ง แต่ต้องเป็นขนาดนาโนเมตร เนื่องจากโครงสร้างระดับนาโนมีการเรียงตัวกันได้ดีความแข็งจึงสูง แต่ถ้า เติมมากกว่า 1% ค่าความแข็งจะลดลงเนื่องจาก มีการรวมตัวกันสูง นอกจากนี้การแข็งของไฮเลนยังให้ผลดีกว่าการไม่แข็งไฮเลน

S. Hirano (1988) [2] ได้ทำการศึกษาเกี่ยวกับอิทธิพลของน้ำต่อกำลังแรงโค้งของคอมโพสิตเรซิน 3 ชนิดโดยแต่ละชนิดผสมวัสดุอัดแทรกต่างกันคือควรที่ผ่านการปรับสภาพแล้วแบร์เรียมคลาสและชิลิกอนที่มีลักษณะพรุนพบร้าวัสดุอัดแทรกทั้ง 3 ชนิดไม่ได้ช่วยลดอิทธิพลของน้ำต่อกำลังโค้งของคอมโพสิตอย่างมีนัยสำคัญแต่กลับพบว่าอิทธิพลของน้ำอาจมีผลต่อเนื้อคอมโพสิตมากกว่าที่รอยต่อระหว่างอนุภาคของวัสดุอัดแทรกกับเนื้อคอมโพสิตและรอยแทรกที่พบบนอนุภาคของชิลิกอนได้ออกไซด์พรุนเมื่อเชื่อมในน้ำนานน้ำจะบ่งบอกได้ว่าน้ำมีผลต่อวัสดุอัดแทรกชนิดนี้อย่างมาก

L. Bowen (1963) [8] ได้ทำการทดลองเติมผงชิลิกอนได้ออกไซด์ที่ปรับสภาพด้วยไวนิลไซเลนลงในอุกแก่นนิกเพลสิเมอร์ที่ใช้ในทางทันตกรรมพบว่าเพลสิเมอร์ที่ได้มีการสมบูรณ์แบบแล้วกับเนื้อเยื่อแข็งของฟันธรรมชาติมากกว่าเพลสิเมอร์ที่ไม่ได้เติมผงชิลิกอนได้ออกไซด์โดยทำให้ความแข็งการหดตัวและค่าสัมประสิทธิ์การขยายตัวเมื่อมีการเปลี่ยนแปลงอุณหภูมิลดลงและทำให้กำลังแรงกดมอดูลัสเพียบหยุ่นและความต้านทานต่อการเกิดรอยเพิ่มน้ำหนักจากน้ำยังพบว่าการละลายตัวในน้ำน้อยลงเมื่อเทียบกับเพลสิเมอร์ชนิดเดียวกันที่เติมผงชิลิกอนได้ออกไซด์ซึ่งไม่ได้รับการปรับสภาพด้วยไวนิลไซเลน

L. Jagger และคณะ (1985) [9] ได้ทำการศึกษาผลของปริมาณและขนาดของวัสดุอัดแทรกต่อคุณสมบัติของคอมโพสิตโดยเติมวัสดุอัดแทรกแบบเรียนโนโรซิลิกेटที่ทำการปรับสภาพขนาด 2 ไมโครเมตรและ 15 ไมโครเมตรปริมาณต่างๆ กันลงไปในเพลสิเมลีนเพลสิเมทิลเมทาคริเลตเรซินชนิดแข็งตัวด้วยแสงพบว่าการเพิ่มปริมาณวัสดุอัดแทรกมีผลให้เพิ่มความแข็งกำลังแรงอัดความแข็งตึงและลดการดูดซึมน้ำหนักจากน้ำยังพบว่าวัสดุอัดแทรกขนาด 15 ไมโครเมตรสามารถปรับปรุงคุณสมบัติความต้านทานการสึกจากการแปรปั้นได้ดีกว่าขนาด 2 ไมโครเมตรและการเพิ่มปริมาณวัสดุอัดแทรกจะทำให้การสึกลดลง

K. Elizabethb และคณะ (1985) [10] ซึ่งได้ทำการศึกษาอิทธิพลของวัสดุอัดแทรกต่อคุณสมบัติต่างๆ ของวัสดุบูรณะฟันเรซินคอมโพสิตชนิดไมโครฟลัลโดยเติมชิลิกอนได้ออกไซด์ที่ได้รับการปรับสภาพขนาดอนุภาค 20 และ 40 นาโนเมตรในปริมาณต่างๆ พบว่าเมื่อเติมวัสดุอัดแทรกในปริมาณที่เพิ่มน้ำหนักสามารถเพิ่มความลึกของแสงในการปั้นความเสถียรของสีความแข็งกำลังแรงอัดความแข็งตึงขณะที่การดูดซึมน้ำหนักและความต้านทานการสึกจะลดลง

O. brien (1986) [11] ได้ทำการศึกษาถึงผลของการเติมวัสดุอัดแทรกร่วมกับฟลูออเรซเซนท์ที่มีขนาดและรูปร่างต่างกันต่อการกระจายแสงและความแตกต่างของความเงา (Scattering and contrast quloss) ซึ่งใช้เป็นตัวบวกถึงสีและความใสของวัสดุในคอมโพสิตเรซิโน่และหาความสัมพันธ์ของคุณสมบัติทั้งสองกับความชรุรของพื้นผิวคอมโพสิตเรซิโน่โดยเติมผงควรต์ที่มีรูปร่างเป็นเส้นสั้น (Short fiber) และเม็ดเล็กๆ (Granular) ขนาด 1.5-3.3 ไมโครเมตรในปริมาณ 5 ถึง 20 เปอร์เซ็น โดยน้ำหนักพบว่าผงควรต์ที่มีอนุภาคเป็นเม็ดกลมเล็กๆ สามารถลดสะท้อนแสงและทำให้เกิดความเงาได้มากกว่าชนิดเส้นโดยคุณสมบัติทั้งสองนี้จะเพิ่มมากขึ้นเมื่อเพิ่มปริมาณควรต์และขนาดอนุภาคลดลงจากนี้ยังพบว่าความสัมพันธ์ของคุณสมบัติทั้งสองกับความชรุรของพื้นผิวคอมโพสิตเป็นแบบผกผันและเชิงเต็มตรง

R. Calais [1990] [12] ทำการศึกษาเกี่ยวกับความต้านทานต่อการสึกของยื่ห้อพื้น PMMA ซี่ห้อ 6 ยี่ห้อ โคนเป็นพื้น PMMA ชนิดปรับปรุง 3 ยี่ห้อ ได้แก่ ไวโวไซต์ (Vivosite) , เอ็นดูรา(Endura) และดูราเด็นท์ (Duradent) และพื้น PMMA ไม่ปรับปรุง 3 ยี่ห้อ ได้แก่ ไบโอเบลน(Bioblend) , เรียลคราวน์ (Real Crown) , และอะคริลิก ทีท (Acrylic Teeth) ทดสอบการสึกโดยใช้เครื่องแปรรูปพื้นร่วมกับยาสีฟัน พบร่วมกับอะคริลิกเรซิโน่ ปรับปรุงมีการต้านทานต่อการสึกมากกว่าพื้น PMMA ไม่ปรับปรุง 5 เท่า นอกจากนี้พื้น PMMA ความแข็ง 26-36 กิโลกรัมต่อ มิลลิเมตร ซึ่งมีค่าความแข็งผิวของซี่ห้อ PMMA ไม่ปรับปรุงซึ่งมีความแข็งผิว 20 กิโลกรัมต่อ ตารางมิลลิเมตร นอกจากนี้ยังมีการศึกษาการต้านทานการสึกของซี่ห้อ PMMA ชนิดปรับปรุง 3 ยี่ห้อ ได้แก่ เอ็นดูรา (Endura) ดูราเด็นท์ (Duradent) เอสอาร์เบลน์ กับพอร์ชเลน 2 ยี่ห้อได้แก่ ไบโอเอช (Bioache) และ เพลเลทอป 12 (Pallatop12) ของบริษัท แซนกิน ซึ่งทำจากโลหะเจือ ทองผสม แพลเลเดียม และ เจินทดสอบการสึกโดยใช้ เครื่องโตเกียว กิคิเคน (Tokyo Giken) ที่มี แผ่นโลหะเจือทองผสมกับแพลเลเดียม และ เจิน เป็นตัวชัดสึก เมื่อพิจารณาความต้านทานการสึก โดยเปรียบเทียบ ความลึกของการสึก (Wear depth) ที่เกิดขึ้นพบว่า PMMA ชนิดปรับปรุงมี ความต้านทานการสึกมากกว่า พื้น PMMA ที่ไม่ปรับปรุง 4.7 เท่า และมีความต้านทานต่อการสึก น้อยกว่าพอร์ชเลน 0.7 เท่า และมากกว่า พื้นโลหะ 8.3 เท่า เมื่อพิจารณาเปรียบเทียบน้ำหนัก ที่ หายไปหลังการทดสอบการสึก พบร่วม พื้น PMMA ชนิดปรับปรุง มีความต้านทานการกัดมากกว่า PMMA ไม่ปรับปรุง 3.3 เท่า น้อยกว่าพอร์ชเลน 0.2 เท่า และมากกว่าพื้นโลหะ 11.4 เท่า

L. Chen (2004) [13] ศึกษาความสามารถในการต้านทานการสึกในชีพันเที่ยม PMMA 5 ปีห้อ โดยมีชีพันเที่ยมที่เป็นพัน PMMA ปรับปรุง 3 ปีห้อได้แก่ เวอร์ลิลักษ์ (Verilux) , ไบโอฟอร์ม ไอพีเอ็น (Bioform IPN) และอสโทไฮส พีอี (Othosis PE) กับพัน PMMA ชนิดไม่ปรับปรุง 2 ปีห้อ ได้แก่ นูฟอร์ม (Nuform) และ ไบโอฟอร์ม(Bio Form) การทดสอบการสึกจะใช้แปรร่วมกับ ยาสีฟัน โดยใช้แรงกด 154 กรัม บนพันแต่ละชี และใช้ร้อยการแปรร 70 รอบต่อนาที เป็นเวลา 339 ชั่วโมง พบร ว่าพัน PMMA ปรับปรุง มีความสามารถในการต้านทานการสึกน้อยกว่าพัน PMMA ชนิดปรับปรุง

Satoh (1998) [14] ทดสอบเปรียบเทียบความต้านทานการสึก ของพัน PMMA ชนิด ปรับปรุง 5 ปีห้อ ได้แก่ ออโทไทป์ พีอี ทรูเบลท์อสแอลเอ็ม ไบโอโทอน ไอพีเอ็น และ ออโทไฮส กับ เคลือบพัน ธรรมชาติโดยใช้เครื่อง เชอร์วิส ไฮดรอลิก ภายใต้สภาวะช่องปากเที่ยม ใช้แรงกดเฉลี่ย 1.5 ปอนด์ แรงกดสูงสุด 5 ปอนด์ ระยะไถ 0.5 มิลลิเมตร รอบการบด 300,000 รอบ ในน้ำกลั่น อุณหภูมิ 37 องศาเซลเซียส พบร ว่า ชีพัน PMMA มีความต้านทานต่อการสึกจากมากไปน้อยดังนี้ ทรูเบลล์อสแอลเอ็ม, ไบโอฟอร์ม ไอพีเอ็น, ออโทไทป์ พีอี, ไวนาแพน และ ออโทไฮส

S.winkler [1993] [15] ทดสอบการสึกของชีพัน PMMA 4 ปีห้อ เป็น PMMA ชนิด ปรับปรุง 2 ปีห้อ ได้แก่ ชีพัน เมจิอร์ เด้นท์ (Major-Dent) และ ดีบี พลัส (DB Plus) เปรียบเทียบ กับชีพัน เคสัน (Keson) และชีพัน คลาสสิก (Classic) ซึ่งเป็นพัน PMMA ชนิดไม่ปรับปรุง โดยการทดสอบการสึกจะใช้เคลือบพันธรรมชาติ เป็นตัวทดสอบ ซึ่งพบร ว่า ชีพันเที่ยมเรซินชนิด ปรับปรุง มี ความต้านทานต่อการสึกมากกว่าชีพันเที่ยมที่ไม่ปรับปรุง 2 เท่า

W. Douglas [1993] [16] ศึกษาเปรียบเทียบการสึกของพัน PMMA ชีพัน ไอโซซิก เอสอาร์ (Isosite SR) กับไบโอฟอร์ม ไอพีเอ็น (Bioform IPN) ด้วยเครื่องทดสอบการสึก อาร์ อี แอล ของบริษัทแอมตัลลิชิล (REL, abrasiontester, HamptonHill, Middlesex, U.K.) พบร ว่า พัน ไอโซซิก มีความต้านทานการสึกสูงกว่า พันไบโอฟอร์ม ไอพีเอ็น ประมาณ 2 เท่า

Phillips [1998] [17] ได้ทำการศึกษาผลของวัสดุอัดแทรก 4 ชนิดได้แก่ ดินขาวผงแก้ว ชิลิกอนไดออกไซด์และเชอร์โคเนียมไดออกไซด์ต่อคุณสมบัติของ PMMA ที่เสริมความแข็งแรงด้วย เส้นใยพบร ว่า เมื่อปริมาณวัสดุอัดแทรกเพิ่มขึ้นกำลังแรงกระแทกและกำลังแรงโค้งจะลดลงขณะที่ ความแข็งผิวจะเพิ่มขึ้นและชิลิกอนไดออกไซด์ 40 เบอร์เซ็นจะเพิ่มความแข็งผิวได้มาก

Van Frauhofe [1998] [18] ศึกษาความต้านทานการสึกของPMMAที่ปริมาณการเติมต่างๆ ได้แก่ Duradent 42%, Endura 68%, Duracross 47% ภายใต้สภาพะช่องปากเทียมความเร็วรอบ 60 รอบต่อนาที ระยะทาง 2 มิลลิเมตร ชิ้นงานจะถูกแข็งในน้ำกลั่น ที่อุณหภูมิ 37 องศาเซลเซียส ในขณะทดลอง จากนั้นนำไปทดสอบด้วยเครื่องวัดความแข็งผิวน้ำหนักหัวกด 50 กรัม เป็นเวลา 30 วินาที จากนั้นนำไปทดสอบการสูญเสียไปภายในเนื้อฟันด้วย กล้องอิเล็กตรอนแบบส่องกราด (SEM) พบว่า อีห้อ Duradent 42% เป็นปริมาณการเติมที่ต่ำที่สุดมีความต้านทานต่อการสึกต่ำที่สุด

Thomas Storber [2005] [19] ศึกษาพันธะฟันเทียม PMMA / MMA ด้วยวิธีปั๊มด้วยแสงของฐานฟันเทียม และหน้าที่ของตัวทำละลาย โดยในวิธีการทดลองจะมีการปรับสภาพผิวของฟันก่อนการทดลอง ด้วย MMA จากนั้นนำไปบ่มด้วยแสง นำฐานฟันเทียมไปแข็งในน้ำกลั่นเป็นเวลา 24 ชั่วโมง จากนั้นนำมาทดสอบแรงดึงแล้วนำไปส่องด้วยกล้องอิเล็กตรอนแบบส่องกราด (SEM) เพื่อสังเกตพื้นผิวของชิ้นงาน พบว่าในการบ่มด้วยแสง การปรับสภาพพื้นผิวของฐานฟันเทียมและฟันเทียมด้วย MMA มีผลต่อแรงดึง ทำให้พันธะมีความแข็งแรงมากกว่าการปรับสภาพด้วยสารอื่น

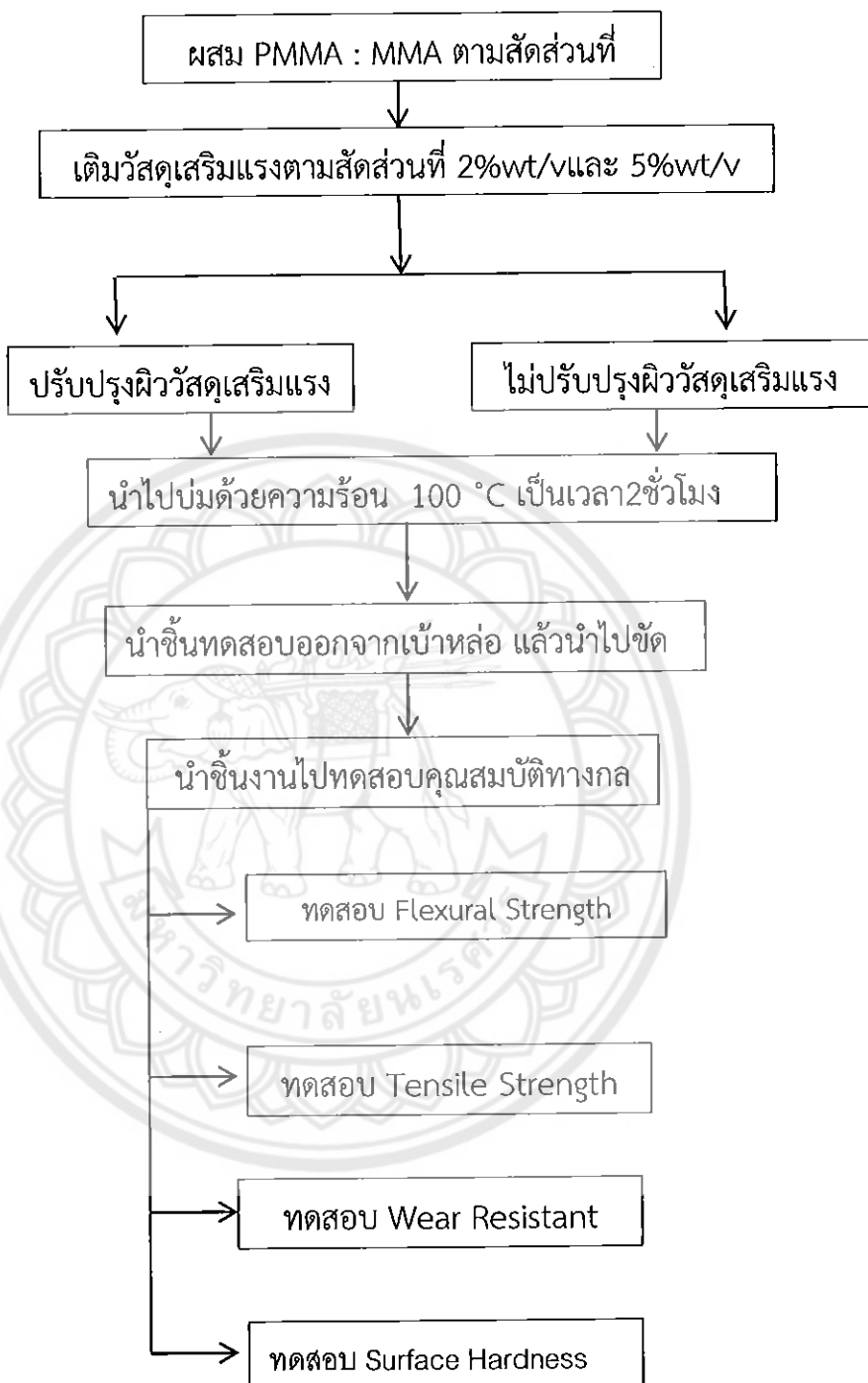
บทที่ 3

วิธีการดำเนินโครงการ

งานวิจัยนี้เป็นการศึกษาผลของปริมาณและสัดส่วนที่เหมาะสมของวัสดุเสริมแรงในพื้นเทียม ชนิดบ่มด้วยความร้อน โดยการเสริมแรงด้วยวัสดุเสริมแรง 2 ชนิด คือ ซิลิกอนไดออกไซด์ ขนาด 15 นาโนเมตร และ 40 ไมโครเมตร และอะลูมิเนียมออกไซด์ ขนาด 40 ไมโครเมตร

ปริมาณของวัสดุเสริมแรงชนิดอะลูมิเนียมออกไซด์และซิลิกอนไดออกไซด์ ที่สัดส่วน 1:1, 1:5, 5:1 ที่เปอร์เซ็นต์การเติมที่ 2%wt/v และ 5%wt/v โดยที่อัตราส่วน 1:1 และ 5:1 เป็นขนาดอนุภาคอะลูมิเนียมออกไซด์และซิลิกอนไดออกไซด์ที่ขนาดอนุภาค 40 ไมโครเมตร : 15 นาโนเมตร และที่ อัตราส่วน 1:5 เป็นขนาดอนุภาคอะลูมิเนียมออกไซด์และซิลิกอนไดออกไซด์ที่ขนาดอนุภาค 40 ไมโครเมตร : 40 ไมโครเมตร และทั้งหมดมีการปรับสภาพด้วย สารคู่ควบประเทท 3-MPS เปรียบเทียบกับปริมาณสัดส่วนการเติมสารตัวเติมในอัตราส่วนและขนาดที่แตกต่างกัน เพื่อศึกษา ความต้านทานแรงดึง (Tensile strength) , ความต้านทานแรงดัดโค้ง (Flexural strength), การสึกกร่อน (Wear resistance) และความแข็งวิกเกอร์ (Vickers hardness test-VHN) ของชิ้นงานทดสอบและจากรูปที่ 3.1 แสดงแผนผังการดำเนินโครงการ

แผนผังการดำเนินงาน



รูปที่ 3.1 รูปแสดงแผนผังการดำเนินโครงการงานงาน

3.1 สารเคมีที่ใช้ในการทดลอง

3.1.1 พอลิเมทธิลเมทาคริเลท (PMMA)

3.1.2 เมทิลเมทาคริเลท (MMA)

3.1.3 ชิลิกอนไดออกไซด์ ขนาด 15 นาโนเมตร และ 40 ไมโครเมตร

3.1.4 อะลูมิเนียมออกไซด์ ขนาด 40 ไมโครเมตร

3.1.5 ไซเลนชนิด 3-MPS

3.1.6 บุนปลาสเตอร์

3.1.7 ปี๊พิงทางทันตกรรม

3.2 อุปกรณ์และเครื่องมือที่ใช้ในการทดลอง

3.2.1 ฟลาสก์โลหะสำหรับทำเบ้าหล่อแบบชิ้นงาน

3.2.2 เครื่องอัดฟลาสก์ไฮดรอกลิก

3.2.3 เครื่องกำจัดปี๊พิง

3.2.4 เครื่องบ่อมะคริลิกด้วยความร้อน

3.2.5 เครื่องขัดผิววัสดุ

3.2.6 เครื่องมือทดสอบสมบัติทางกลแบบเอนกประสงค์ (Universal testing machine)

3.2.7 เครื่องมือทดสอบความเสียกร่อน (Wear-testing machine)

3.3 การเตรียมขั้นงานทดสอบ

3.3.1 เตรียมโมล

3.3.1.1 ตัดชิ้นผึ้งทางทันตกรรมเป็นแม่แบบให้ได้ขนาดที่ต้องการ

3.3.1.2 ผสมปูนพลาสเตอร์กับน้ำ ในปริมาณที่พอเหมาะสม ไม่ข้นหรือเหลว
จนเกินไปเทลงในเบ้าหล่อด้านล่าง

3.3.1.3 นำเบ้าหล่อไปวางบนเครื่องไส้อาหาร จากนั้นนำแม่แบบชิ้นผึ้งทางทันตกร-
รรมวางลงไปบนโมล

3.3.1.4 ผสมปูนพลาสเตอร์กับน้ำเทลงในโมลด้านบนน จากนั้นนำโมลด้านบน
และด้านล่างประยุกต์กันจนสนิท

3.3.1.5 หลังจากปูนพลาสเตอร์แข็งตัวแล้ว นำเบ้าหล่อแบบไปอบด้วยเครื่อง
กำจัดชิ้นที่อุณหภูมิ 95 องศาเซลเซียสให้เหลือแต่โมลเพื่อใช้ในการขึ้นรูปชิ้นงาน

3.3.1.6 ใช้น้ำร้อนทำความสะอาดเบ้าหล่ออีกครั้งเพื่อความสะอาดของโมล

3.1.2 วิธีการเตรียมขั้นงานทดสอบ

3.1.2.1 ผสมพอลิเมทธิลเมทาคริเลตกับเมทธิลเมทาคริเลต ในอัตราส่วน 2:1 โดย
น้ำหนัก

3.1.2.2 นำอะคริลิกที่ผสมเสร็จแล้วฝังลงไปในแบบโมลที่เตรียมไว้แล้วนำอัดด้วย
เครื่องอัดพลาสติก ไฮโดรลิกที่ 100 bar

3.1.2.3 นำไปบ่มในน้ำร้อนที่อุณหภูมิ 100 องศาเซลเซียส ต่อเนื่องเป็นเวลา 2
ชั่วโมง

3.1.3.4 นำชิ้นทดสอบที่บ่มเสร็จเรียบร้อยออกจากเบ้าหล่อแบบไปขัดด้วย
เครื่องขัดชิ้นงานแบบจานหมุนเพื่อให้ได้ชิ้นงานขนาดมาตรฐานในแต่ละ
การทดสอบ

3.4 การทดสอบสมบัติเชิงกลของชิ้นงาน

3.4.1 การทดสอบการต้านทานแรงดึง (Tensile tester)

นำชิ้นงานแต่ละกลุ่มมาทำการทดสอบแรงดึง ด้วยเครื่องมือทดสอบสมบัติทางกลแบบเอนกประสงค์ (Universal testing machine) ด้วยโหลดเซลล์ขนาด 10 กิโลนิวตัน และความเร็วหัวดึง 0.05 มิลลิเมตรต่อนาที ชิ้นงานจะถูกดึงจนกระแทกชิ้นงานขาดออก จากกันจำนวนตัวอย่างที่ใช้ในการทดสอบจัดเป็นกลุ่มกลุ่มละ 3 ชิ้น

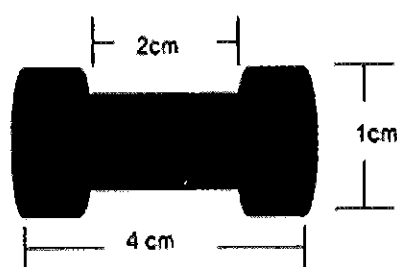
ก.อุปกรณ์ที่ใช้ในการทดสอบการต้านทานแรงดึง



รูปที่ 3.2 เครื่องทดสอบสมบัติการต้านทานแรงดึง

(คณะวิศวกรรมศาสตร์ มหาวิทยาลัยนเรศวร)

ข. ขนาดของชิ้นทดสอบ



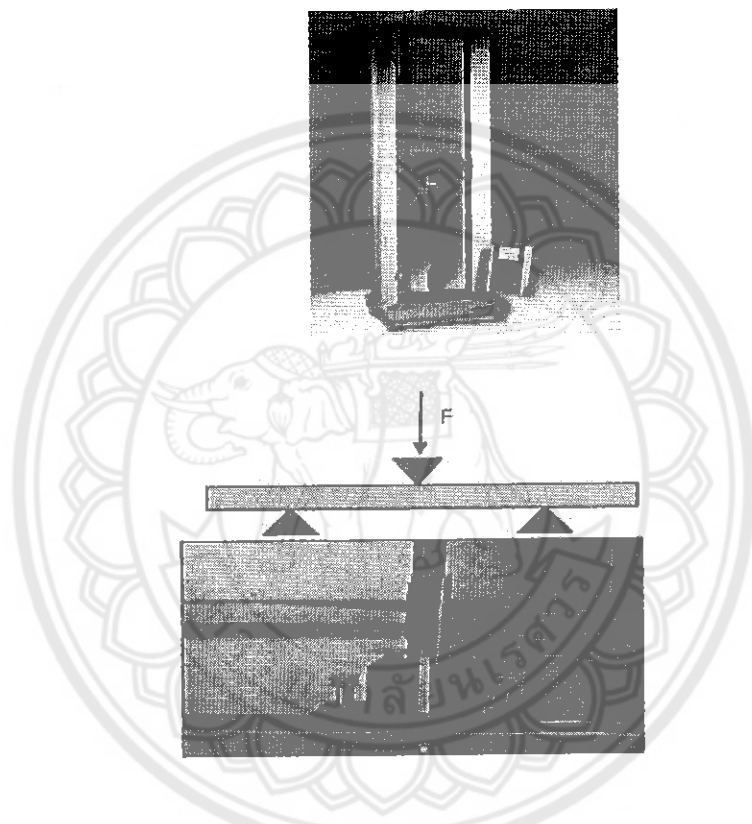
รูปที่ 3.3 ขนาดของชิ้นงานตัวอย่าง

3.4.2 การทดสอบการต้านทานแรงดึงด็อก (Flexural strength tester)

การต้านทานแรงดึงด็อก (Flexural strength) เพื่อศึกษาพัฒนาระบบที่เปลี่ยนรูปร่างของวัสดุเมื่อได้รับแรงกด ด้วยเครื่องมือทดสอบสมบัติทางกลแบบเอนกประสงค์ (Universal testing machine) ด้วยโหลดเซลล์ขนาด 5 กิโลนิวตัน จำนวนชิ้นทดสอบจัดเป็นกลุ่ม กลุ่มละ 3 ชิ้น

ก. อุปกรณ์ที่ใช้ในการทดสอบ

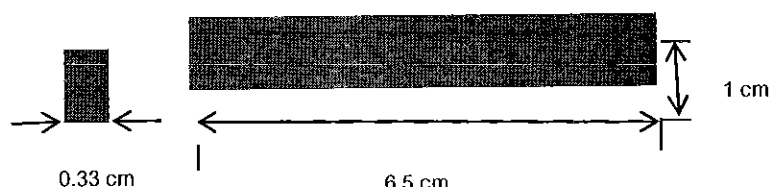
เครื่องทดสอบสมบัติการต้านทานแรงดึงด็อก



รูปที่ 3.4 การทดสอบการต้านทานแรงดึงด็อก

(คณะวิศวกรรมศาสตร์ มหาวิทยาลัยนเรศวร)

ข. ขนาดชิ้นทดสอบ



รูปที่ 3.5 ขนาดชิ้นงานทดสอบ

3.4.3 การทดสอบการต้านทานการสึกกร่อน (Wear resistance tester)

ในการทดสอบการสึกกร่อนเพื่อศึกษาการเปลี่ยนแปลงพื้นผิวของพื้นจากการถูกขัดถู โดยการนำชิ้นงานแต่ละกลุ่มมาทดสอบการสึกกร่อนพื้นด้วยเครื่องทดสอบการสึกกร่อน ด้วยแรงกดคงที่ขนาด 10 กิโลนิวตัน ด้วยความถี่ 3000 รอบต่อนาที โดยขณะทดสอบการสึกซึ้นตัวอย่างทั้งสองจะถูกแซ่บอยู่ในน้ำซึ่งมีการหมุนเวียน ด้วยปั๊มน้ำตลอดการทดสอบ วัดผลความด้านทานที่ต้องการสึกจากการหาน้ำหนักของชิ้นพื้นปลอมที่หายไปหลังการทดสอบการสึก จากนั้นนำไปซึ่งน้ำหนักหนักที่หายไป จำนวนชิ้นทดสอบกลุ่มละ 3 ชิ้น ดังรูปที่ 3.5



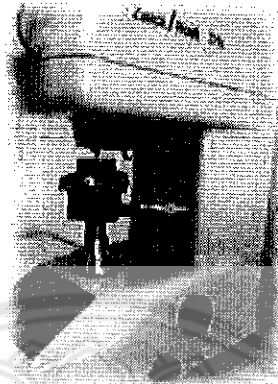
รูปที่ 3.6 ขนาดชิ้นงานทดสอบตามมาตรฐาน ISO 1567-1999

3.4.4 การทดสอบสมบัติความแข็งผิว (Surface hardness tester)

สมบัติความแข็งผิว (Surface hardness) เพื่อศึกษาความแข็งผิวโดยใช้เครื่องวัดความแข็งผิววิกเกอร์รุ่น MXT 70 (Vicker hardness tester) เป็นการทดสอบโดยให้แรงกดลงบนชิ้นทดสอบ กดชิ้นทดสอบด้วยหัวกดวิกเกอร์ (Vicker's indenter) ด้วยแรงกดและเวลาใช้ค่าตามมาตรฐานของเครื่องทดสอบ จำนวนตัวอย่างที่ใช้ในการทดสอบกลุ่มละ 3 ชิ้น

อุปกรณ์ที่ใช้ในการทดสอบสมบัติความแข็งผิว

- ก. เครื่องมือที่ใช้ในการทดสอบสมบัติความแข็งผิวแบบจุลภาค (Micro hardness tester)



รูปที่ 3.7 เครื่องทดสอบความแข็งผิวและชิ้นงานที่รับการทดสอบ

(คณะทันตแพทยศาสตร์มหาวิทยาลัยนเรศวร)

ข.ชิ้นทดสอบรูปทรงกรอบ



รูปที่ 3.8 ชิ้นงานที่นำไปทดสอบความแข็ง

บทที่ 4

ผลการทดลองและการวิเคราะห์

งานวิจัยนี้ได้ศึกษาผลของการเติมวัสดุเสริมแรงหั้งหมด 2 ชนิด (ซิลิกอนไดออกไซด์ 15 นาโนเมตร ซิลิกอนไดออกไซด์ 40 ไมโครเมตร และอลูมิเนียมออกไซด์ 40 ไมโครเมตร) ในวัสดุชีฟินเที่ยมพอลิเมทิลเมทาคริเลตชนิดปูมตัวด้วยความร้อน โดยแบ่งการวิเคราะห์ผลออกเป็น 4 ตอน ได้แก่

ตอนที่ 1 ศึกษาผลการทดสอบสมบัติการต้านทานแรงดัดโค้ง

ตอนที่ 2 ศึกษาผลการทดสอบสมบัติความแข็งแรงดึง

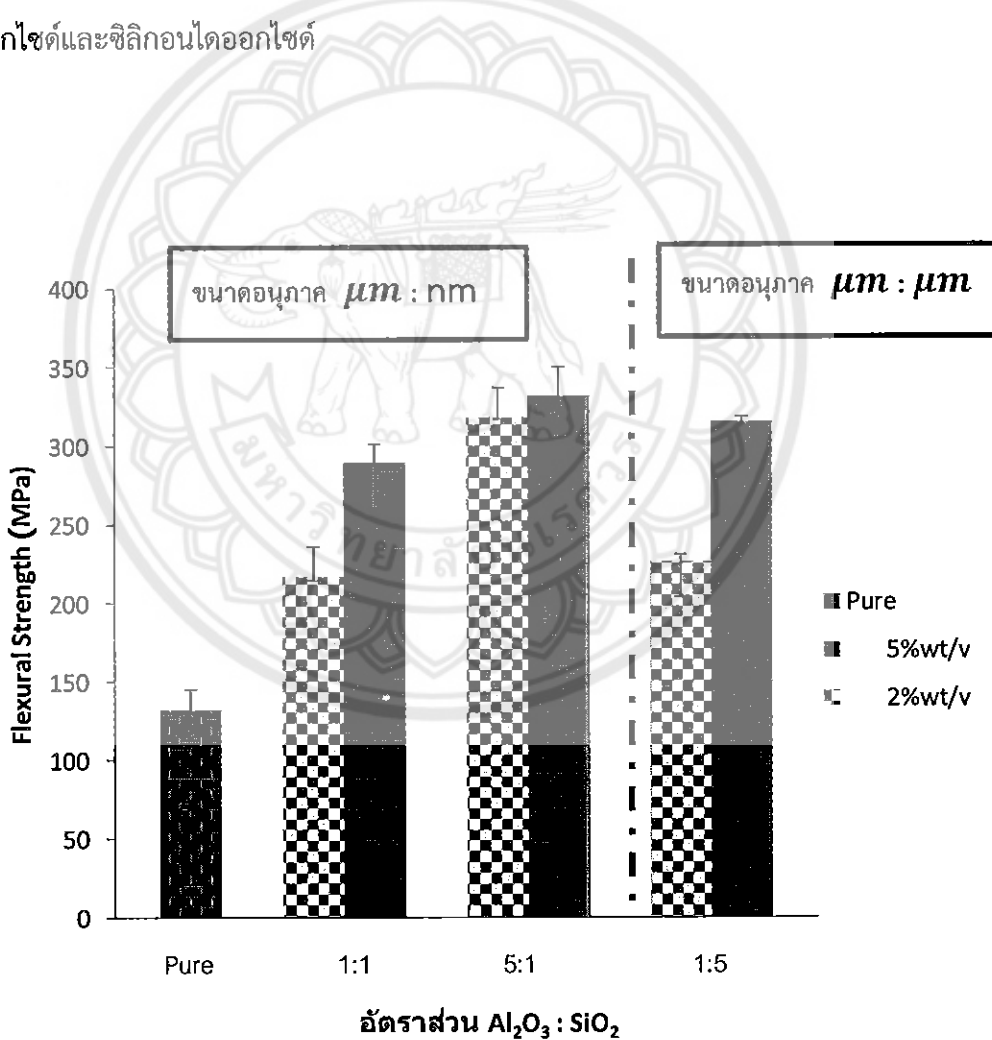
ตอนที่ 3 ศึกษาผลการทดสอบสมบัติการต้านทานแรงสึกกร่อน

ตอนที่ 4 ศึกษาผลการทดสอบสมบัติความแข็ง

โดยทั้ง 4 ตอนที่กล่าวมา จะมีลำดับขั้นตอนการนำเสนอต่อไปนี้ คือ ลำดับแรกจะนำเสนอการวิเคราะห์ผลของการเติมน้ำยาเสริมแรงในวัสดุชีฟินเที่ยมอะคริลิกที่นำวัสดุสองชนิดซึ่งได้แก่อลูมิเนียมออกไซด์และซิลิกอนไดออกไซด์มาเป็นวัสดุเสริมแรงที่ปริมาณการเติมที่สามอัตราส่วน 1:1 , 1:5 , 5:1 โดยที่อัตราส่วนที่ทำการทดลองที่ 1:1 และ 5:1 ที่ร้อยละการเติม 2%wt/v และ 5%wt/v ตามลำดับเป็นผลการการเติมน้ำยาของอนุภาค 40 ไมโครเมตร : 15 นาโนเมตร และที่อัตราส่วนที่ทำการทดลองที่ 1:5 ที่ร้อยละการเติม 2%wt/v และ 5%wt/v ตามลำดับเป็นผลการการเติมน้ำยาของอนุภาค 40 ไมโครเมตร : 40 ไมโครเมตร ลำดับที่สองคือการศึกษาผลของขนาดวัสดุเสริมแรงที่ อัตราส่วนทั้งสามชนิด และ ลำดับสุดท้ายศึกษาผลของการปรับสภาพผิวของวัสดุเสริมแรงด้วยไข่เลนที่มีผลต่อสมบัติ เชิงกลของวัสดุชีฟินเที่ยมอะคริลิกที่อัตราส่วนและร้อยละการเติมวัสดุเสริมแรงหั้งสามชนิด โดยมีรายละเอียดผลการทดลองและการวิเคราะห์ผลการทดลองมีดังนี้

4.1 ผลการทดสอบสมบัติการต้านทานแรงดัดโค้ง

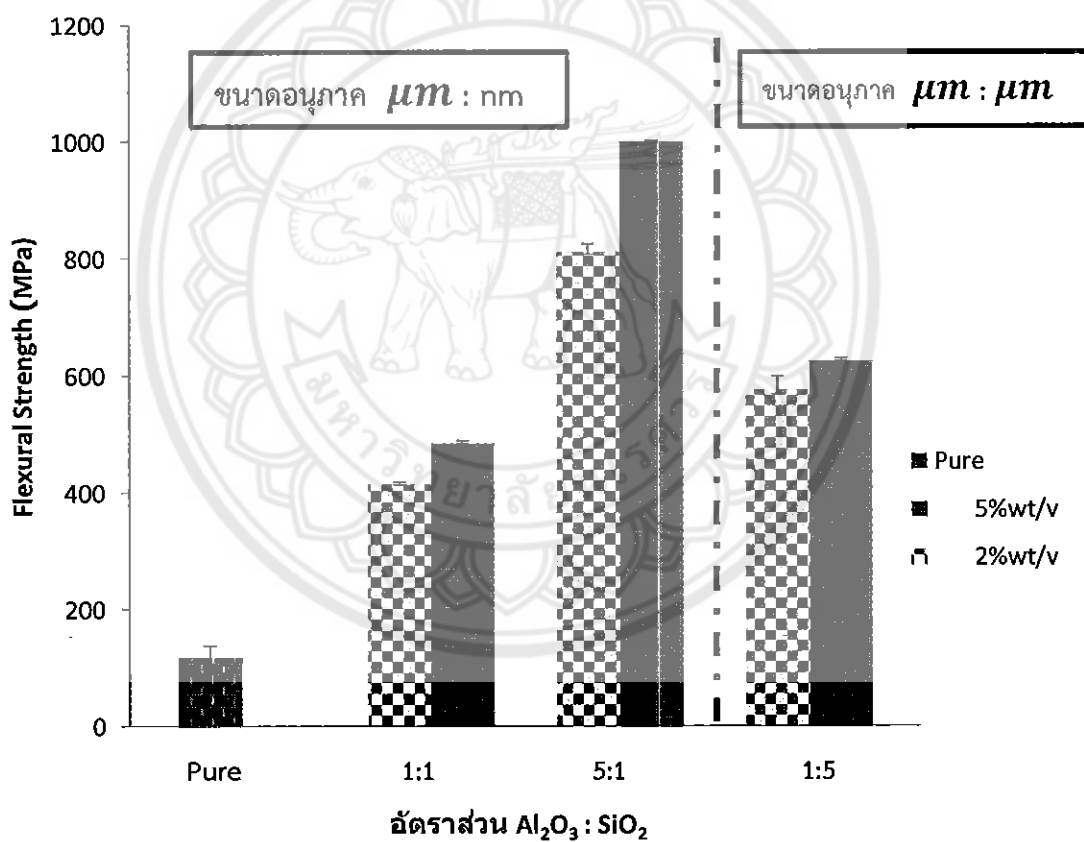
4.1.1 ผลการทดสอบแรงดัดโค้ง (Flexural strength) เปรียบเทียบระหว่างผลการเติมปริมาณอลูมิเนียม ออกไซด์ต่อชิลิกอนไดออกไซด์ที่อัตราส่วนการเติม 1:1, 1:5 และ 5:1 ที่ร้อยละการเติม 2%wt/V และ 5%wt/V ตามลำดับ โดยที่อัตราส่วนที่ทำการทดลองที่ 1:1 และ 5:1 ที่ร้อยละการเติม 2%wt/V และ 5%wt/V ตามลำดับเป็นผลการการเติมขนาดของอนุภาค 40 ไมโครเมตร : 15นาโนเมตร และที่อัตราส่วนที่ทำการทดลองที่ 1:5 ที่ร้อยละการเติม 2%wt/V และ 5%wt/V ตามลำดับเป็นผลการการเติมขนาดของอนุภาค 40 ไมโครเมตร : 40 ไมโครเมตร ชนิดที่ไม่ปรับปรุงผิวด้วยไฮเลน และ PMMA บริสุทธิ์ ที่ไม่ได้ผสมอลูมิเนียม ออกไซด์และชิลิกอนไดออกไซด์



รูปที่ 4.1.1 แผนภูมิแสดงผลของปริมาณวัสดุเสริมแรงในวัสดุซีฟันเทียนอะคริลิกที่อัตราส่วนระหว่างอะลูมิเนียมออกไซด์ต่อชิลิกอนไดออกไซด์ที่มีผลต่อสมบัติการต้านทานแรงดัดโค้งที่ร้อยละการเติมที่ 2% และ 5% ชนิดไม่ปรับปรุงผิววัสดุสารตัวเติม

รูปที่ 4.1.1 แสดงผลของปริมาณการเติมวัสดุเสริมแรงต่อค่าการด้านทานแรงดัดโค้งที่ไม่ได้ปรับปรุงผิวด้วยไขเลนพบว่าเมื่อมีการเติมวัสดุเสริมแรงสองชนิดที่อัตราส่วนต่างๆ ทำให้ค่าการด้านทานแรงดัดโค้งเพิ่มขึ้นอย่างมีนัยสำคัญที่ 0.05 เมื่อเปรียบเทียบกับตัวพอลิเมอร์บริสุทธิ์ที่ซึ่ฟันเที่ยมอะคริลิกที่ไม่ได้มีการเติมวัสดุเสริมแรงทั้งสองชนิด และเมื่อพิจารณาที่ปริมาณการเติมวัสดุเสริมแรงทั้งสอง ที่อัตราส่วน 5:1 ที่ 5%wt/v พบว่าค่าการด้านทานแรงดัดโค้งเฉลี่ยสูงที่สุดเท่ากับ 342.94 MPa โดยสามารถอธิบายได้บนพื้นฐานของความแตกต่างของขนาดของอนุภาคของสารตัวเติม อะลูมิเนียมออกไซด์ขนาดไมโครเมตรและชิลิกอนไดออกไซด์ที่มีทั้งขนาดไมโครเมตร และ นาโนเมตร ซึ่งขนาดของสารตัวเติมมีผลต่อการจับตัวกันระหว่างสารตัวเติม และพอลิเมอร์เมทริกซ์ อนุภาคที่มีขนาดเล็กจะดับนานไมโครเมตรมีปริมาณพื้นที่ผิวสัมผัสกับพอลิเมอร์เมทริกซ์ได้มากกว่าอนุภาคไมโครเมตร ปริมาณการเติมและสัดส่วนในการเติมนั้นมีผลต่อค่าความด้านทานแรงดัดโค้ง จากงานวิจัยก่อนหน้า กนกพร ศรีวิชา และ วุฒิชัย มน้อย (2013) [3] พบว่า อะลูมิเนียมออกไซด์ ที่ 5%wt/v มีผลต่อความแข็งของผิวสูงที่สุด แต่เมื่อเติมที่ปริมาณการเติมที่สูงกว่านั้นจะส่งผลให้ค่าความด้านทานแรงดัดโค้งลดลง ซึ่งสามารถอธิบายได้บนพื้นฐานของความเข้ากันได้ระหว่างพอลิเมอร์เมทริกซ์และสารตัวเติมโดยเมื่อพิจารณาจากสูตร โครงสร้างและคุณสมบัติเฉพาะตัวของสารตัวเติมพบว่าอะลูมิเนียมออกไซด์เข้ากันได้ดีกับพอลิเมอร์เมทริกซ์มากกว่าชิลิกอนไดออกไซด์ ซึ่งเป็นผลมาจากการลักษณะโครงสร้างของสารที่ต่างกัน พันธะที่เกาะกันของสารตัวเติมหรือแม้กระทั่งจำนวนอะตอมของธาตุชนิดเดียวกันที่ไม่เท่ากันในโครงสร้างสารนั้น ซึ่งจากรูปที่ 2.2 แสดงให้เห็นถึงโครงสร้างของชิลิกอนไดออกไซด์ และรูปที่ 2.3 แสดงให้เห็นถึงโครงสร้างของอะลูมิเนียมออกไซด์ความแตกต่างระหว่างโครงสร้างมีผลทำให้สารตัวเติมทั้งสองชนิดมีความเข้ากันได้กับพอลิเมอร์เมทริกซ์ที่ไม่เท่ากัน โดยอะลูมิเนียมออกไซด์จะมีความว่องไวในการทำปฏิกิริยากับพอลิเมอร์เมทริกซ์มากกว่าเนื่องจากในโครงสร้างนั้นมีพันธะคู่ (double bond) ในขณะที่ชิลิกอนไดออกไซด์โครงสร้างเป็นพันธะเดียว (single bond) ซึ่งพันธะคู่ของอะลูมิเนียมออกไซด์จะเข้าทำปฏิกิริยากับหมุกการบอนลิของพอลิเมอร์ เมทริกซ์ได้อย่างดี และนอกจากนั้นอะลูมิเนียมออกไซด์ยังมีจำนวนของธาตุออกซิเจนมากกว่าทำให้เกิดแรงดึงดูดธาตุไออกไซเดจেนที่พอลิเมอร์เมทริกซ์ได้มากกว่า ดังนั้นปริมาณการเติมและสัดส่วนของอะลูมิเนียมออกไซด์ที่เติมมากกว่าจะส่งผลให้ค่าความด้านทานแรงดัดโค้งสูง

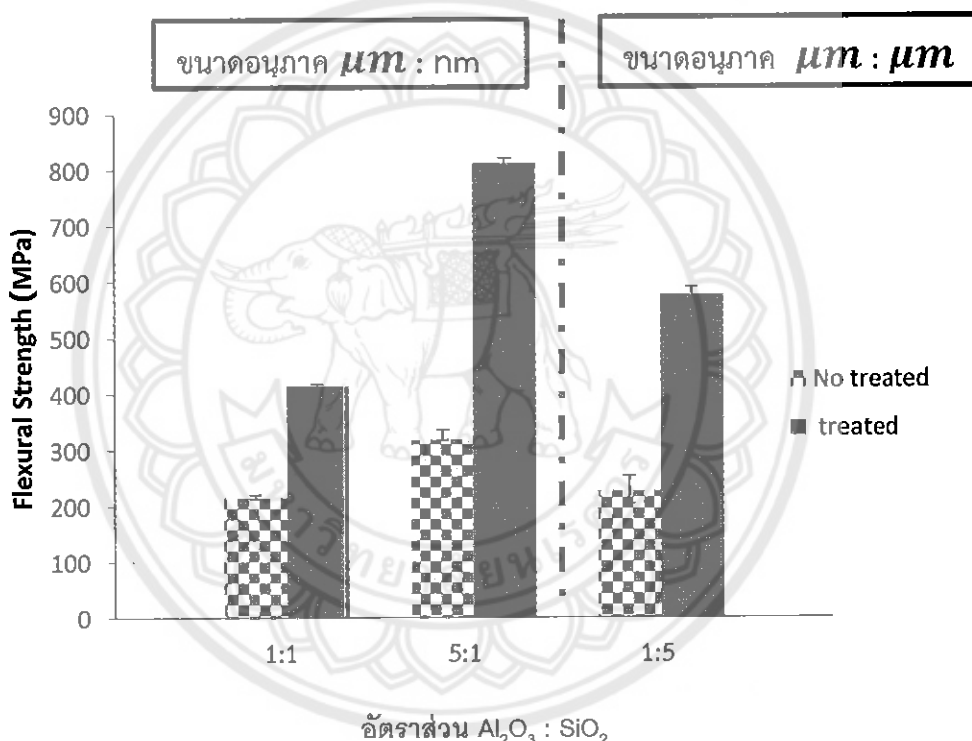
4.1.2 ผลการทดสอบแรงดัดโค้ง (Flexural strength) เปรียบเทียบระหว่างผลการเติม อะลูมิเนียมออกไซด์และซิลิกอนไดออกไซด์ที่อัตราส่วนการเติม 1:1, 1:5 และ 5:1 ที่ร้อยละ การเติม 2%wt/v และ 5%wt/v ตามลำดับ โดยที่อัตราส่วนที่ทำการทดลองที่ 1:1 และ 5:1 ที่ร้อยละการเติม 2%wt/v และ 5%wt/v ตามลำดับเป็นผลการการเติมขนาดของอนุภาค 40 ไมโครเมตร : 15 นาโนเมตร และที่อัตราส่วนที่ทำการทดลองที่ 1:5 ที่ร้อยละการเติม 2%wt/v และ 5%wt/v ตามลำดับเป็นผลการการเติมขนาดของอนุภาค 40 ไมโครเมตร : 40 ไมโครเมตร ชนิดที่ปรับปรุงผิวด้วย ไซเลน 3-MPS และ PMMA เมื่อเทียบกับ PMMA ที่ไม่ใส่สารตัวเติม



รูปที่ 4.1.2 แผนภูมิแสดงผลของปริมาณการเติมวัสดุเสริมแรงในวัสดุซีพีนเทียน อะคริลิกที่อัตราส่วนระหว่างอะลูมิเนียมออกไซด์ต่อซิลิกอนไดออกไซด์ที่มีผลต่อต่อสมบัติ การต้านทานแรงดัดโค้งที่ร้อยละการเติมที่ 2% และ 5% ชนิดปรับปรุงผิววัสดุสารตัวเติม

จากรูปที่ 4.1.2 แสดงผลของปริมาณการเติมวัสดุเสริมแรงต่อค่าการต้านทานแรงดัดโค้งที่ปรับปรุงผิวด้วยไชเลนพบว่าเมื่อมีการเติมวัสดุเสริมแรงสองชนิดที่อัตราส่วนต่างๆ ทำให้ค่าการต้านทานแรงดัดโค้งเพิ่มขึ้นอย่างมีนัยสำคัญที่ 0.05 และเมื่อพิจารณาที่ปริมาณการเติมวัสดุเสริมแรงทั้งสองที่อัตราส่วน 5:1 5%wt/v พบร่วมค่าการต้านทานแรงดัดโค้งเฉลี่ยสูงที่สุดเท่ากับ 1035.94 MPa อัตราส่วนการเติมวัสดุเสริมแรงที่ 5:1 5%wt/v มีการเติมอัลูมิเนียมออกไซด์มากที่สุดซึ่งส่งผลต่อความสามารถแรงดัดโค้งที่มากที่สุดจากผลการสรุปในกราฟที่ 4.1.1 และเมื่อเปรียบเทียบกับวัสดุที่ไม่ได้ปรับปรุงผิวด้วยไชเลน ซึ่งเป็นผลมาจากการจับตัวกันได้ดีของสารตัวเติมและพอลิเมอร์เมทริกซ์จากการภาพผลการทดลองนี้แสดงให้เห็นว่าการปรับปรุงผิวของวัสดุด้วยไชเลนมีอิทธิพลต่อคุณสมบัติเชิงกลของวัสดุนั้นและที่สัดส่วนการเติมที่ 5%wt/v พบร่วมค่าแรงดัดโค้งเพิ่มมากที่สุดเนื่องมาจากสารคู่ควบคุมที่ไชเลน 3-MPS ทำหน้าที่เป็นสะพานเชื่อมระหว่างพอลิเมอร์เมทริกซ์และสารตัวเติมให้เกิดการจับตัวกันได้ดียิ่งขึ้น ซึ่งสามารถอธิบายได้บนพื้นฐานของสารปรับผิวสารตัวเติมหรือไชเลนชนิด 3-MPS ที่เข้าทำปฏิกิริยากับอัลูมิเนียมออกไซด์ได้ดีกว่าซิลิกอนไดออกไซด์หรือราดเร็วว่าเมื่อเติมสารทั้งสองชนิดพร้อมกัน เนื่องมาจากอัลูมิเนียมออกไซด์เป็นพันธะคู่ที่ไม่อิ่มตัวจะมีความว่างไวในการดึงดูดไไฮโดรเจนจากพอลิเมอร์เมทริกซ์และสารตัวเติมได้ดีกว่าซิลิกอนไดออกไซด์ นอกจากนี้ขนาดของสารตัวเติมก็ส่งผลต่อค่าการต้านทานแรงดัดโค้งอีกด้วย โดยจากการวิจัยก่อนหน้า กนกพร ศรีวิชา และวุฒิชัย มน้อย (2013) [3] พบร่วม อะลูมิเนียมออกไซด์ ที่ 1% มีผลต่อความแข็งของผิวมากขึ้น ส่วนซิลิกอนไดออกไซด์ 1% มีผลเรื่องความต้านทานแรงดัดโค้ง แต่ต้องเป็นขนาดนาโนเมตรหากเติมมากกว่า 1% จะส่งผลให้ค่าความต้านทานแรงดัดโค้งลดลง ในขณะเดียวกันพอลิเมอร์บริสุทธิ์ที่ไม่ได้มีการเติมสารตัวเติมพบว่ามีค่าการต้านทานแรงดัดโค้งได้น้อยที่สุดและนั้นก็แสดงให้เห็นว่าการเติมสารตัวเติมและปรับผิววัสดุสารตัวเติมมีอิทธิพลต่อค่าความต้านทานแรงดัดโค้งเมื่อเปรียบเทียบกับกราฟที่ 4.1.1 และ 4.1.2

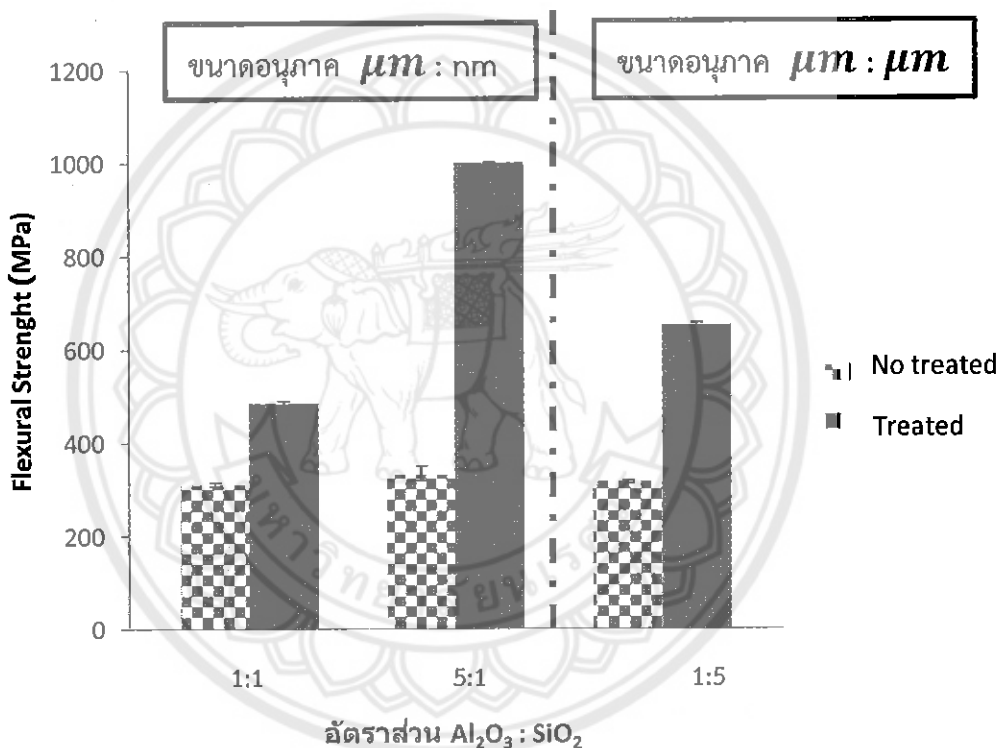
4.1.3 ผลการทดสอบแรงดัดโค้ง (Flexural strength) เปรียบเทียบระหว่างผลการเติมอลูมิเนียมออกไซด์และซิลิกอนไดออกไซด์ที่อัตราส่วนการเติม 1:1, 1:5 และ 5:1 ที่ร้อยละการเติม 2%wt/v โดยที่อัตราส่วนที่ทำการทดลองที่ 1:1 และ 5:1 ที่ร้อยละการเติม 2%wt/v เป็นผลการการเติมขนาดของอนุภาค 40 ไมโครเมตร : 15 นาโนเมตรและที่อัตราส่วนที่ทำการทดลองที่ 1:5 ที่ร้อยละการเติม 2%wt/v เป็นผลการการเติมขนาดของอนุภาค 40 ไมโครเมตร: 40 ไมโครเมตร ชนิดที่ปรับปรุงผิวและไม่ได้ปรับปรุงผิวด้วย ไฮเลนชนิด 3-MPS



รูปที่ 4.1.3 แผนภูมิแสดงผลการทดลองเปรียบเทียบทองอัตราส่วนระหว่างอะลูมิเนียมออกไซด์ต่อซิลิกอนไดออกไซด์ที่มีผลต่อต่อสมบัติการต้านทานแรงดัดโค้งระหว่างชนิดปรับปรุงผิววัสดุสารตัวเติมด้วยไฮเลนและไม่ปรับปรุงผิว ที่ร้อยละการเติมที่ 2%

จากรูปที่ 4.1.3 แสดงผลของปริมาณการเติมวัสดุเสริมแรงต่อค่าการต้านทานแรงตัด โดยที่ปรับปรุงผิวและไม่ได้ปรับปรุงผิวด้วยไซเลนพบว่าค่าแรงต้านทานการตัดโค้งมีค่าเพิ่มขึ้นอย่างนัยสำคัญที่ 0.05 โดยจะเห็นได้ว่าที่อัตราส่วน 5:1 2%wt/v ชนิดปรับปรุงผิวด้วยไซเลน 3-MPS มีค่ามากที่สุดเนื่องจากคุณสมบัติของไซเลนที่ใช้ในการปรับปรุงผิวของวัสดุ ซิลิกอนไดออกไซด์และอลูมิเนียมออกไซด์ทั้งนี้เป็นผลมาจากการที่หมู่อัลคิลจะเข้าทำปฏิกิริยา กับพอลิเมอร์เป็นพันธะโค瓦เลนต์ระหว่างสารคุ้กวนกับพอลิเมอร์โดยทั้งนี้จะทำให้พิลเลอร์มีแรงยึดติดกับพอลิเมอร์เมทริกซ์ได้ดีดังนั้นจะทำให้การปรับปรุงคุณสมบัติของ พอลิเมอร์โดย การเติมสารตัวเติมและสารตัวเติมนั้นมีการกระจายตัวยึดเกาะกับพอลิเมอร์ได้ดีแล้วจะช่วยให้มี คุณสมบัติทางกลที่ดีขึ้น ซึ่งอนุภาคขนาดนาโนเมตรเป็นอนุภาคขนาดเล็กจึงมีพื้นที่ของการยึดเกาะกับพอลิเมอร์เมทริกซ์ได้มากขึ้น รวมทั้งความว่องไวในการทำปฏิกิริยาของอลูมิเนียม ออกไซด์ที่เป็นพันธุ์คู่จะยึดจับทั้งสารปรับผิวและพอลิเมอร์เมทริกซ์ได้ดีเข่นกัน อีกทั้งการ ปรับปรุงผิวด้วยไซเลนยังส่งผลให้สารตัวเติมไม่จับตัวกันอยู่เป็นกลุ่มและยึดติดกับพอลิเมอร์เมทริกซ์ได้ยิ่งขึ้น โดยจากการวิจัยของ K.Hirech และคณะ [2007] ได้ทดลองการกระจายตัว และการยึดจับกันระหว่างสารตัวเติมขนาดนาโนเมตรและไมโครเมตรพบว่าขนาดนาโนเมตรมี การกระจายตัวที่ต่ำแต่มีปรับปรุงผิวด้วยไซเลนแล้วพบว่ามีการกระจายตัวที่ดีขึ้น และ เช่นเดียวกับงานวิจัยก่อนหน้า กนกพร ศรีวิชา และ วุฒิชัย manusay (2013) [3] พบว่า ซิลิกอนไดออกไซด์ 1% มีผลเรื่องความต้านทานแรงตัดโค้ง ในขณะเดียวกันจะเห็นได้ว่าที่ อัตราส่วน 1:1 2%wt/v ชนิดไม่ปรับปรุงผิววัสดุเสริมแรงมีค่าความต้านทานแรงตัดโค้งที่ต่ำที่สุดนั้นเป็นผลเนื่องมาจากการเติมอลูมิเนียมที่น้อยกว่า 5:1 และประกอบกับความ ว่องไวของซิลิกอนไดออกไซด์และการยึดจับตัวพอลิเมอร์เมทริกซ์ที่ด้อยกว่าอลูมิเนียมออกไซด์ รวมไปถึงปริมาณอัตราส่วนการเติมก็มีผลที่เห็นได้อย่างเด่นชัด ซึ่งสามารถอ้างอิงได้จาก งานวิจัยก่อนหน้ากนกพร ศรีวิชา และ วุฒิชัย manusay (2013) [3] พบว่า อะลูมิเนียม ซิลิกอนไดออกไซด์ 1%wt/v มีผลเรื่องความต้านทานแรงตัดโค้ง แต่ต้องเป็นขนาดนาโนเมตร หากมีการเติมสูงกว่า 1%wt/v จะทำให้มีผลแรงตัดโค้งที่ลดลง

4.1.4 ผลการทดสอบแรงดัดโค้ง (Flexural strength) เปรียบเทียบระหว่างผลการเติมอลูมิเนียมออกไซด์และซิลิกอนไดออกไซด์ที่อัตราส่วนการเติม 1:1, 1:5 และ 5:1 ที่ร้อยละการเติม 5%wt/v โดยที่อัตราส่วนที่ทำการทดลองที่ 1:1 และ 5:1 ที่ร้อยละการเติม 5%wt/v เป็นผลการการเติมขนาดของอนุภาค 40 ไมโครเมตร : 15นาโนเมตร และที่อัตราส่วนที่ทำการทดลองที่ 1:5 ที่ร้อยละการเติม 5%wt/v เป็นผลการการเติมขนาดของอนุภาค 40 ไมโครเมตร ชนิดที่ปรับปรุงผิวและไม่ได้ปรับปรุงผิวด้วยไฮเลนชนิด 3-MPS :

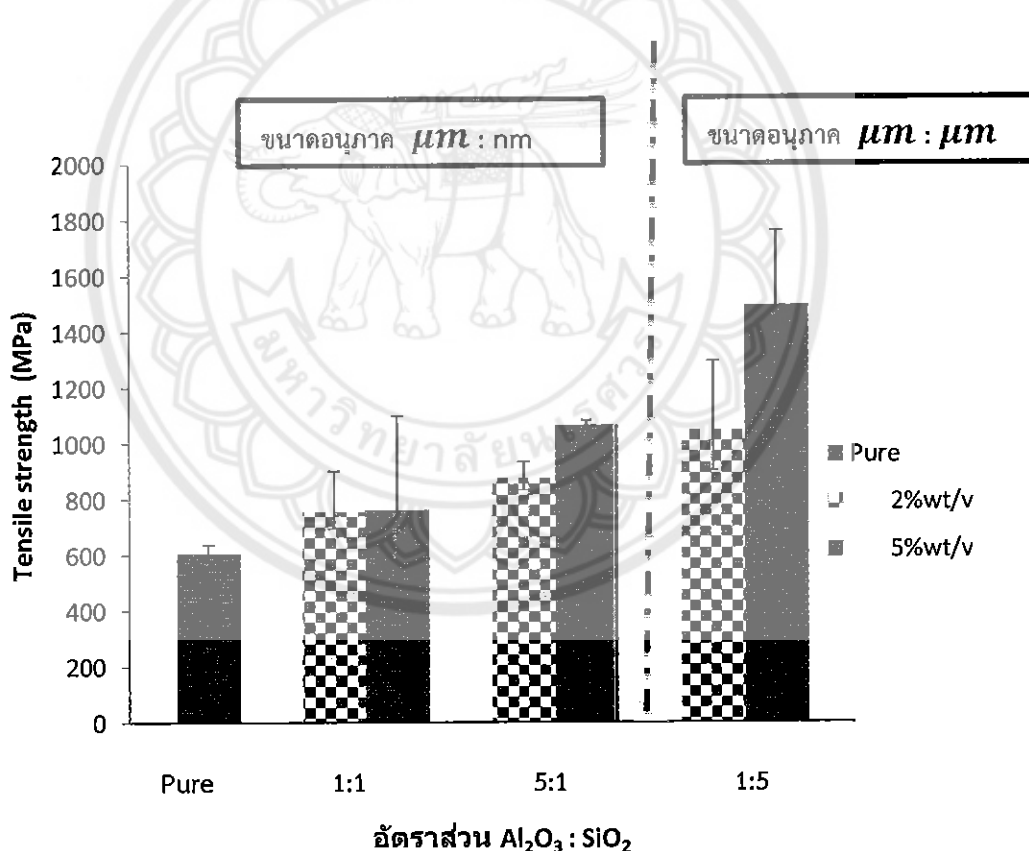


รูปที่ 4.1.4 แผนภูมิแสดงผลการทดลองเปรียบเทียบของอัตราส่วนระหว่างอะลูมิเนียมออกไซด์ต่อซิลิกอนไดออกไซด์ที่มีผลต่อตัวสมบัติการต้านทานแรงดัดโค้งระหว่างชนิดปรับปรุงผิววัสดุสารตัวเติมด้วยไฮเลนและไม่ปรับปรุงผิว ที่ร้อยละการเติมที่ 5%

จากรูปที่ 4.1.4 แสดงผลของปริมาณการเติมวัสดุเสริมแรงต่อค่าการต้านทานแรงดัดโค้งที่ปรับปรุงผิวและไม่ได้ปรับปรุงผิวด้วยไซเลนพบว่าค่าแรงต้านทานการดัดโค้งมีค่าเพิ่มขึ้นอย่างนัยสำคัญที่ 0.05 โดยจะเห็นได้ว่าท่ออัตราส่วน 5:1 5%wt/v ชนิดปรับปรุงผิวด้วยไซเลนมีค่ามากที่สุดเช่นเดียวกับท่ออัตราส่วน 2%wt/v ในกราฟแสดงผลที่ 4.1.3 และเนื่องจากคุณสมบัติเดียวกันของ ไซเลนที่ใช้ในการปรับปรุงผิวของวัสดุชิลิกอนได้ออกไซด์และอลูมิเนียมออกไซด์การปรับปรุงคุณสมบัติของพอลิเมอร์โดยการเติมพีลเลอร์และถ้าพีลเลอร์นั้นมีการกระจายตัวยึดเกาะกับพอลิเมอร์ได้ดีแล้วจะช่วยให้มีคุณสมบัติทางกลที่ดีขึ้นจากที่กล่าวมาในกราฟที่ 4.1.3 แต่พบว่าในขณะที่เพิ่มอัตราส่วนมากขึ้นถึง 5% ผลที่ได้มีค่าของแรงดัดโค้งได้ถึง 1035.94 Mpa นั่นหมายถึงคุณสมบัติที่ได้ดีเด่นของของสารเติมทั้งสองชนิดนั้นคือชิลิกอนได้ออกไซด์และอลูมิเนียมออกไซด์เช่นชิลอกอนได้ออกไซด์มีคุณสมบัติที่ได้ดีเด่นในเรื่องของความแข็งแกร่งและอลูมิเนียมออกไซด์มีเสถียรรูปทางเคมีที่สูงจากนั้นขาดของอนุภาคและการกระจายตัวก็ยังคงมีผลเช่นกัน และอ้างจากงานวิจัยก่อนหน้าเช่นเดียวกับงานวิจัยก่อนหน้า กนกพร ศรีวิชา และคณะ (2013) [3] ที่ได้กล่าวไปแล้วในกราฟแสดงผลก่อนหน้ากราฟที่ 4.1.3 และนั้นก็หมายถึงการยึดจับกันได้ดีระหว่างพอลิเมอร์เมทริกซ์และสารตัวเติมที่ดีของขนาดอนุภาคนาโนเมตรในพอลิเมอร์นั้นเองและเช่นเดียวกับงานวิจัยของ L.Bowen (1963) [8] ได้ทำการทดลองเติมผงชิลิกอนได้ออกไซด์ที่ปรับสภาพด้วยไวนิลไซเลนลงในօแกนนิกพอลิเมอร์ที่ใช้ในทางทันตกรรมพบว่าพอลิเมอร์ที่ได้มีกายสมบัติใกล้เคียงกับเนื้อเยื่อแข็งของฟันธรรมชาติมากกว่าพอลิเมอร์ที่ไม่ได้เติมผงชิลิกอนได้ออกไซด์โดยทำให้ความแข็งการหดตัวและค่าสัมประสิทธิ์การขยายตัวเมื่อมีการเปลี่ยนแปลงอุณหภูมิลดลงและทำให้กำลังแรงกดมอคูลัสสีดหยุ่นและความต้านทานต่อการเกิดรอยเพิ่มขึ้น และจากการทดลองนี้เราจะเห็นได้ว่า เมื่อเพิ่มปริมาณของการเติมวัสดุสารตัวเติมทำให้ประสิทธิภาพเพิ่มมากขึ้นโดยมีความต้านทานการดัดโค้งที่สูงขึ้นซึ่งสามารถอธิบายได้บนพื้นฐานของความเข้ากันได้ดีระหว่างสารตัวเติมพอลิเมอร์เมทริกซ์และไซเลนชนิด 3-MPS โดยที่ปริมาณของการเติมอลูมิเนียมออกไซด์ที่มากกว่า ยังให้ผลที่ดีกว่าซึ่งหมายถึงอลูมิเนียม-ออกไซด์จำนวนมากกว่าซึ่งมีการทำปฏิกิริยากับสารตัวเติมและพอลิเมอร์เมทริกซ์ได้มากกว่าและเกิดพันธะทางเคมีที่แข็งแรงกว่า

4.2 ผลการทดสอบสมบัติการต้านทานแรงดึง

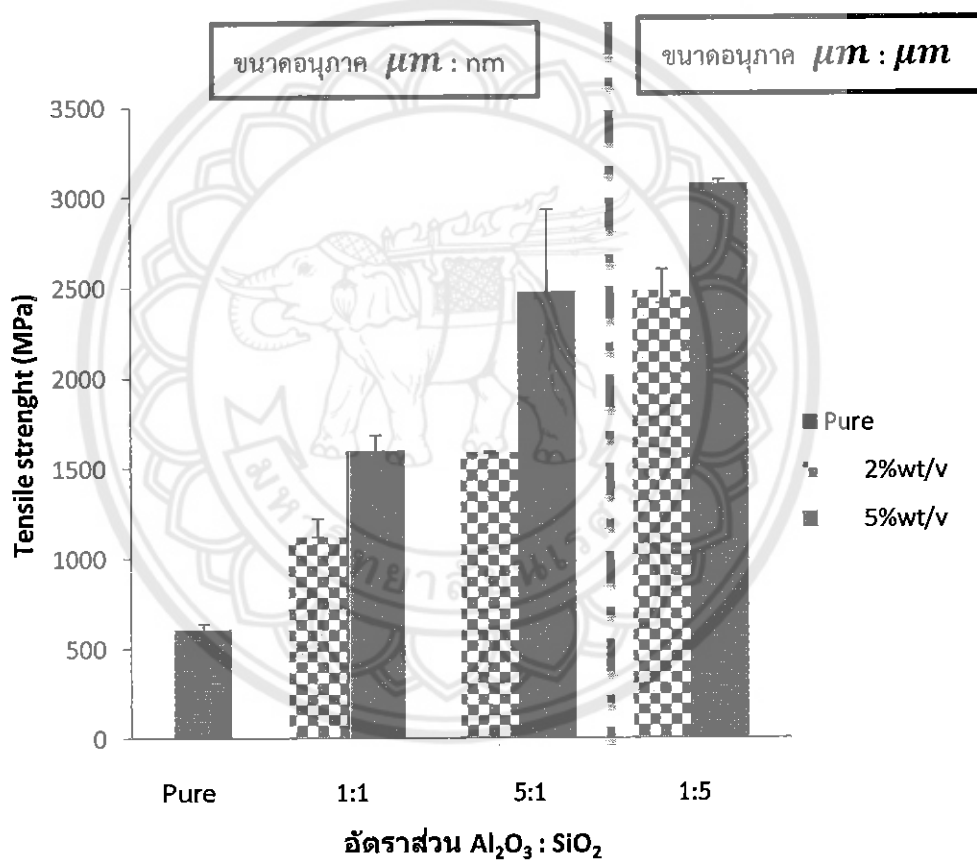
4.2.1 ผลการทดสอบแรงดึง (Tensile strength) เปรียบเทียบระหว่างผลการเติมอลูมิเนียมออกไซด์ต่อซิลิกอนไดออกไซด์ที่อัตราส่วนการเติม 1:1, 1:5 และ 5:1 ที่ร้อยละการเติม 2%wt/v และ 5%wt/v ตามลำดับโดยที่อัตราส่วนที่ทำการทดลองที่ 1:1 และ 5:1 ที่ร้อยละการเติม 2%wt/v และ 5%wt/v ตามลำดับเป็นผลการการเติมขนาดของอนุภาค 40 ไมโครเมตร : 15 นาโนเมตร และที่อัตราส่วนที่ทำการทดลองที่ 1:5 ที่ร้อยละการเติม 2%wt/v และ 5%wt/v ตามลำดับเป็นผลการการเติมขนาดของอนุภาค 40 ไมโครเมตร : 40 ไมโครเมตร ชนิดที่ไม่ปรับปรุงผิวด้วยไฮเลน 3-MPS



รูปที่ 4.2.1 แผนภูมิแสดงผลของปริมาณการเติมวัสดุเสริมแรงในวัสดุชี้ฟัน เพื่ym อัตราส่วนระหว่างอะลูมิเนียมออกไซด์ต่อซิลิกอนไดออกไซด์ที่มีผลต่อ ต่อต่อสมบัติการต้านทานแรงดึงที่ร้อยละการเติมที่ 2% และ 5% ชนิดไม่ปรับปรุงผิว วัสดุสารตัวเติม

จากรูปที่ 4.2.1 พบว่าค่าความต้านทานแรงดึงระหว่างอัตราส่วนที่ 1:1 , 1:5 และ 5:1 ที่ไม่ปรับปรุงผิวพบว่าปริมาณการเติมมีผลต่อค่าความต้านทานแรงดึง โดยเมื่อเทียบกับสัดส่วนของซีฟันเทียนที่ไม่มีการเติมซิลิกอนไดออกไซด์และอะลูมิเนียมออกไซด์ พบร่วาที่ทุกอัตราส่วน 1:1 , 1:5 และ 5:1 ที่การเติมที่ 2%wt/v และ 5%wt/v พบว่ามีค่าสูงกว่าซีฟันที่ไม่ได้มีการเติมซิลิกอนไดออกไซด์และอะลูมิเนียมออกไซด์ (Pure PMMA) เนื่องมาจากคุณสมบัติเฉพาะตัวของซิลิกอนไดออกไซด์ที่มีความสามารถในการเพิ่มคุณสมบัติทางกลไม่ว่าจะเป็นความแข็งแรงดึง ความต้านทานการฉีกขาด มอดูลัส และความแข็งผิว ทำให้รับแรงได้มากขึ้น อีกทั้งสามารถเพิ่มคุณสมบัติการทนความร้อนได้ดี ซึ่งจะช่วยยืดอายุการใช้งานของวัสดุซีฟันเทียนพอลิเมทธิล เมทาคริเลท โดยจากการวิจัยก่อนหน้าของ ผู้ช่วยศาสตราจารย์ ดร.รัตนวรรธน์ mgr พันธุ์ ได้ทำการเติมวัสดุเสริมแรงชนิด ยางคอมพาวด์ผสมเข้ามาด้วยซิลิกอนไดออกไซด์ พบร่วาที่เติมด้วยซิลิกอนไดออกไซด์ เมื่อนำไปทดสอบสมบัติทางกลโดยมีปริมาณการเติมไม่ถึง 10 phr ก็สามารถแสดงค่าความแข็งแรงดึงเทียบเท่ากับยางคอมพาวด์ที่เติมเข้ามาด้วย 20 phr สูงกว่า 90% ทั้งนี้ต้อง คำนึงถึงปริมาณการเติมที่เหมาะสมถ้าเติมปริมาณของอนุภาคขนาดนาโน เมตรมากเกินไปจะทำให้วัสดุซีฟันเทียนเกิดความแข็งประจำและง่ายต่อการแตกหัก จากงานวิจัยของวีรยา วรพันธ์และคณะ [5] ได้ทดสอบแรงดึงในวัสดุซีฟันเทียนพอลิเมทธิลเมทาคริเลทที่ผสมด้วยซิลิกอนไดออกไซด์และถ้าลองที่ปรับปรุงผิวด้วยไชเลนชนิด SiO_2 มีความสามารถต้านทานแรงดึงและค่าความต้านทานการฉีกขาดสูงถึง 25 เมกะปาสกาล และผลจากการทดสอบในงานวิจัยนี้พบว่าที่อัตราส่วน 1:5 ที่ 5%wt/v มีค่าความแข็งแรงดึงมากที่สุดโดยสามารถอธิบายได้บนพื้นฐานของการรับแรงของชิ้นงาน การดึงนี้ทำให้ไม่เลกุลของพอลิเมอร์เรียงตัวตามแนวทิศทางของการดึงทำให้เกิดความแข็งแรงดึง โดยที่นำไปถ้าพอลิเมอร์ที่มีน้ำหนักไม่เลกุลสูงจะมีค่าความยืดตัวมากและเนื่องจากงานวิจัยนี้มีการเติมสารตัวเติมทั้งสองชนิดนั้นคือซิลิกอนไดออกไซด์และอะลูมิเนียมออกไซด์ ซึ่งสารทั้งสองชนิดนี้จะเข้าทำปฏิกิริยากับพอลิเมอร์เมทริกซ์และด้วยคุณสมบัติความแข็งประจำของวัสดุตัวเติมอะลูมิเนียมออกไซด์เมื่อเติมในปริมาณที่มากจะส่งผลให้ค่าความแข็งแรงดึงลดลง เพราะอนุภาคของอะลูมิเนียมออกไซด์มีความแข็งมากกว่าซิลิกอนไดออกไซด์ จึงทำให้การเสียรูปจากแรงทางกลทำได้ยากกว่า และเนื่องจากความไร้ระเบียบของอัตโนมัติในสารอนุภาคของซิลิกอนไดออกไซด์นั้นส่งผลให้ยืดเกราะกับพอลิเมอร์เมทริกซ์ได้ดีและมีความแข็งแกร่งที่มากกว่าอะลูมิเนียมออกไซด์ตั้งนั้นจึงส่งผลให้ปริมาณการเติม 1:5 ที่ 5%wt/v มีค่าความต้านทานแรงดึงที่สูงสุด

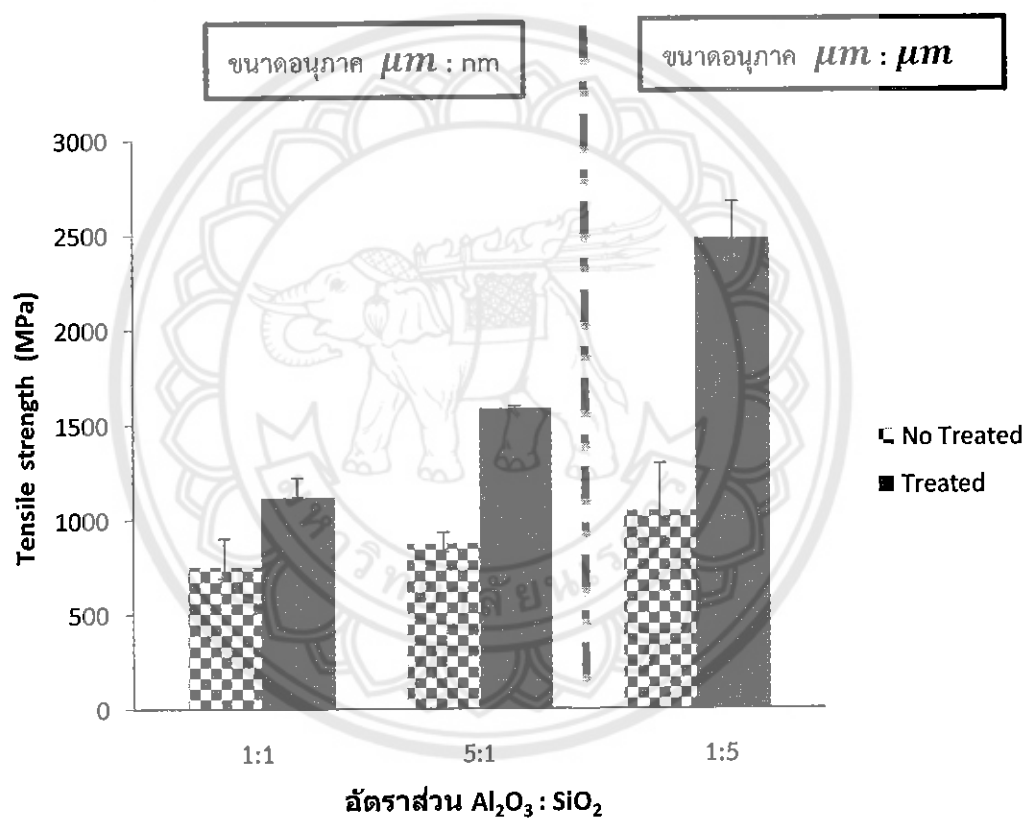
4.2.2 ผลการทดสอบแรงดึง (Tensile strength) เปรียบเทียบระหว่างผลการเติมอัลูมิเนียมออกไซด์และซิลิกอนไดออกไซด์ที่อัตราส่วนการเติม 1:1, 1:5 และ 5:1 ที่ร้อยละการเติม 2%wt/v และ 5%wt/v ตามลำดับโดยที่อัตราส่วนที่ทำการทดลองที่ 1:1 และ 5:1 ที่ร้อยละการเติม 2%wt/v และ 5%wt/v ตามลำดับเป็นผลการการเติมขนาดของอนุภาค 40 ไมโครเมตร : 15นาโนเมตร และที่อัตราส่วนที่ทำการทดลองที่ 1:5 ที่ร้อยละการเติม 2%wt/v และ 5%wt/v ตามลำดับเป็นผลการการเติมขนาดของอนุภาค 40 ไมโครเมตร : 40 นาโนเมตร ชนิดที่ปรับปรุงผิวด้วยไฮเลน3-MPS



รูปที่ 4.2.2 แผนภูมิแสดงผลของปริมาณการเติมวัสดุเสริมแรงในวัสดุพื้นเทียนอะคริลิกที่อัตราส่วนระหว่างอัลูมิเนียมออกไซด์ต่อซิลิกอนไดออกไซด์ที่มีผลต่อต่อสมบัติการต้านทานแรงดึงที่ร้อยละการเติมที่ 2% และ 5% ชนิดปรับปรุงผิววัสดุสารตัวเติม

จากรูปที่ 4.2.2 ผลการทดสอบแรงดึงเบรียบเทียบระหว่างผลการเติมอะลูมิเนียมออกไซด์ และซิลิกอนไดออกไซด์ที่อัตราส่วนการเติม 1:1 , 1:5 และ 5:1 ที่เปอร์เซ็นต์การเติม 2%wt/v และ 5%wt/v ตามลำดับ ชนิดที่ปรับปรุงผิว ด้วยไซเลน พบร่วมกับอัตราส่วน 1:5 ที่ 2%wt/v และ 5%wt/v มีความต้านทานแรงดึงสูงกว่าอัตราส่วน 1:1 และ 5:1 จากราฟ จะพบว่าที่สัดส่วนการเติมของซิลิกอนไดออกไซด์ที่ปรับปรุงผิวด้วยไซเลนแล้วมีผลต่อค่าความต้านทานแรงดึงซึ่งสามารถลดอัตราได้บนพื้นฐานของการเข้ากันได้ระหว่างสารปรับผิว วัสดุเสริมแรง และพอลิเมอร์เมทริกซ์ นั่นหมายความว่าหน่วยค่ารับอนิลในสารสูตรโครงสร้างของสารปรับผิวหรือไซเลนชนิด 3-MPS เข้าทำปฏิกิริยากับซิลิกอนไดออกไซด์ได้ดีกว่าอะลูมิเนียมออกไซด์เนื่องมาจากการเติมที่มากกว่าส่งผลทำให้มีการยึดเกาะที่ดี เมว่าการอัลูมิเนียมออกไซด์จะจับตัวกับสารตัวเติมได้ดีกว่าเมื่อพิจารณาจากสูตรโครงสร้างของสารตัวเติมทั้งสองชนิด แต่เนื่องด้วยข้อจำกัดที่เติมในปริมาณของอะลูมิเนียมออกไซด์ที่น้อยกว่าจึงทำให้ส่งผลน้อยกว่าการเติมซิลิกอนไดออกไซด์ที่ขนาดเดียวกัน แต่เมื่อเติมปริมาณของซิลิกอนไดออกไซด์ขนาดนาโน ส่งผลให้ค่าความแข็งแรงดึงลดลงกว่าปริมาณที่เติมด้วยขนาดไมโครเมตร เนื่องจากปริมาณของซิลิกอนไดออกไซด์ขนาดนาโน มีขนาดเล็กกว่าขนาดไมโคร เมื่อปรับปรุงผิว ก็จะเกิดการจับตัวกันได้มากกว่าซิลิกอนไดออกไซด์ขนาดไมโครเมตร เมื่อเติมซิลิกอนไดออกไซด์ขนาดนาโนเมตรมากเกินไปทำให้เกิดการขัดขวางการยึดระหว่างซิลิกอนไดออกไซด์กับพอลิเมอร์เมทริกซ์อีกทั้งยังทำให้วัสดุซึ่งพื้นเทียมมีความแข็งเพิ่มมากขึ้น และนอกจากนั้นแล้วการยึดจับตัวกันได้เป็นอย่างดีด้วยพันธะทางเคมีที่ดีของอะลูมิเนียมออกไซด์ที่ขนาด 5:1 ที่ 5%wt/v ทำให้ผลของการรับแรงทางการการต้านทานแรงดึงนั้นทำได้ยากกว่าเนื่องจากมีพันธะทางเคมีที่แข็งแรงและแตกหักยากกว่าซึ่งเป็นผลมาจากการยึดจับตัวที่ระหว่างพอลิเมอร์เมทริกซ์วัสดุสารตัวเติมและสารปรับผิวของวัสดุสารตัวเติม

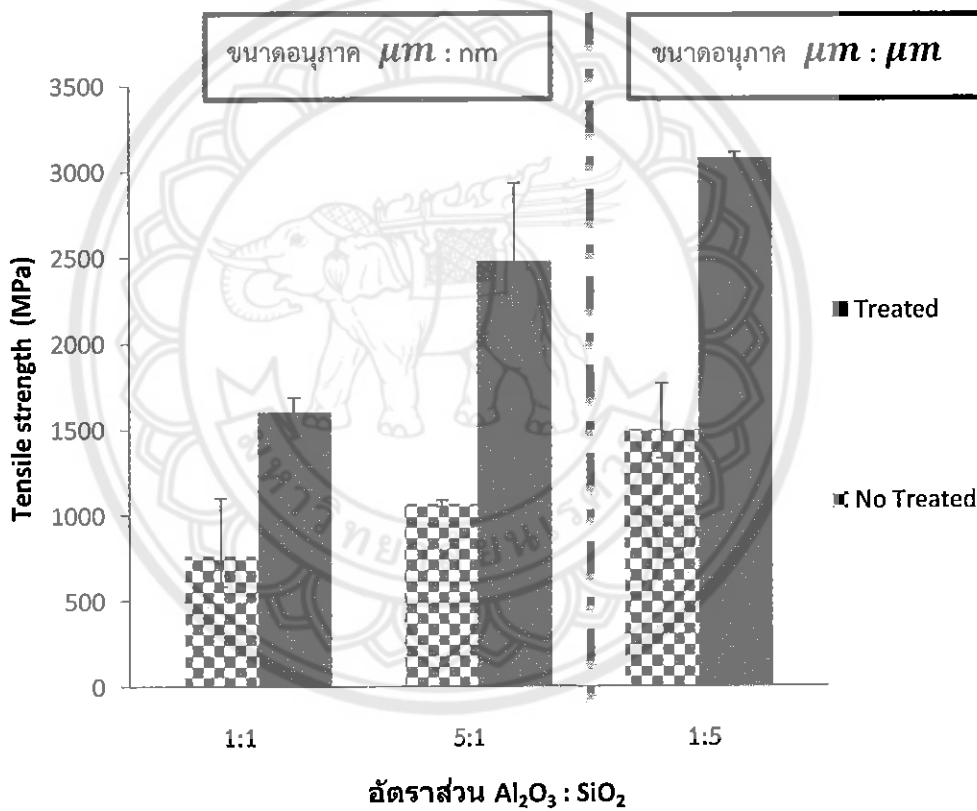
4.2.3 ผลการทดสอบแรงดึง (Tensile strength) เปรียบเทียบระหว่างผลการเติมอัลูมิเนียมออกไซด์ต่อชิลิกอนไดออกไซด์ที่อัตราส่วนการเติม 1:1 , 1:5 และ 5:1 ที่ร้อยละการเติม 2%wt/v โดยที่อัตราส่วนที่ทำการทดลองที่ 1:1 และ 5:1 ที่ร้อยละการเติม 2%wt/v เป็นผลการการเติมขนาดของอนุภาค 40 ไมโครเมตร : 15 นาโนเมตร และที่อัตราส่วนที่ทำการทดลองที่ 1:5 ที่ร้อยละการเติม 2%wt/v เป็นผลการการเติมขนาดของอนุภาค 40 ไมโครเมตร : 40 นาโนเมตร ชนิดที่ปรับปรุงผิวและไม่ได้ปรับปรุงผิวด้วย ไซเลนเซนิต 3-MPS



รูปที่ 4.2.3 แผนภูมิแสดงผลการทดลองเปรียบเทียบของอัตราส่วนระหว่างอะลูมิเนียมออกไซด์ต่อชิลิกอนไดออกไซด์ที่มีผลต่อต่อสมบัติการต้านทานแรงดึงระหว่างชนิดปรับปรุงผิววัสดุสารตัวเติมด้วยไซเลนและไม่ปรับปรุงผิว ที่ร้อยละการเติมที่ 2%

จากรูปที่ 4.2.3 ผลการทดสอบแรงดึง (Tensile Strength) เปรียบเทียบระหว่างผลการเติมอะลูมิเนียมออกไซด์ต่อชิลิกอนไดออกไซด์ที่อัตราส่วนการเติม 1:1, 1:5 และ 5:1 ที่เปอร์เซ็นต์การเติม 2%wt/v ชนิดที่ปรับปรุงผิวและไม่ได้ปรับปรุงผิวด้วย ไซเลนซินิต 3-MPS ปริมาณการเติมที่ 2%wt/v ที่อัตราส่วน 1:5 ที่ปรับปรุงผิวด้วยไซเลน มีค่าความต้านทานแรงดึงสูงกว่าอัตราส่วน 1:1 และ 5:1 ทั้งนี้เนื่องจากปริมาณการเติมมีผลต่อค่าแรงดึงโดยอัตราส่วนระหว่างอะลูมิเนียมออกไซด์และชิลิกอนไดออกไซด์ ที่ 1:5 ที่ปริมาณการเติมที่ 2%wt/v ที่ปริมาณการเติมของชิลิกอนไดออกไซด์ขนาดไมโครที่ปริมาณมากกว่าอะลูมิเนียมออกไซด์ขนาดไมโคร ทำให้ทราบว่าปริมาณของชิลิกอนไดออกไซด์มีผลต่อค่าความแข็งแรงดึง เนื่องจากการปรับปรุงผิวของสารตัวเติมทำให้เกิดการจับตัวกันได้ระหว่างพอลิเมอร์เมทริกซ์และสารตัวเติมนอกจากนั้น ปริมาณการเติมสารตัวเติมก็มีผล เนื่องจากปริมาณของพื้นที่ผิวของอนุภาคขนาด nano มีพื้นที่ผิวมาก ในปริมาณสารปรับปรุงผิวเท่ากันจะเคลือบผิวของอนุภาคขนาดไมโครได้ครอบคลุมมากกว่า ในขณะที่ nano พื้นที่ผิวมากและยังมีความสามารถในการจับตัวกันเป็นก้อน ทำให้สารปรับผิวอาจเคลือบได้ไม่ทั่วถึง ซึ่งต้องมีการหัวรีท์ทำให้สารเคลือบผิวสามารถปรับผิวให้ดีขึ้นในอนาคต เมื่อเทียบกับอนุภาคขนาดไมโครเมตรซึ่งมีขนาดที่ใหญ่กว่าและมีการจับตัวกับพอลิเมอร์เมทริกซ์ได้ดี แม้ว่าพื้นที่ผิวของอนุภาคจะมีไม่มากเท่าอนุภาคขนาด nano ในเมตรแต่เมื่อออกรแรงดึงวัสดุซึ่งฟันเทียนพอลิเมอทิลเมทาคริลเลตแล้วพบว่าอนุภาคของชิลิกอนไดออกไซด์ไมโครเมตรสามารถจับตัวกับพอลิเมอร์เมทริกซ์ได้อย่างทั่วถึงมากกว่าอนุภาคขนาด nano ในเมตรซึ่งผลการทดลองนี้ได้ถูกอธิบายไว้จากราฟก่อนหน้ากราฟที่ 4.2.2

4.2.4 ผลการทดสอบแรงดึง (Tensile strength) เปรียบเทียบระหว่างผลการเติมอลูมิเนียมออกไซด์และซิลิกอนไดออกไซด์ที่อัตราส่วนการเติม 1:1, 1:5 และ 5:1 ที่ร้อยละการเติม 5%wt./v โดยที่อัตราส่วนที่ทำการทดลองที่ 1:1 และ 5:1 ที่ร้อยละการเติม 5%wt/v เป็นผลการการเติมขนาดของอนุภาค 40 ไมโครเมตร : 15 นาโนเมตร และที่อัตราส่วนที่ทำการทดลองที่ 1:5 ที่ร้อยละ 5%wt/v เป็นผลการการเติมขนาดของอนุภาค 40 ไมโครเมตร : 40 ไมโครเมตร ชนิดที่ปรับปรุงผิวและไม่ได้ปรับปรุงผิวด้วย ใจเลนชนิด 3-MPS



รูปที่ 4.2.4 แผนภูมิแสดงผลการทดลองเปรียบเทียบของอัตราส่วนระหว่างอะลูมิเนียมออกไซด์ต่อซิลิกอนไดออกไซด์ที่มีผลต่อต่อสมบัติการด้านทานแรงดึงระหว่างชนิดปรับปรุงผิววัสดุสารตัวเติมด้วยใจเลนและไม่ปรับปรุงผิว ที่ร้อยละการเติมที่ 5%

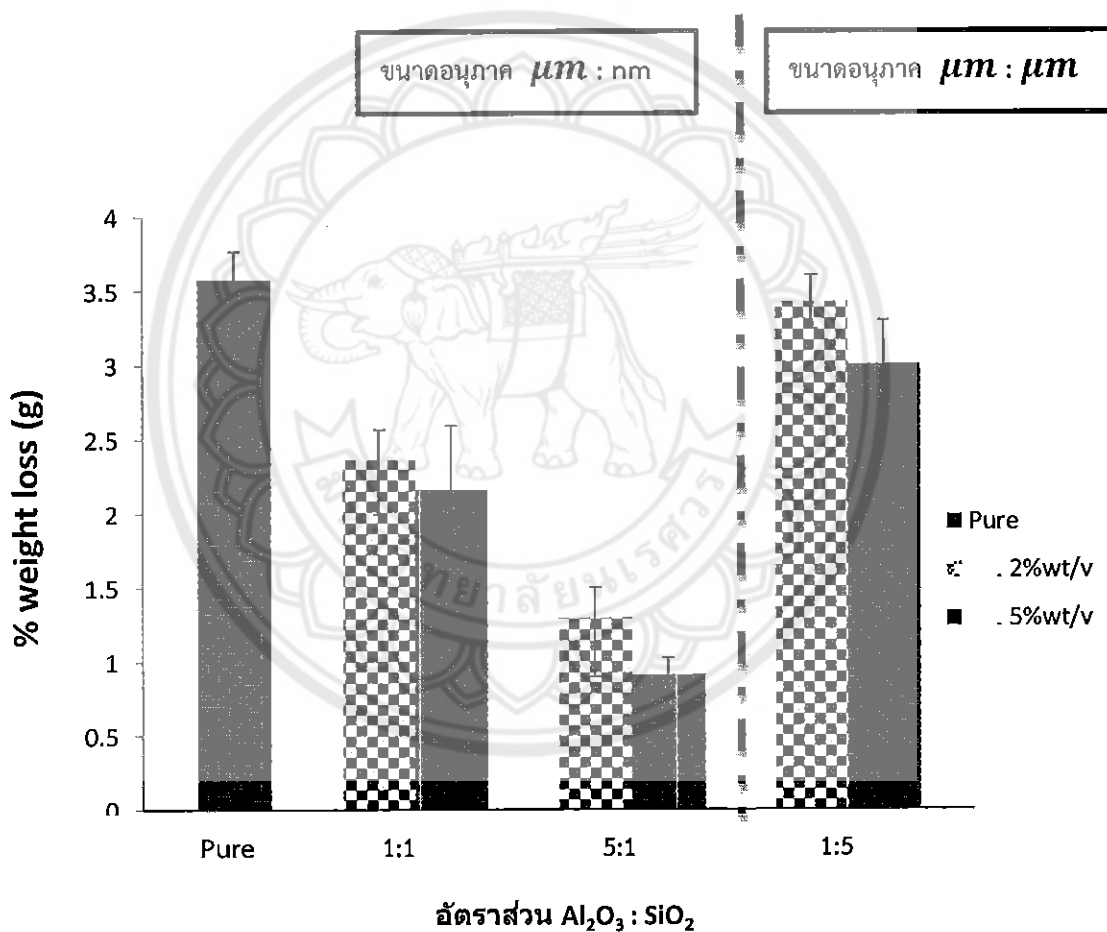
จากรูปที่ 4.2.4 ผลการทดสอบแรงดึง (Tensile Strength) เปรียบเทียบระหว่างผลการเติมอัลูมิเนียมออกไซด์และซิลิกอนไดออกไซด์ที่อัตราส่วนการเติม 1:1, 1:5 และ 5:1 ที่เปอร์เซ็นต์การเติม 5%wt/v ชนิดที่ปรับปรุงผิวและไม่ได้ปรับปรุงผิวด้วย ไซเลนชันิต 3-MPS พบว่าที่ปริมาณการเติมที่อัตราส่วนที่ 1:5 ที่ 5%wt/v ของที่ปรับปรุงผิวมีค่าความแข็งแรงดึงที่สูงกว่าอัตราส่วน 1:1 และ 5:1 ทำให้ทราบว่าที่ปริมาณการเติมของอัลูมิเนียมออกไซด์ต่อซิลิกอนไดออกไซด์มีผลต่อค่าความแข็งแรงดึง เนื่องจากซิลิกอนไดออกไซด์มีคุณสมบัติเรื่องความแข็งเมื่อเติมลงในพอลิเมอร์เมทริกซ์ทำให้วัสดุมีความแข็งซึ่งได้อธิบายไว้ในผลการทดลองกราฟที่ 4.2.1 และ 4.2.2 เมื่อความแข็งมากก็ส่งผลให้ความต้านทานแรงดึงสูงตามไปด้วย จากงานวิจัยของ คุณเกเขม พิพัฒน์ปัญญาณุกุล และคณะ [6] ได้ศึกษาแนวโน้มของการเติมซิลิกอนไดออกไซด์และอัลูมิเนียมออกไซด์ ที่ส่งผลต่อค่าความแข็งแรงดึง และค่าความแข็ง พบร่วมกันว่าเมื่อเติมสารเสริมแรงทั้งสองในพอลิเมอร์แล้วพบว่าค่าความแข็งแรงดึงและค่าความต้านทานแรงดึงดีขึ้น นอกเหนือนี้ปริมาณของสารตัวเติมอัลูมิเนียมออกไซด์ที่มากเกินไปยังส่งผลทำให้ขั้นงานเกิดพื้นสะทางเคมีที่สิ่งยากต่อการให้แรงดึงดังที่ได้อธิบายไว้ที่กราฟการทดลอง 4.2.2 และที่ขนาดอนุภาคเดียวกันซิลิกอนไดออกไซด์มีความเข้ากันได้กับพอลิเมอร์เมทริกซ์และสารปรับปรุงผิวได้ดีกว่าอัลูมิเนียมออกไซด์

4.3 ผลการทดสอบสมบัติการต้านทานแรงสีกกร่อน

เนื่องจากในปัจจุบันพื้นเทียมเป็นที่นิยมใช้กันอย่างแพร่หลายเพื่อเป็นการทดแทนพื้นที่สูญเสียไปพื้น เทียมจะมีหน้าที่คล้ายพื้นแท็คือช่วยในการย่ออยเชิงกลดังนั้นในการทดสอบความสีกกร่อนของพื้นเทียมจึงเป็นเรื่องสำคัญอย่างยิ่งเพื่อให้พื้นเทียมนั้นสามารถอยู่กับเราได้นาน และยังเป็นตัวบ่งบอกถึงอายุการใช้งานและการหลีกเลี่ยงที่จะก่อให้เกิดการสูญเสียของพื้นเทียมได้ดังนั้นงานวิจัยนี้ผู้จัดทำจึงเห็นถึงความสำคัญของการต้านทานแรงสีกกร่อนของชีพื้นเทียมโดยการเติมวัสดุเสริมแรงชนิดที่ปรับปรุงผิวด้วยไฮเลน 3-MPS ลงไปใน PMMA เพื่อก่อให้เกิดความคงทนของชีพื้นเทียมโดยอัตราส่วนและร้อยละการเติมรวมไปถึงผลการทดสอบซึ่งได้แสดงไว้ดังนี้



4.3.1 ผลการทดสอบแรงต้านทานการสึกกร่อน (Wear resistant) เปรียบเทียบระหว่างผลการเติมอะลูมิเนียมออกไซด์ต่อชิลิกอนไดออกไซด์ที่อัตราส่วนการเติม 1:1, 1:5 และ 5:1 ที่ร้อยละการเติม 2%wt/v และ 5%wt/v ตามลำดับ โดยที่อัตราส่วนที่ทำการทดลองที่ 1:1 และ 5:1 ที่ร้อยละการเติม 2%wt/v และ 5%wt/v ตามลำดับเป็นผลการการเติมขนาดของอนุภาค 40 ไมโครเมตร : 15 นาโนเมตร และที่อัตราส่วนที่ทำการทดลองที่ 1:5 ที่ร้อยละการเติม 2%wt/v และ 5%wt/v ตามลำดับเป็นผลการการเติมขนาดของอนุภาค 40 ไมโครเมตร : 40 นาโนเมตร ชนิดที่ปรับปรุงผิวด้วย ไอลานเซนิต 3-MPS

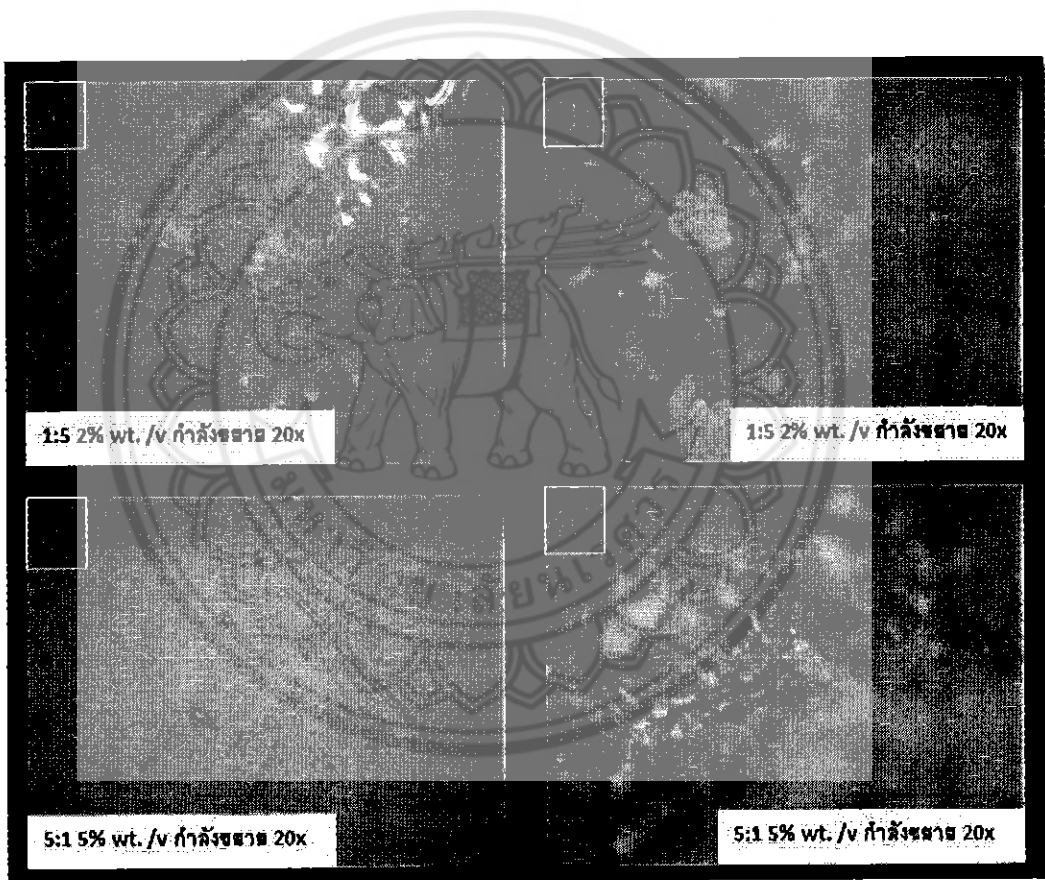


รูปที่ 4.3.1 แผนภูมิแสดงผลของการเติมวัสดุเสริมแรงในวัสดุซีฟันเทียนอะคริลิกที่อัตราส่วนระหว่างอะลูมิเนียมออกไซด์ต่อชิลิกอนไดออกไซด์ที่มีผลต่อต่อสมบัติการต้านทานการสึกกร่อนที่ร้อยละการเติมที่ 2% และ 5% ชนิดปรับปรุงผิววัสดุสารตัวเติม

จากรูปที่ 4.3.1 แสดงผลของปริมาณการเติมวัสดุเสริมแรงต่อค่าการต้านทานแรงสึกกร่อนที่อัตราส่วนการเติมวัสดุเสริมแรงที่ 2%wt/v และ 5%wt/v ตามลำดับซึ่งจะแสดงให้เห็นว่าอัตราส่วนในการเติมวัสดุเสริมแรงที่ 5:1 ที่การเติม 5%wt/v มีแนวโน้มการสูญเสียน้ำหนักน้อยที่สุดอย่างมีนัยสำคัญที่ 0.05 และนั้นเป็นผลมาจากการคุณสมบัติเฉพาะตัวของสารตัวเติมที่นำมาใช้งานนั้นคือชิลิกอนไดออกไซด์ที่มีสมบัติเด่นเฉพาะตัวในเรื่องของความแข็งซึ่งจะสอดคล้องกับความต้านทานแรงสึกกร่อนและอัลูมิเนียมออกไซด์และสัดส่วนปริมาณการเติมซึ่งจากการศึกษาพบว่าคุณสมบัติของอัลูมิเนียมมีคุณสมบัติแข็งและมีจุดหลอมเหลวสูงถึง 2060 °C ทำให้ทนต่อการกัดกร่อนจากการดัดแปลง ด่าง และอากาศ ความสามารถในการทนต่อการกัดกร่อนหรือแม้กระทั่งการเติมชิลิกอนไดออกไซด์มีผลกระทบที่เด่นชัดเนื่องมาจากคุณสมบัติเฉพาะตัวของชิลิกอนไดออกไซด์เช่นเดียวกันซึ่งเป็นผลมาจากการจับตัวกันได้ดีของชิลิกอนไดออกไซด์ในพอลิเมอร์ทำให้วัสดุซึ่งฟันเทียมที่ได้มีความแข็งแรง เช่นเดียวกับงานวิจัย L.Chen [2004] [13] ที่มีการเติมชิลิกอนไดออกไซด์ที่เพิ่มมากขึ้นส่งผลให้ความแข็งเพิ่มมากขึ้น ดังนั้นที่อัตราส่วนการเติม 5:1 ที่การเติม 5%wt/v จึงมีค่าการต้านทานความสึกกร่อนได้มากที่สุด ในขณะเดียวกันจะเห็นได้ว่าที่ปริมาณการเติมสารตัวเติมที่ 1:5 ที่ 2%wt/v และ 5%wt/v ตามลำดับ ให้ค่าการสูญเสียน้ำหนักซึ่งไม่แตกต่าง จากตัวบริสุทธิ์ที่ไม่ได้มีการเติมสารตัวเติม นั้นแสดงให้เห็นว่าขนาดของอนุภาคของสารตัวเติมมีผลต่อการสึกกร่อนโดยที่ขนาดของอนุภาคที่มีขนาดเล็กกว่า จะมีพื้นที่ผิวในการยึดติดกับพอลิเมอร์เมทริกซ์ได้มากกว่าแต่เนื่องจากสารตัวเติมขนาดนาโนเมตรขอบจับตัวกันอยู่เป็นกลุ่ม เมื่อทำการปรับปรุงผิวด้วยไชเคนทำให้ผลของวัสดุเสริมแรงที่อนุภาคที่แตกต่างกันมีผลทำให้ค่าความสามารถในการต้านทานความสึกกร่อนมีค่าแตกต่างกัน และในส่วนของอนุภาคกับการทดสอบการขัดถูเนื่องจากขนาดอนุภาคทำให้อนุภาคของสารตัวเติมจับตัวกับพอลิเมอร์เมทริกซ์ได้แน่นมากยิ่งขึ้นด้วยพันธะเคมีของอัลูมิเนียมออกไซด์เมื่อถูกปรับผิวจะเข้ากันได้ระหว่างสารตัวเติมสารปรับผิวและพอลิเมอร์เมทริกซ์ ในขณะที่ชิลิกอนไดออกไซด์แสดงพันธะทางเคมีเป็นพันธะเดียวกับการขัดถูจึงน้ำหนักหายไปโดยเฉพาะในสารตัวเติมน้ำหนักในเมตรเพาะเมื่ออนุภาคมีการหลุดออกอนุภาคที่ใหญ่กว่าก็จะดึงเอา

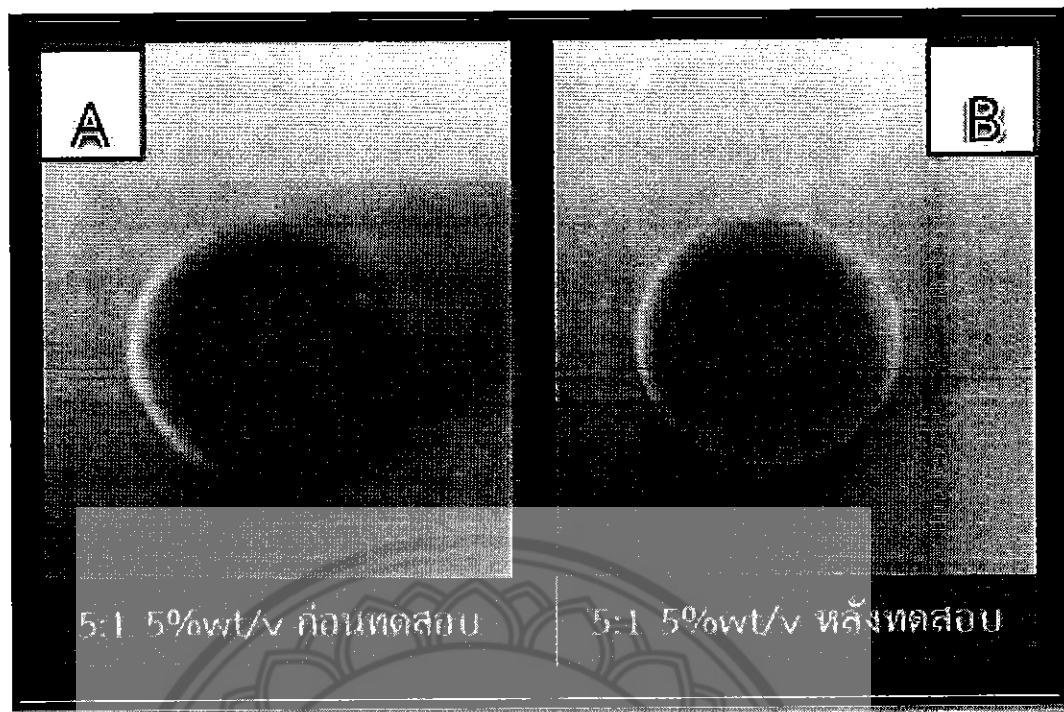
เนื้อ พอลิเมอร์ออกไซป์มากกว่าส่งผลทำให้น้ำหนักที่หายไปมีปริมาณมาก ดังนั้นผลของการเติมวัสดุเสริมแรงที่ขนาดอนุภาคแตกต่างกันมีผลทำให้ค่าความสามารถในการต้านทานความสึกกร่อนมีค่าแตกต่างกัน และผลการทดลองนี้ได้ยืนยันว่าที่อัตราส่วนการเติม 5:1 ร้อยละการเติมที่ 5%wt/v มีการสึกกร่อนที่น้อยที่สุด

4.3.2 รูปแสดงพื้นผิวของชิ้นงานเมื่อส่องด้วยกล้องจุลทรรศน์ที่กำลังขยาย 20x โดยรูป A แสดงพื้นผิวของชิ้นงานที่ผสมวัสดุเสริมแรงอลูมิเนียมออกไซด์และซิลิกอนไดออกไซด์ชนิดปรับผิว



รูปที่ 4.3.2 รูปแสดงพื้นผิวของชิ้นงานที่ผสมวัสดุเสริมแรงอลูมิเนียมออกไซด์และซิลิกอนไดออกไซด์ชนิดปรับผิววัสดุเสริมแรงที่อัตราส่วน 1:5 2%wt/v และ 5:1 5%wt/v รูป A ,C ก่อนการทดสอบ รูป B,D หลังทำการทดสอบ

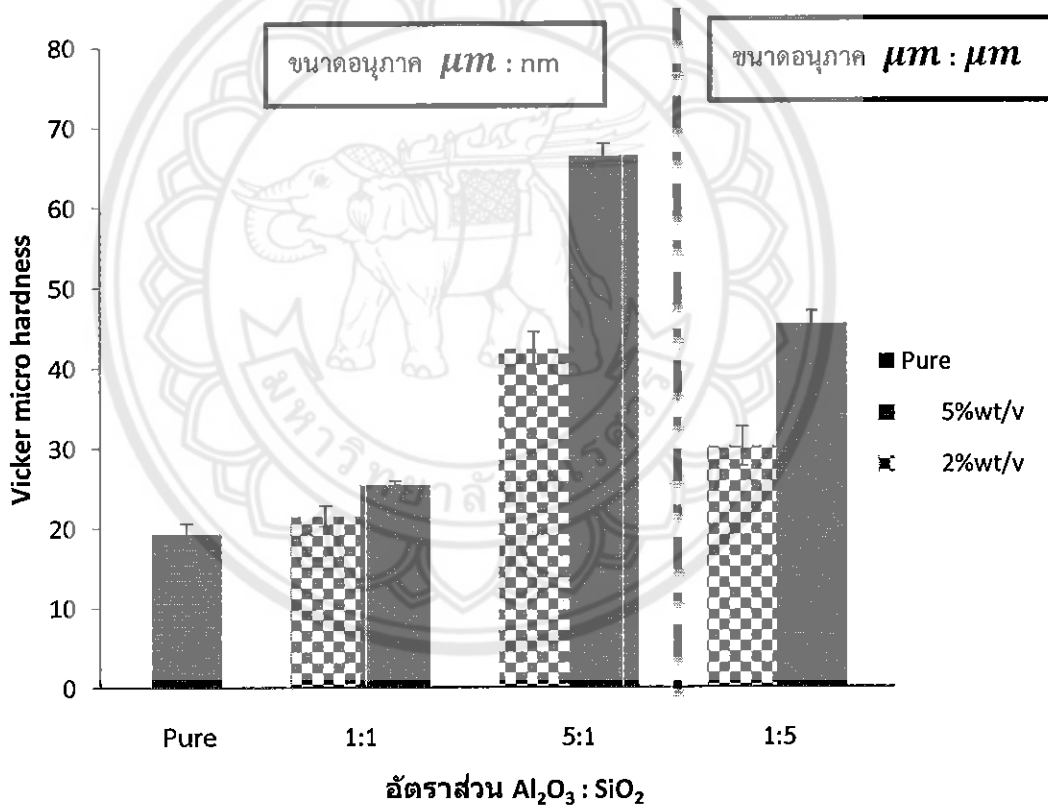
จากรูป 4.3.2 ซึ่งเป็นการแสดงให้เห็นถึงการทดสอบความสึกกร่อนของชิ้นงานก่อน และหลังรูป A แสดงพื้นผิวของชิ้นงานที่ผสมวัสดุเสริมแรงอลูมิเนียมออกไซด์และซิลิกอนไดออกไซด์ชนิดปรับผิววัสดุเสริมแรงท่อตราช่วง 1:5 2%wt/v ก่อนทำการทดสอบ ความสึกกร่อนพื้นผิวของชิ้นงานมีลักษณะเรียบและมีลักษณะแข็งซึ่งไม่แตกต่างจากชิ้นงานที่อัตราส่วนอื่นๆนักแต่มีอนามาททดสอบความสึกกร่อน รูป B แสดงพื้นผิวของชิ้นงานที่ผสมวัสดุเสริมแรงอลูมิเนียมออกไซด์และซิลิกอนไดออกไซด์ชนิดปรับผิววัสดุเสริมแรงท่อตราช่วง 1:5 2%wt/v หลังทำการทดสอบความสึกกร่อนที่กำลังขยาย 20x จะเกิดหลุมลึกลงไปที่ผิวน้ำข้างชิ้นงาน ท่อตราช่วง 1:5 2%wt/v มีการสึกกร่อนมากที่สุดเนื่องมาจากขนาดในการเติมอนุภาค มีผลเนื่องมาจากการทดสอบการขัดถูทำให้ชิ้นงานสึกกร่อนเมื่อขัดถูแล้วอนุภาคที่ใหญ่ เช่น ไมโครเมตรจะหลุดออกจากตัวพอลิเมอร์พร้อมนำเอาพอลิเมอร์ที่ติดรอบๆผิวออกไปด้วยจึง ส่งผลให้ชิ้นงานมีการสูญเสียได้อย่างรวดเร็วกว่าในขณะที่รูป C แสดงพื้นผิวของชิ้นงานที่ผสมวัสดุเสริมแรงอลูมิเนียมออกไซด์และซิลิกอนไดออกไซด์ชนิดปรับผิววัสดุเสริมแรงท่อตราช่วง 5:1 5%wt/v ก่อนทำการทดสอบความสึกกร่อนเมื่ออนามาททดสอบความสึกกร่อนรูป D แสดงพื้นผิวของชิ้นงานที่ผสมวัสดุเสริมแรงอลูมิเนียมออกไซด์และซิลิกอนไดออกไซด์ชนิดปรับผิววัสดุเสริมแรงท่อตราช่วง 5:1 5%wt/v หลังทำการทดสอบความสึกกร่อนจะเห็นได้ว่าการจับตัวของสารตัวเติมนั้นทำให้เกิดหลุมลึกที่น้อยกว่าเมื่อมีการปรับผิวของอลูมิเนียมออกไซด์ขนาดไมโครเมตร เนื่องจากคุณสมบัติของซิลิกอนไดออกไซด์ที่มีความแข็งแรงและแข็งแกร่งทำให้การสึกกร่อนนี้น้อยกว่าและเนื่องจากซิลิกอนไดออกไซด์ขนาดนาโนเมตรมีอนุภาคขนาดเล็กและขอบจับตัวกันอยู่อย่างเป็นกลุ่มโดยธรรมชาติรวมไปถึงการยึดเกาะตัวกันด้วยตัวระหว่าง อลูมิเนียมออกไซด์พอลิเมอร์เมทริกซ์และสารปรับผิวของวัสดุตัวเติม ที่การเติม 2%wt/v และ 5%wt/v สอดคล้องกับงานวิจัยก่อนหน้า K.Elizabethb และคณะ (1985) [10] ซึ่งได้ทำการศึกษาอิทธิพลของวัสดุอัดแทรกต่อคุณสมบัติต่างๆของวัสดุบูรณะฟันเรซินคอมโพสิต ชนิดไมโครफลัลโดยเติมซิลิกอนไดออกไซด์ที่ได้รับการปรับสภาพขนาดอนุภาค 20 และ 40 นาโนเมตรในปริมาณต่างๆพบว่าเมื่อเติมวัสดุอัดแทรกในปริมาณที่เพิ่มขึ้นจะสามารถเพิ่มความลึกกร่อนความแข็งกำลังแรงอัดความแข็งตึงและความต้านทานการสึกกร่อน



รูปที่ 4.3.3 รูปแสดงพื้นผิวของชิ้นงานที่ผสมวัสดุเสริมแรงอلوминีียมออกไซด์และซิลิกอนไดออกไซด์ชนิดปรับผิววัสดุเสริมแรงที่อัตราส่วน 5:1 5%wt/v โดย รูป A รูปแสดงชิ้นงานก่อนการทำการทดสอบความสึกกร่อน และ รูป B รูปแสดงชิ้นงานหลังทำการทดสอบความสึกกร่อน

4.4 ผลการทดสอบความแข็งวิกเกอร์ (Vickers hardness test-VHN)

4.3.1 ผลการทดสอบความแข็งวิกเกอร์ (Vickers hardness test-VHN) เปรียบเทียบระหว่างผลการเติมอลูมิเนียมออกไซด์ต่อชิลิกอนไดออกไซด์ที่อัตราส่วนการเติม 1:1, 1:5 และ 5:1 ที่ร้อยละการเติม 2%wt/v และ 5%wt/v ตามลำดับ โดยที่อัตราส่วนที่ทำการทดลองที่ 1:1 และ 5:1 ที่ร้อยละการเติม 2%wt/v และ 5%wt/v ตามลำดับเป็นผลการการเติมขนาดของอนุภาค 40 ไมโครเมตร : 15 นาโนเมตร และที่อัตราส่วนที่ทำการทดลองที่ 1:5 ที่ร้อยละการเติม 2%wt/v และ 5%wt/v ตามลำดับเป็นผลการการเติมขนาดของอนุภาค 40 ไมโครเมตร : 40 นาโนเมตร ชนิดที่ปรับปรุงผิวด้วย ไซเลนซินิต 3-MPS



รูปที่ 4.4.1 แผนภูมิแสดงผลของการเติมวัสดุเสริมแรงในวัสดุชีฟันเทียมอะคริลิกที่อัตราส่วนระหว่างอะลูมิเนียมออกไซด์ต่อชิลิกอนไดออกไซด์ที่มีผลต่อต่อสมบัติของความแข็งวิก-เกอร์ที่ร้อยละการเติมที่ 2% และ 5% ชนิดปรับปรุงผิววัสดุสารตัวเติม

จากรูปที่รูปที่ 4.4.1 ผลการทดสอบเปรียบเทียบของอัตราส่วนต่างๆระหว่างชิลิกอนไดออกไซด์ต่ออลูมิเนียมออกไซด์ชนิดปรับปรุงผู้ด้วยไฮเดนที่อัตราส่วนการเติมที่ 2%wt/v และ 5%wt/v และพบว่าที่อัตราส่วนการเติมที่ 5:1 5%wt/v มีค่าความแข็งพิวิวิกเกอร์ที่สูงที่สุด ซึ่งมีค่ามากถึง 66.46 HV แสดงผลของปริมาณการเติมวัสดุเสริมแรงต่อค่าความแข็งผิว จากผลการทดลองเมื่อพิจารณาที่อลูมิเนียมออกไซด์พบว่าเมื่อเติมวัสดุเสริมแรงเข้าไป มีผลต่อการปรับปรุงสมบัติความแข็งอย่างมีนัยสำคัญ 0.05 และที่อัตราส่วนการเติมที่ 1:1 และ 1:5 5%wt/v ค่าความแข็งผิวเพิ่มขึ้นอย่างมีนัยสำคัญเท่ากับ 21.43 และ 45.53 HV ตามลำดับ เมื่อเทียบกับตัวบริสุทธิ์ ในขณะเมื่อพิจารณาที่อลูมิเนียมออกไซด์พบว่าเมื่อเติมวัสดุเสริมแรงในปริมาณการเติม 5%wt/v จะให้ค่าความแข็ง เพิ่มขึ้นมากกว่าที่ 2%wt/v เนื่องจากการเติมวัสดุเสริมแรงเพื่อเพิ่มค่าความแข็ง จำเป็นต้องเติมในปริมาณที่เหมาะสมซึ่งจะช่วยเสริมแรงทำให้ค่าความแข็งเพิ่มขึ้นแต่ถ้าเติมในปริมาณที่มากเกินไปจะทำให้มีรูพรุนเกิดขึ้นซึ่งจะเป็นข้อบกพร่องทำให้สมบัติความแข็งลดลงจากผลการทดลองข้างต้นพบว่าปริมาณที่เหมาะสมของอัลูมิเนียมออกไซด์และชิลิกอนไดออกไซด์ คือปริมาณการเติม 5:1 ที่ 5%wt/v และในส่วนของชิลิกอนไดออกไซด์ขนาดนาโนเมตรมีค่าความแข็งเฉลี่ยสูงสุดที่ปริมาณการเติม 1%wt/v และค่าความแข็งจะลดลงเมื่อเติมมากกว่า 1%wt/v จากงานวิจัยก่อนหน้า [3] เนื่องจากอนุภาคขนาดนาโนเมตรมีสมบัติที่ง่ายต่อการรวมตัวกัน ซึ่งจะทำให้วัสดุเกิดความแข็ง เพราะเมื่อเติมในปริมาณที่มาก โดยที่เมื่อพิจารณาความแข็งของสารแต่ละชนิดพบว่าอนุภาคแต่ละชนิดมีความแข็งที่แตกต่างกัน โดยที่อลูมิเนียมออกไซด์ซึ่งมีค่าสเกลความแข็งของโมล์มากสุดเท่ากับ 9 ในขณะที่ชิลิกอนไดออกไซด์มีค่าสเกลความแข็งของโมล์เพียงแค่ 6-7 ทั้งนี้การปรับผิวของวัสดุสารตัวเติมยังมีความสำคัญอย่างยิ่งที่ช่วยให้มีค่าความแข็งผิวเพิ่มขึ้นโดยสามารถอธิบายบนพื้นฐานโครงสร้างของอลูมิเนียมออกไซด์ซึ่งแสดงโครงสร้างชนิดพันธะคู่ (double bond) ซึ่งมีความว่องไวในการทำปฏิกิริยามากกว่าชิลิกอนไดออกไซด์ซึ่งแสดงสูตรโครงสร้างของชิลิกอนไดออกไซด์เป็นพันธะเดียว (single bond) เมื่อนำอลูมิเนียมออกไซด์เข้าทำปฏิกิริยากับสารปรับผิววัสดุเสริมแรงแล้วส่งผลให้หมุนแอลกอฮอล์ในไฮเดนชนิด 3-MPS จับตัวกันได้ดีกับอลูมิเนียมออกไซด์ที่เป็นพันธะคู่และเมื่อพิจารณาสูตรโมเลกุลของสารทั้งสองชนิดพบว่า อลูมิเนียมออกไซด์มีชาตุออกซิเจนที่มากกว่าโดยมีชาตุออกซิเจนในสูตรโมเลกุลถึงสามอะตอม ในขณะที่ชิลิกอนไดออกไซด์มีเพียงแค่สองอะตอม ซึ่งแสดงให้เห็นว่าการที่มีออกซิเจนมากกว่าจะมีแรงในการดึงดูดสารชนิดอื่นที่เข้ามาหาตัวออกซิเจนนั้นมากกว่า ซึ่งโดยปกติแล้วชาตุ

ออกซิเจนมีค่าอิเล็กโตรเนกาติวิตี้ (electronegativity) สูงจึงมีความสามารถในการดึงดูดอิเล็กตรอนจากธาตุไฮโดรเจนเข้ามาหาได้มาก ซึ่งธาตุไฮโดรเจนที่กล่าวถึงนี้คือโครงสร้างของไข่เลนชนิด 3-MPS ที่เกาะอยู่บนหมุ่แอลกอฮอล์ที่พร้อมจะทำปฏิกิริยา กับสารอื่นๆ นั่นเอง ดังนั้นจึงส่งผลให้การเติมที่สัดส่วนที่ 5:1 ที่การเติม 5%wt/v มีค่าความแข็งผิวที่สูงที่สุดจากสัดส่วนและปริมาณการเติมชนิดอื่นๆ

4.5 ผลการวิเคราะห์ทางสถิติ

ในงานวิจัยนี้ผู้จัดทำได้นำการวิเคราะห์ผลการทดลองแบบการวิเคราะห์ความแปรปรวนของข้อมูลแบบสองทาง (ANOVA 2 WAY) โดยสมมุติฐานที่ตั้งไว้ว่า อัตราส่วนและร้อยละการเติมวัสดุเสริมแรงมีผลต่อความต้านทานแรงในทางกลหรือไม่ ซึ่งผลที่ได้นั้นจะแสดงให้เห็นถึงผลของการเติมวัสดุเสริมแรงในชีพันเที่ยม PMMA โดยจะแสดงรายละเอียดดังตารางต่อไปนี้

ตารางที่ 4.5.1 ANOVA 2 WAY การทดสอบแรงตัดโค้ง ที่ 2%wt/v และ 5%wt/v
แบบไม่ปรับผิววัสดุตัวเติม

แหล่งความแปรปรวน	ss	df	Ms	Fc
อัตราส่วน	13782.53	2.00	6891.26	32.99*
ร้อยละการเติม	19356.59	1.00	19356.59	92.67*
อัตราส่วนที่มีผลต่อ ร้อยละการเติม	6169.95	2.00	3084.97	14.76*
ค่าความผิดพลาด	2506.41	12.00	208.86	
รวม	41815.49	17.00		

*มีนัยสำคัญทางสถิติที่ระดับ 0.05

จากผลการวิเคราะห์ทางสถิติ แรงดันโค้ง ที่ 2%wt/v และ 5%wt/v แบบไม่ปรับผิว
วัสดุตัวเติมพบว่าค่าอัตราส่วน ร้อยละการเติมและ อัตราส่วนที่มีผลต่อร้อยละการเติมมีผลต่อ^{ค่าแรงดันโค้งที่ระดับนัยสำคัญที่ 0.05}

**ตารางที่ 4.5.2 ANOVA 2 WAY การทดสอบแรงดันโค้ง ที่ 2%wt/v และ 5%wt/v
แบบปรับผิววัสดุตัวเติม**

แหล่งความแปรปรวน	ss	df	Ms	Fc
อัตราส่วน	640520.20	2.00	320260.10	3536.53*
ร้อยละการเติม	55995.31	1.00	55995.31	618.33*
อัตราส่วนที่มีผลต่อ ร้อยละการเติม	13487.68	2.00	6743.84	74.47*
ค่าความผิดพลาด	1086.69	12.00	90.55	
รวม	711089.89	17.00		

*มีนัยสำคัญทางสถิติที่ระดับ 0.05

จากผลการวิเคราะห์ทางสถิติแรงดันโค้ง ที่ 2%wt/v และ 5%wt/v แบบปรับผิววัสดุ
ตัวเติมพบว่าค่าอัตราส่วน ร้อยละการเติมและอัตราส่วนที่มีผลต่อร้อยละการเติมมีผลต่อค่าแรง
ดันโค้งที่ระดับนัยสำคัญที่ 0.05

**ตารางที่ 4.5.3 ANOVA 2 WAY การทดสอบแรงดึงที่ 2%wt/v และ 5%wt/v แบบไม่ปรับผิว
วัสดุตัวเติม**

แหล่งความแปรปรวน	ss	df	Ms	Fc
อัตราส่วน	794194.35	2.00	397097.18	10.78*
ร้อยละการเติม	209800.82	1.00	209800.82	5.66*
อัตราส่วนที่มีผลต่อ ร้อยละการเติม				
ค่าความผิดพลาด	147056.79	2.00	73528.39	1.98
รวม	444104.75	12.00	37008.73	
	1595156.72	17.00		

* มีนัยสำคัญทางสถิติที่ระดับ 0.05

จากผลการวิเคราะห์ทางสถิติแรงดึงที่ 2%wt/v และ 5%wt/v แบบไม่ปรับผิววัสดุ
ตัวเติมพบว่าค่าอัตราส่วนและร้อยละการเติมมีผลต่อค่าแรงดึงที่ระดับนัยสำคัญที่ 0.05 ในขณะ
ที่กลุ่มของอัตราส่วนที่มีผลต่อร้อยละการเติมไม่เห็นถึงความแตกต่างอย่างมีนัยสำคัญที่ 0.05

**ตารางที่ 4.5.4 ANOVA 2 WAY การทดสอบแรงดึงที่ 2%wt/v และ 5%wt/v
แบบปรับผิววัสดุตัวเติม**

แหล่งความแปรปรวน	ss	df	Ms	Fc
อัตราส่วน	6038112.38	2.00	3019056.20	90.73*
ร้อยละการเติม	1925901.48	1.00	1925901.50	57.88*
อัตราส่วนที่มีผลต่อ ร้อยละ การเติม				
ค่าความผิดพลาด	134171.64	2.00	67085.82	2.01
รวม	399266.77	12.00	33272.23	
	8497452.29	17.00		

* มีนัยสำคัญทางสถิติที่ระดับ 0.05

จากผลการวิเคราะห์ทางสถิติแรงดึง ที่ 2%wt/v และ 5%wt/v แบบปรับผิววัสดุตัวเติมพบว่าค่าอัตราส่วนและร้อยละการเติมมีผลต่อค่าแรงดึงที่ระดับนัยสำคัญที่ 0.05 ในขณะที่กลุ่มของอัตราส่วนที่มีผลต่อร้อยละการเติมไม่เห็นถึงความแตกต่างอย่างมีนัยสำคัญที่ 0.05

ตารางที่ 4.5.5 ANOVA 2 WAY การทดสอบการสึกกร่อน ที่ 2%wt/v ปรับผิววัสดุตัวเติมเทียบกับ PMMA บริสุทธิ์

แหล่งความแปรปรวน	SS	Df	MS	Fc
อัตราส่วน	3.39	2.00	1.69	29.86*
ร้อยละการเติม	6.64	1.00	6.64	116.94*
อัตราส่วนที่มีผลต่อ ร้อยละการเติม	3.39	2.00	1.69	29.16*
ค่าความผิดพลาด	0.68	12.00	0.05	
รวม	14.11	17.00		

* มีนัยสำคัญทางสถิติที่ระดับ 0.05

จากผลการวิเคราะห์ทางสถิติการสึกกร่อนที่ 2%wt./v แบบปรับผิววัสดุตัวเติมเทียบกับ PMMA บริสุทธิ์พบว่าค่าอัตราส่วนร้อยละการเติมและอัตราส่วนที่มีผลต่อร้อยละการเติมมีผลต่อค่า wear ที่ 2%wt./v แบบปรับผิววัสดุตัวเติม ที่ระดับนัยสำคัญที่ 0.05 ในขณะที่ไม่มีผลต่อค่าการสึกกร่อน PMMA บริสุทธิ์

ตารางที่ 4.5.6 ANOVA 2 WAY การทดสอบ การสึกกร่อน ที่ 5%wt./v ปรับผิวสดตัวเติม เทียบกับ PMMA บริสุทธิ์

แหล่งความแปรปรวน	ss	df	Ms	Fc
อัตราส่วน	3.32	2.00	1.66	24.04*
ร้อยละการเติม	10.84	1.00	10.84	156.56*
อัตราส่วนที่มีผลต่อร้อย ละการเติม	3.32	2.00	1.66	24.02*
ค่าความผิดพลาด	0.83	12.00	0.06	
รวม	18.32	17.00		

*มีนัยสำคัญทางสถิติที่ระดับ 0.05

จากการวิเคราะห์ทางสถิติการทดสอบการสึกกร่อน 5%wt/v แบบปรับผิวสดตัวเติมเทียบกับ PMMA บริสุทธิ์พบว่าค่าอัตราส่วนร้อยละการเติมและอัตราส่วนที่มีผลต่อร้อยละการเติมมีผลต่อค่า wear ที่ 5%wt/v แบบปรับผิวสดตัวเติม ที่ระดับนัยสำคัญที่ 0.05 ในขณะที่ไม่มีผลต่อค่าการสึกกร่อน PMMA บริสุทธิ์

ตารางที่ 4.5.7 ANOVA 2 WAY การทดสอบการสึกกร่อนที่ 2%wt/v และ 5%wt/v แบบปรับผิวสดตัวเติม

แหล่งความแปรปรวน	ss	df	Ms	Fc
อัตราส่วน	13.39	2.00	6.69	67.81*
ร้อยละการเติม	0.51	1.00	0.51	5.162*
อัตราส่วนที่มีผลต่อ ร้อยละการเติม	0.04	2.00	0.02	0.20
ค่าความผิดพลาด	1.18	12.00	0.09	
รวม	15.13	17.00		

* มีนัยสำคัญทางสถิติที่ระดับ 0.05

จากผลการวิเคราะห์ทางสถิติการสึกกร่อน ที่ 2%wt/v และ 5%wt/v แบบปรับผิว
วัสดุตัวเติมพบว่าค่าอัตราส่วนและร้อยละการเติมมีผลต่อค่าการสึกกร่อน ที่ระดับนัยสำคัญที่
0.05 ในขณะที่ อัตราส่วนที่มีผลต่อร้อยละการเติมไม่เห็นถึงความแตกต่างอย่างมีนัยสำคัญที่
0.05

**ตารางที่ 4.5.8 ANOVA 2 WAY การทดสอบความแข็งที่ 2%wt/v และ 5%wt/v
แบบปรับผิววัสดุตัวเติม**

แหล่งความแปรปรวน	SS	df	Ms	Fc
อัตราส่วน	2886.74	2.00	1443.37	574.43*
ร้อยละการเติม	627.17	1.00	627.17	249.60*
อัตราส่วนที่มีผลต่อ ร้อยละการเติม	618.71	2.00	309.35	123.11*
ค่าความผิดพลาด	30.15	12.00	2.51	
รวม	4162.78	17.00		

* มีนัยสำคัญทางสถิติที่ระดับ 0.05

จากผลการวิเคราะห์ทางสถิติความแข็ง ที่ 2%wt/v และ 5%wt/v แบบปรับผิววัสดุ
ตัวเติมพบว่าค่าอัตราส่วน ร้อยละการเติมและอัตราส่วนที่มีผลต่อร้อยละการเติมมีผลต่อค่า
ความแข็ง ที่ระดับนัยสำคัญที่ 0.05

สรุปผลที่ได้จากการคำนวณทางสถิติ

ชนิดปรับปรุงผิววัสดุเสริมแรงด้วยไขเลนชนิด3-MPS

แรงตัดโคลง

- 1 อัตราส่วนและร้อยละการเติมมีผลต่อค่าแรงตัดโคลงที่ระดับนัยสำคัญที่ 0.05
- 2 เมื่อพิจารณาอัตราส่วนและร้อยละการเติมรวมกันเห็นถึงความแตกต่างที่ระดับนัยสำคัญที่ 0.05

แรงดึง

- 1 อัตราส่วนและร้อยละการเติมมีผลต่อค่าแรงดึงที่ระดับนัยสำคัญที่ 0.05
- 2 เมื่อพิจารณาอัตราส่วนและร้อยละการเติมรวมกันไม่เห็นถึงความแตกต่างที่ระดับนัยสำคัญที่ 0.05

การสึกกร่อน

- 1 อัตราส่วนและร้อยละการเติมมีผลต่อการสึกกร่อนที่ระดับนัยสำคัญที่ 0.05
- 2 เมื่อพิจารณาอัตราส่วนและร้อยละการเติมรวมกันไม่เห็นถึงความแตกต่างที่ระดับนัยสำคัญที่ 0.05

ความแข็งวิกเกอร์

- 1 อัตราส่วนและร้อยละการเติม มีผลต่อค่าความแข็งวิกเกอร์ระดับนัยสำคัญที่ 0.05
- 2 เมื่อพิจารณาอัตราส่วนและร้อยละการเติมรวมกันเห็นถึงความแตกต่างที่ระดับนัยสำคัญที่ 0.05

ชนิดไม่ปรับปรุงผิวสุดเสริมแรงด้วยไชเลนชนิด 3-MPS

แรงดัดโค้ง

- 1 อัตราส่วนและร้อยละการเติมมีผลต่อค่าแรงดัดโค้งที่ระดับนัยสำคัญที่ 0.05
- 2 เมื่อพิจารณาอัตราส่วนและร้อยละการเติมรวมกันเห็นถึงความแตกต่างที่ระดับนัยสำคัญที่ 0.05

แรงดึง

- 1 อัตราส่วนและร้อยละการเติมมีผลต่อค่าแรงดึงที่ระดับนัยสำคัญที่ 0.05
- 2 เมื่อพิจารณาอัตราส่วนและร้อยละการเติมรวมกันไม่เห็นถึงความแตกต่างที่ระดับนัยสำคัญที่ 0.05



บทที่ 5

สรุปผลและข้อเสนอแนะ

5.1 สรุปผลการทดลอง

ผลการศึกษาการเติมวัสดุเสริมแรงทั้งหมด 2 ชนิด (ซิลิกอนไดออกไซด์ 15 นาโนเมตร ซิลิกอนไดออกไซด์ 40 ไมโครเมตร และอัลูมิเนียมออกไซด์ 40 ไมโครเมตร) ในวัสดุชีพนิพัทธ์ PMMA ชนิดบ่มตัวด้วยความร้อนที่อัตราส่วนต่างๆ ต่อสมบัติการต้านทานแรงดัดโค้ง สมบัติความต้านทานแรงดึง และสมบัติการต้านทานความสึกกร่อน พบร่วมค่าแรงต้านทานแรงดัดโค้งที่ปรับปรุงผิวด้วยไฮเลนที่อัตราส่วนการเติมที่ 5:1 (ไมโครเมตร:นาโนเมตร) 5%wt./v มีค่าความต้านทานแรงดัดโค้งสูงที่สุดที่ 1035.40 MPa สมบัติความต้านทานแรงดึงที่ปรับปรุงผิวด้วยไฮเลนที่อัตราส่วนการเติม 1:5 (ไมโครเมตร:ไมโครเมตร) 5%wt./v มีค่าความต้านทานแรงดึงสูงที่สุด 3074.81 Mpa สมบัติความต้านทานแรงสึกกร่อนที่ปรับปรุงผิวด้วยไฮเลนที่อัตราส่วนการเติม 5:1 (ไมโครเมตร:นาโนเมตร) 5%wt./v มีค่าความต้านทานการสึกกร่อนต่ำที่สุด 0.91 g/m² มีค่าความแข็งวิกเกอร์สูงสุดที่ 66.46 HV และผลจากการวิเคราะห์ทางสถิติ (ANOVA) จากผลการวิเคราะห์ทางสถิติซึ่งพบว่า การปรับผิวด้วยวัสดุตัวเติม อัตราส่วนและร้อยละการเติมมีอิทธิพลต่อแรงทางกลคือ แรงดัดโค้ง แรงดึง การต้านทานแรงสึกกร่อนและความแข็งวิกเกอร์ โดยสรุปได้ดังนี้ แรงดัดโค้งทั้งชนิดปรับผิวและไม่ปรับ ผิววัสดุตัวเติม อัตราส่วน และร้อยละการเติม แล้วอัตราส่วนร้อยละการเติมที่รวมกันมีผลต่อค่าแรงดัดโค้งที่ระดับนัยสำคัญที่ 0.05 แรงดึงทั้งชนิดปรับผิวและไม่ปรับผิววัสดุตัวเติม อัตราส่วนและร้อยละการเติมที่รวมกันไม่เทื่องถึงความแตกต่างที่ระดับนัยสำคัญที่ 0.05 เมื่อพิจารณาอัตราส่วนและร้อยละการเติมที่รวมกันไม่เทื่องถึงความแตกต่างที่ระดับนัยสำคัญที่ 0.05 การสึกกร่อนชนิดปรับผิววัสดุตัวเติมเมื่อเทียบกับ PMMA บริสุทธิ์พบว่า อัตราส่วน ร้อยละการเติม และอัตราส่วนร้อยละการเติมที่รวมกันมีผลต่อการสึกกร่อน แต่เมื่อเปรียบเทียบกันระหว่าง 2%wt/v และ 5%wt/v อัตราส่วนและร้อยละการเติมที่รวมกันไม่เทื่องถึงความแตกต่างที่ระดับนัยสำคัญที่ 0.05 เมื่อพิจารณา อัตราส่วนและร้อยละการเติมที่รวมกันไม่เทื่องถึงความแข็งวิกเกอร์ชนิดที่ปรับผิวผิววัสดุตัวเติม อัตราส่วน ร้อยละการเติม และอัตราส่วนร้อยละการเติมรวมกันมีผลต่อค่าความแข็งวิกเกอร์ที่ระดับนัยสำคัญ 0.05 และผลการวิเคราะห์ทางสถิติสอดคล้องกับผลการทดลองที่ได้

5.2 ข้อเสนอแนะ

- 1 จากการทดลองพบว่าที่ปริมาณการเติมที่อัตราส่วนต่างๆ มีผลทำให้สมบัติทางกลดีขึ้น ตั้งนี้ อาจจะเพิ่มปริมาณการเติมเพื่อให้เห็นผลที่ชัดเจนมากขึ้น
- 2 สามารถนำสารเคลือบพิมาประยุกต์กับการทดสอบความต้านทานการสึกกร่อนแบบหัวหมุน เพื่อที่จะทราบว่าสารเคลือบฟันแบบไหนสามารถต่อการสึกได้ดี
- 3 การทดสอบความต้านทานการสึกมีหลายแบบ แต่ในการทดลองนี้ใช้แบบหัวหมุน อาจจะเปลี่ยนเป็นแบบแปรรูปขัดที่ใช้คู่กับยาสีฟันเพื่อที่จะใกล้เคียงกับชีวิตประจำวันมากขึ้น

เอกสารอ้างอิง

- [1] เจน รัตนไพศาล.(2553).หันตัวสุดศาสตร์.(พิมพ์ครั้งที่สอง).กรุงเทพฯ:บริษัทสำนักพิมพ์ไทยวัฒนา พานิช จำกัดมหานคร.
- [2] Hirano S May KB, Wanger WC, Hacker CH. In vitro wear of resin denture teeth. J Prosthet Dent 79(2) (Feb 1998): 152-5.
- [3] กนกพร ศรีวิชา และคณะ. (2556).ศึกษาวัสดุเสริมแรงในชีฟันอะคริลิก เรซินที่มีผลต่อแรงตัดโค้ง แรงยึด ติดเนื้อน และความแข็ง : ปริญญาบัณฑิต วศ.บ.,มหาวิทยาลัยนเรศวร,พิษณุโลก
- [4] ผู้ช่วยศาสตราจารย์ ดร.รัตนวรรณ mgrพันธุ์. (2557)สมบัติเชิงกลของชีฟันปลอมอะคริลิกเรซิน. กรุงเทพฯ:สำนักพิมพ์จุฬาลงกรณ์.
- [5] คุณวีรยา วรพันธ์ และคณะ. (2554) วัสดุเสริมแรงในชีฟันเทียมอะคริลิกเรซิน ต่อสมบัติทางกล. บริษัทสำนักพิมพ์ไทยวัฒนาพาณิช จำกัดมหานคร.
- [6] คุณเกษม พิพัฒน์ปัญญาณกุล. (2556)แนวโน้มของการเติมซิลิกอนไดออกไซด์และอะลูมิเนียม ออกไซด์ที่ส่งผลต่อกลไนท์และความแข็งแรงคงทน ความแข็งผิว
- [7] ชนิดา ศุภอมรกุล. (2541).ความต้านทานต่อการสึกของชีฟันปลอมอะคริลิก เรซิน ชนิดต่างๆ ปริญญาวิทยาศาสตร์มหาบัณฑิต ,จุฬาลงกรณ์มหาวิทยาลัย,กรุงเทพมหานคร
- [8] Bowen,E,wilenius,T.,Kinos,T.,Vuorisb,P.and Mastyla,T, 1963.Property of filler SiO₂ and silane,Progress in oorganic coatings,Vol.49No.1.
- [9] Li, Jagger DC, Harrision A, Jandt KD,(1999) .Handley R.W.A review the reinforcement of dental. J Oral Rahabil, (26)185-94.
- [10] K.Elizabeth tanner, Ferranti S.Wong. (2008).Comparisonof the viscoelastic behavior of a pre-impregnate reinforced glass fibercomposite with resin-based composite.Dental Material,(24),1534-1538.
- [11] O'Brien WJ.(2002). Dental materials and their selection 3 rd ed. St.Louis: Mosby..
- [12] Calias RG, Power JM.(2002). Restorative dental materials: Prosthetic applications of polymers. 11th ed. St Louis, Missouri; Mosby.p.636-58.
- [13] L.Chen , Oilo G. Wear mechanics of resin and porcelain denture teeth. Actodonatal 47(6) (Dec 1989):3919

- [14] Satoh Y, Ohtani K, Maejima K,Morikawa M, Matszu M, Nagai E, et al. Water of artificial denture teeth by use of toothbrushes, Part 1: Abrasive wear of anterior teeth. *J Nihon Univ Sch Dnt.*, 32(4)(Dec 1990):247-58.
- [15] Winkler S, Monasky GE, Kwok J. Laboratory wear investigation of resin posterior denture teeth. *J Prothet Dent* 67 (6) (Jun 1992):812-4.
- [16] Douglas WH, Delong R,Pintado MR, Latta MA.Wear rates of artificial denture teeth opposed by natural dentition. *J Prosthet Dent.* 4(2)(1993):43-7
- [17] Phillip RW. Skinner's Science of dental material. Philadelphia: W B Saunders 1991.
- [18] Van Frauhofer JA, Razqvi R, Khan Z. Wear Characteristics of high-strength denture teeth. *J Prosthet Dent.*59(2)(1998):173-5.
- [19] Thomas Storber, Tanja Lutz, Herbert Gilde, Peter Rammelsberg.Wear of denture teeth by two-body contact. Academy of dental Materials. Published by Elsevier Ltd. (March 2005).
- [20] Jianyu Zeng, DDS,PhD.In Vitro wear resistance of three types of composite resin denture teeth. *J Prosthet Dent.*(Nov 2005);94:453-7.
- [21] Micheal CG, Javid NS,Colaizzi FA, Gibbs CH. Biting strength and chewing forces in complete denture wearers. *J Prosthet Dent.*63(5)(May 1990) : 156-53.
- [22] Lindquist T J, Ogel RE,Davis EL. Twelve-month results of a clinical wear study of three artificial tooth materials. *J Prosthet Dent.* 74(2)(Aug 2004):156-61.
- [23] Philipp F. Kappert,J.Robert kellyb .Cyclic fatigue of denture teeth for bulk fracture. *J Prosthet Dent.* (July 2013) .
- [24] Anne Palitschb , Matthias Hanninga ,Paul Fergerb,Markus Balkenhola,b,* .Bonding of acrylic denture teeth to MMA/PMMA and light-curing denture base material: The role of conditioning liquids. *J Prosthet Dent.*(December 2012).

เอกสารอ้างอิง(ต่อ)

- [25] Ana Carolina Pero*, Priscila Mattos Scavassini,Andressa Rosa Perin Leite,Danny Omar Mendoza Marin, Andre Gustavo Paleari,Marco Antonio Compagnoni.Effect of immersion cleansers on the bond strength between a denture base resin and acrylic resin teeth.J Prosthet Dent. (March 2013).
- [26] Robert L.Schneider,DDS,MS,a Erik R. Curtis,DDS,b and James M.S. Clancy,DDS,MScTensile bond strength of acrylic of resin of denture teeth and denture base resin. J Prosthe Dent. (Nov 2012).





ตารางแสดงผลแรงดัดโค้งชนิดไม่ปรับปรุงผิววัสดุเสริมแรงที่ 2%

2%	L(cm)	h(cm)	W(cm)	F(max)	$F=3FL/2WH^2$	average
1:1	6.40	0.32	0.95	201.30	198.73	
	6.45	0.33	0.98	245.06	220.44	
	6.50	0.33	1.00	260.90	233.59	217.58
5:1	6.40	0.30	1.00	243.00	259.20	
	6.50	0.33	0.98	387.84	354.32	
	6.50	0.34	0.95	429.23	381.07	317.44
1:5	6.40	0.30	1.00	162.00	172.80	
	6.50	0.34	1.00	334.08	281.77	
	6.35	0.32	1.00	242.22	225.30	226.62

ตารางแสดงผลแรงดัดโค้งชนิดปรับปรุงผิววัสดุเสริมแรงที่ 2%

2%	L(cm)	h(cm)	W(cm)	F(max)	$F=3FL/2WH^2$	average
1:1	6.50	0.33	0.33	68.20	437.98	
	6.40	0.30	1.00	139.40	363.04	
	6.50	0.33	1.00	208.93	442.76	414.98
5:1	6.50	0.33	1.00	408.80	866.30	
	6.50	0.32	0.98	339.74	781.27	
	6.50	0.35	1.00	519.89	979.38	875.65
1:5	6.50	0.32	1.00	267.51	602.87	
	6.50	0.33	1.00	282.02	597.64	
	6.40	0.33	0.90	237.40	567.71	589.41

ตารางแสดงผลแรงดัดโค้งชนิดไม่ปรับปรุงผิววัสดุเสริมแรงที่ 5%

5%	L(cm)	h(cm)	W(cm)	F(max)	$F=3FL/2WH^2$	average
1:1	6.50	0.33	1.00	368.82	330.21	
	6.49	0.30	0.95	229.17	260.93	
	6.45	0.31	0.98	271.31	278.72	289.95
5:1	6.50	0.33	1.00	379.49	339.76	
	6.40	0.33	1.00	386.49	340.70	
	6.48	0.32	1.00	336.59	348.36	342.94
1:5	6.50	0.33	1.00	374.63	335.41	
	6.50	0.33	0.98	356.03	325.27	
	6.48	0.33	1.00	380.28	337.31	332.66

ตารางแสดงผลแรงดัดโค้งชนิดปรับปรุงผิววัสดุเสริมแรงที่ 5%

5%	L(cm)	h(cm)	W(cm)	F(max)	$F=3FL/2WH^2$	average
1:1	6.50	0.32	1.00	212.65	479.23	
	6.50	0.33	1.00	243.46	515.91	
	6.50	0.33	1.00	244.26	517.61	504.25
5:1	6.50	0.33	1.00	502.00	1063.79	
	6.40	0.32	1.00	428.85	981.56	
	6.50	0.33	1.00	501.56	1062.86	1035.94
1:5	6.50	0.33	1.00	325.01	688.74	
	6.50	0.33	1.00	328.38	695.88	
	6.50	0.31	1.00	255.06	612.50	665.70

ตารางแสดงผลแรงดึงชนิดไม่ปรับปรุงผิววัสดุเสริมแรงที่ 2%

2%	F(N)	d	A	strength	average
1:1	680.00	0.98	0.18	901.95	
	620.00	1.20	0.28	548.47	
	642.00	1.00	0.19	817.83	756.09
5:1	720.00	1.00	0.19	917.19	
	700.00	1.00	0.19	891.71	
	640.00	1.00	0.19	815.28	874.73
1:5	760.00	1.10	0.23	800.12	
	880.00	0.97	0.18	1191.43	
	903.60	1.00	0.19	1151.08	1047.54

ตารางแสดงผลแรงดึงชนิดปรับปรุงผิววัสดุเสริมแรงที่ 2%

2%	F(N)	d	A	strength	average
1:1	800.00	1.00	0.19	1019.10	
	920.00	0.98	0.18	1220.29	
	880.00	1.00	0.19	1121.01	1120.14
5:1	1200.00	0.98	0.18	1591.69	
	1240.00	1.00	0.19	1579.61	
	1250.40	1.00	0.19	1592.86	1588.05
1:5	1800.00	1.00	0.19	2292.99	
	2003.60	1.00	0.19	2552.35	
	2040.00	1.00	0.19	2598.72	2481.35

ตารางแสดงผลแรงดึงชนิดไม่ปรับปรุงผิววัสดุเสริมแรงที่ 5%

5%	F(N)	d	A	strength	average
1:1	720.00	1.00	0.19	917.19	
	712.00	0.98	0.18	944.40	
	660.00	1.40	0.38	428.96	763.52
5:1	800.00	0.97	0.18	1083.12	
	840.00	1.00	0.19	1070.06	
	822.00	1.00	0.19	1047.13	1066.77
1:5	1040.00	1.00	0.19	1324.84	
	1120.00	0.90	0.15	1761.42	
	1100.00	1.00	0.19	1401.27	1495.84

ตารางแสดงผลแรงดึงชนิดปรับปรุงผิววัสดุเสริมแรงที่ 5%

5%	F(N)	d	A	strength	average
1:1	1200.00	1.00	0.19	1528.66	
	1243.60	0.97	0.18	1683.71	
	1246.00	1.00	0.19	1587.26	1599.87
5:1	1800.00	1.00	0.19	2292.99	
	1840.00	1.03	0.20	2209.39	
	1863.04	0.90	0.15	2929.99	2477.46
1:5	2402.00	1.00	0.19	3059.87	
	2399.20	1.00	0.19	3056.30	
	2440.00	1.00	0.19	3108.28	3074.81

ตารางแสดงผลการต้านทานแรงสึกกร่อนที่ปรับปรุงผิววัสดุเสริมแรงที่ 2%

2%	Before weight(g)	After weight(g)	weight loss(g)	average
1:1	4.29	1.40	3.60	
	5.04	1.65	3.24	
	5.00	1.76	3.44	2.36
5:1	5.00	4.10	0.90	
	5.40	3.90	1.50	
	5.00	3.50	1.50	1.30
1:5	5.00	1.40	3.60	
	4.89	1.65	3.24	
	5.20	1.76	3.44	3.42

ตารางแสดงผลการต้านทานแรงสึกกร่อนที่ปรับปรุงผิววัสดุเสริมแรงที่ 5%

5%	Before weight(g)	After weight(g)	weight loss(g)	average
1:1	6.00	3.40	2.60	
	5.30	3.21	2.09	
	4.80	3.00	1.80	2.16
5:1	5.00	3.98	1.02	
	5.28	4.25	1.03	
	5.00	4.31	0.69	0.91
1:5	5.00	2.40	2.60	
	5.10	1.98	3.12	
	5.00	1.70	3.30	3.00

ตารางแสดงผลการทดสอบความแข็งที่ปรับปรุงผิววัสดุเสริมแรงที่ 2%

2%	HV	average
1:1	25.25	
	26.80	
	24.20	25.41
5:1	40.50	
	42.13	
	44.50	42.37
1:5	32.67	
	30.00	
	28.00	30.22

ตารางแสดงผลการทดสอบความแข็งที่ปรับปรุงผิววัสดุเสริมแรงที่ 5%

2%	HV	average
1:1	21.00	
	21.90	
	21.40	21.43
5:1	67.50	
	66.90	
	65.00	66.46
1:5	45.90	
	44.00	
	46.70	45.53

ประวัติคณาจารย์ดำเนินโครงการ



ชื่อ นายอดิศักดิ์ มณีสิ

ภูมิลำเนา 68/137 หมู่ 3 ตำบลสวัสดิ์

อ.พุทธมนthon จ.นครปฐม

ประวัติการศึกษา

-จบมัธยมศึกษาจากโรงเรียนเรืองวิทยา

จ.นครปฐม

-ปัจจุบันกำลังศึกษาระดับปริญญาตรีชั้นปีที่ 4

สาขาวิชาวิศวกรรมเคมี

คณะวิศวกรรมศาสตร์ มหาวิทยาลัยนเรศวร

E-mail: adisak.toplovely@gmail.com



ชื่อ นางสาวธีรนาถ ทรงอยู่

ภูมิลำเนา 435/72 ซอย ชนโค หมู่ 8 ถ. พิชัยส่งคุณ

ต.อรัญญิก อ.เมือง จ.พิษณุโลก

ประวัติการศึกษา

-จบมัธยมศึกษาจากโรงเรียน โรงเรียน

เฉลิมขวัญสตรี จ.พิษณุโลก

-ปัจจุบันกำลังศึกษาระดับปริญญาตรีชั้นปีที่ 4

สาขาวิชาวิศวกรรมเคมี

คณะวิศวกรรมศาสตร์ มหาวิทยาลัยนเรศวร

E-mail: tt_sci@hotmail.co.th